



הטכניון – מכון טכנולוגי לישראל
Technion – Israel Institute of Technology

ספריות הטכניון
The Technion Libraries

בית הספר ללימודי מוסמכים ע"ש ארווין וג'ואן ג'ייקובס
Irwin and Joan Jacobs Graduate School

©

All rights reserved

*This work, in whole or in part, may not be copied (in any media), printed, translated, stored in a retrieval system, transmitted via the internet or other electronic means, except for "fair use" of brief quotations for academic instruction, criticism, or research purposes only.
Commercial use of this material is completely prohibited.*

©

כל הזכויות שמורות

אין להעתיק (במדיה כלשהי), להדפיס, לתרגם, לאחסן במאגר מידע, להפיץ באינטרנט, חיבור זה או כל חלק ממנו, למעט "שימוש הוגן" בקטעים קצרים מן החיבור למטרות לימוד, הוראה, ביקורת או מחקר. שימוש מסחרי בחומר הכלול בחיבור זה אסור בהחלט.

קידוד אותות דיבור על-ידי פרוק וקטורי של
אות השארית מחזוי לינארי

חבור על מחקר

לשם מילודי חלקי של הדרישות לקבלת התואר

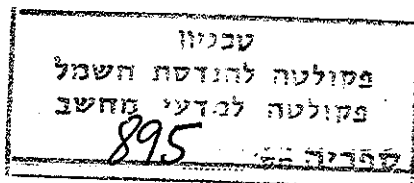
מגיסטר למדעים

בהנדסת חשמל

1000

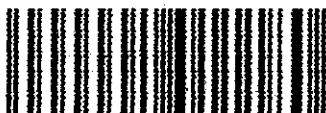
מאת

ארז עופר



הוגש לסנט הטכניון - מכון טכנולוגי לישראל
תשרי - תשמ"ז ח'פה ספטמבר 1986

2033091



000001011180

תודתי העמוקה נתונה לפרופסור דוד מלאך על הנחיתו
המועילה והמסורה ועל סבלנותו הרבה בכל שלבי המחקר

תודתי נתונה לחברת תדיראן - חטיבת התקשורת
שתמכה במחקר.

כמו כן ברצוני להודות לדוקטור אמיר דמבו
על הרעיונות הפוריים והשיחות המועילות.
לגברת זיוה אבני על העזרה בעבודת המחשב.
למהנדס המעבדה מר יורם אור חן על עזרתו
הרבה במעבדה ולכל שאר סגל המעבדה וחברי
שעזרו להשלים עבודה זו.

1		תקציר
3		רשימת סמלים וקיצורים
6		פרק 1: מבוא
8		פרק 2: חיזוי לינארי של דבור (LPC)
8		2.1 מבוא
9		2.2 תאור מודל ה-LPC
11		2.3 קביעת פרמטרי LPC
14		2.4 קוונטיזציה של מקדמי ה-LPC
16		2.5 אות השארית מחזוי לינארי
18		2.6 חסרונות שיטת ה-LPC
20		פרק 3: מקודדי שארית
20		3.1 מבוא
22		3.2 APC - Adaptive Predictive Coder
26		3.3 מקודדי RELP
28		3.4 Multipulse LPC
30		3.5 Code Excited Linear Prediction (CELP)
31		פרק 4: קידוד אות השארית על-ידי פרוק וקטורי
31		4.1 מבוא
32		4.2 קידוד אות השארית על-ידי פרוק וקטורי
34		4.2.1 שקלול אות השגיאה
37		4.2.2 מציאת קומבינציה הוקטורים
42		4.3 אלגוריתמים איטרטיביים למציאת קומבינציה הוקטורים
47		4.3.1 אופטימזציה אמפליטודות
48		4.3.2 שיפורים נוספים שהוצעו בספרות
		4.4 אלגוריתמים לא איטרטיביים למציאת
50		קומבינציה הווקטורים
50		4.4.1 Generalized Maximum Residual Magnitude
54		4.5 מציאת אוסף γ אופטימלי
60		4.6 Predictive Transform Coder (PTC)

63	פישוט המטריצה R	5.2
66	אנליזת קוואריאנס	5.3
	אלגוריתם ה-Multi-Pulse המקורי [13]	5.3.1
71	כמקרה פרטי	
76	אנליזת אוטוקורלציה	5.4
81	המלצות למימוש המערכת	5.5
88	מערכת מומלצת	5.5.1
89	פרק 6: אלגוריתמים לא איטרטיביים	
89	מבוא	6.1
89	אלגוריתם ה-GMRM	6.2
91	מערכת ה-Predictive Transform Coder (PTC)	6.3
93	DCT על אות השארית	6.3.1
96	קוונטיזציה מקדמי ההתמרה	6.3.2
97	הקצאה סיביות	6.3.2.1
99	שערוך הווריאנס של המקדמים	6.3.2.2
100	המלצות למימוש מערכת ה-PTC	6.3.3
100	בחירת ערכי γ_1 ו- γ_2	6.3.3.1
102	קוונטיזציה אינפורמציה הצד	6.3.3.2
109	סיבוכיות משדר-מקלט	6.3.4
112	מערכת PTC מומלצת	6.3.5
113	פרק 7: ביצועי המערכות והשוואה	
113	מבוא	7.1
113	המערכות המשוות	7.2
116	חבור מערכות בטור - Tandeming	7.3
118	ביצועים בתוספת רעש רקע	7.4
119	חסינות לרעשי ערוץ	7.5
124	ביצועים בהעברת אותות נתונים (VBD)	7.6
126	השוואה ל- μ -law PCM	7.7
126	השוואה בין המערכות המומלצות	7.8

130

נספח א': הוכחת טענה 4.1

136

נספח ב': חישוב מקדמי LPC וקוונטיזציה

139

נספח ג': חישובי סיבוכיות לאלגוריתמים האיטרטיביים

146

נספח ד': חישובי סיבוכיות במערכת PTC

150

רשימת מקורות

בעבודה זו אנו מציגים שיטה חדשה לקידוד אות השארית מחזוי לינארי: אות השארית מיוצג על-ידי קומבינציה לינארית של מספר קטן של וקטורים הלקוחים מתוך אוסף נתון. אוסף הוקטורים נתון הן במשדר והן במקלט. הפרמטרים המשודרים הם אינדקסי הוקטורים שנבחרו והמקדמים הכופלים אותם בקומבינציה הלינארית.

טכניקות קידוד דיבור ספרתיות הקיימות כיום דורשות קצבי שידור בתחום 64 Kbps ל-2.4 Kbps. בראש התחום ניצבים מקודדי צורת גל (Waveform Coders) שהם בעלי איכות וחסינות לרעש גבוהים. הביצועים של מקודדים אלה נפגמים בצורה משמעותית כשקצב השידור יורד ל-16 Kbps. בקצה השני של תחום הקצבים ניצבים מקודדי ה-LPC (pitch - excited LPC) שהם מקודדים המבוססים על מודל למערכת הפקת הדיבור האנושית. למקודדי ה-LPC איכות סינטטית והם אינם מהפקדים טוב בתנאי רעש רקע או ריבוי דוברים. הגדלת קצב השידור במקודדי LPC מעל הקצב האופייני של 2.4 Kbps אינה משפרת משמעותית את איכות הדיבור המתקבל.

ברור איפוא שקשה להשיג ביצועים טובים בתחום הקצבים 4.8-16 Kbps בעזרת מקודדי צורת גל או מקודדי LPC. שיטות שונות ומגוונות הוצעו לעבודה בתחום קצבים זה. משפחה של מקודדים שהוצעו לעבודה בתחום הקצבים הנ"ל הם מקודדי אות השארית (Residual Coders). מקודדי השארית מקודדים ומשדרים את אות השארית מחזוי לינארי בנוסף למקדמי מסנן ה-LPC המשודרים במקודד LPC רגיל. בראש משפחה זו הן מבחינת קצב והן מבחינת איכות ניצבים מקודדים בהם מקודד כל דגם מאות השארית בצורה אינדיבידואלית, מערכת ה-APC (Adaptive Predictive Coding) היא דוגמא למערכת כזו. אולם, כשרוצים לרדת לקצב של 9.6 Kbps ומטה כבר לא ניתן לקודד כל דגם של אות השארית בנפרד. גישה אחת היא ה-Multi-Pulse LPC שבה אות השארית מיוצג על-ידי מספר דגמים חשובים. דגמים אלו נמצאים בעזרת ההליך איטרטיבי. גישה נוספת היא ה-CELP (Code Excited Linear Prediction), במקודדים אלה נעשה שימוש בבלוקים של רעש לבן גאוסי ליצוג אות השארית.

בעזרת הגישה החדשה המוצגת בעבודה זו אות השארית מקודד כקומבינציה לינארית של מספר קטן של וקטורים. שיטה זו היא הכללה של הסכמאות שהוזכרו לעיל - Multi-Pulse - CELP.

בגישת הקידוד החדשה אנו נתקלים בשתי שאלות: ראשית, בהנתן אוסף הוקטורים כיצד נמצא את הקומבינציה האופטימלית ליצוג אות השארית? ושנית, מה יהיה אוסף וקטורים אופטימאלי?

פתרון השאלה הראשונה מהווה משימה קשה מכיון שאפילו בהנתן אוסף קטן של וקטורים מספר הקומבינציות הוא גדול. לכן, עלינו לבחון פתרונות תת-אופטימאליים. אחד הפתרונות האלה הוא איטרטיבי ופשוט ומוביל ל-Multi-Pulse LPC. פתרון השאלה השניה מוביל לאלגוריתם לא-איטרטיבי הפועל בתחום החדר. למערכת שהתקבלה קראנו - Predictive Transform Coder (PTC). מערכת ה-PTC היא בעלת סיבוכיות נמוכה יותר מזו של הסכמאות האיטרטיביות בתחום הקצבים 9.6-16 Kbps. עבור 16 Kbps האיכות המתקבלת טובה מזו המתקבלת במערכת האיטרטיבית. בקצב 9.6 Kbps האיכות טובה אך ניתן להבחין באפקט של "low passing".

בעבודה מוצג תיאור מתמטי פורמאלי של סכמת הקידוד החדשה לאות השארית. ניתן פתרון אנליטי למציאת קומבינצית הוקטורים האופטימלית. מוצג פתרון תת אופטימאלי איטרטיבי ומוצגת הסכמה החדשה של PTC. מוצגות בחינות אוביקטיביות וסוביקטיביות להערכת ביצועי מערכת ה-PTC והמערכת האיטרטיבית (Multi-Pulse) מבחינת איכות דיבור, חסינות לרעש רקע, חסינות לרעש ערוץ, tandeming והעברת אותות נתונים (Data).

רשימת סמלים

פונקציית התמסורת של מסנן הסינטזה ב-LPC.	- $H(z)$
הגבר אות הערור למסנן הסינטזה ב-LPC.	- G
פונקציית התמסורת של המסנן ההפוך.	- $A(z)$
דגם אות דיבור מקורי.	- s_n
דגם אות דיבור משוחזר.	- \hat{s}_n
מקדם של המסנן ההפוך.	- a_k
דגם של אות הערור.	- u_n
סדר מסנן ה-LPC.	- P
דגם של אות השארית.	- e_n
שגיאה ריבועית ממוצעת.	- E
מקדם אוטוקורלציה.	- r_i
מקדם החזרה - Reflection Coefficient.	- k_i
התמרת z של אות השארית.	- $E(z)$
התמרת z של אות הדבור המקורי.	- $S(z)$
שגיאה ריבועית ממוצעת משוקללת.	- E_w
אוסף הוקטורים בפרוק וקטורי של אות השארית.	- V
וקטור אות דיבור מקורי.	- S
וקטור אות הערור.	- U
וקטור הלקוח מ- v .	- v_i
המקדם הכופל את הוקטור v_i .	- x_i
התגובה להלם של המסנן המשוקלל.	- w_n
מטריצה יחידה מסדר N .	- I_n
התמרת פוריה של אות הדבור המקורי.	- $S(f)$
התמרת פוריה של אות הדבור המשוחזר.	- $\hat{S}(f)$
התמרת פוריה של התגובה להלם של המסנן המשוקלל.	- $W(f)$
תדר הדגימה.	- f_s
פונקציית התמסורת של המסנן המשוקלל.	- $W(z)$
התגובה להלם של מסנן הסינטזה.	- h_n

leftover, האות הנוצר כתוצאה מזכרון המסנן.	-	l_n
אות הדבור המקורי לאחר הפחתת l_n .	-	s'_n
התגובה להלם של מסנן סינטזה משוקלל.	-	h'_n
התמרת z של התגובה להלם של מסנן סינטזה משוקלל.	-	$H'(z)$
וקטור אות שארית.	-	e
וקטור המקדמים הכופלים את הוקטורים המרכיבים את הערוור.	-	x
מטריצה הוקטורים שנבחרו מהאוסף \mathcal{V} .	-	Q
מטריצה $N \times N$ מכילה בשורה n , בעמודה i את האבר h'_{n-i} .	-	F
וקטור המהווה את אות ה-leftover (1_n) .	-	L
תוחלת.	-	$E(\cdot)$
מטריצה פוריה.	-	\tilde{F}
וקטור אות שארית צבוע.	-	e'
וקטור אות שארית צבוע משוחזר.	-	\hat{e}'
מקדם שקלול השגיאה.	-	γ
חלק ממשי של ביטוי קומפלקסי.	-	$\text{Re}[\cdot]$
חלק מדומה של ביטוי קומפלקסי.	-	$\text{Im}[\cdot]$
ווריאנס הרכיב ה- k י.	-	$\sigma^2(k)$
ווריאנס משוערך של הרכיב ה- k י.	-	$\hat{\sigma}^2(k)$
צעד קוונטיזציה עבור הרכיב ה- k י.	-	$\Delta(k)$
מספר סיביות מוקצות לרכיב ה- k י.	-	$b(k)$
קצב ממוצע.	-	\bar{B}
גודל הבלוק עליו מחושבים מקדמי אוטוקורלציה באנליזת LPC.	-	m
אינטרוול עדכון מקדמי ה-LPC.	-	M
מספר הסיביות הנתון לקידוד ההתמרה ב-PTC.	-	B
מספר סיביות מקסימאלי הנתון לקידוד מקדם יחיד ב-PTC.	-	n_b
מספר הנקודות השונות מ-0 ב- h'_n .	-	L
מספר הנקודות המחושב לצורך אינטרפולציה ב-PTC.	-	J
הסתברות השגיאה לסיבית בודדת.	-	P_e

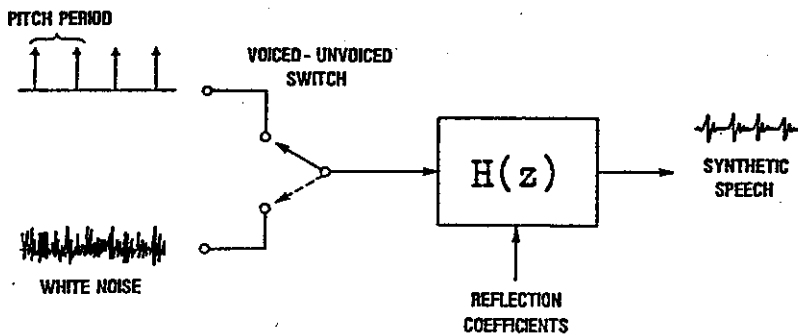
רשימת קיצורים

LPC	- Linear Prediction Coding.
Kbps	- K bit per second.
V/UV	- Voiced / Un Voiced.
APC	- Adaptive Predictive Coding.
REL P	- Residual Excited Linear Prediction.
MRM	- Maximum Residual Magnitude.
GELP	- Code Excited Linear Prediction.
HFR	- High Frequency Regeneration.
ATC	- Adaptive Transform Coding.
PTC	- Predictive Transform Coder.
DFT	- Discrete Fourier Transform.
IDFT	- Inverse DFT.
DCT	- Discrete Cosine Transform.
GMRM	- Generalized MRM.
SNR	- Signal to Noise Ratio.
SNRSEG	- Segmented Signal to Noise Ratio.
BER	- Bit Error Rate.
VBD	- Voice Band Data.
SF	- Scale Factor.
MPLPC	- Multi-Pulse LPC.
LAR	- Log Area Ratio.
MAD	- Multiply and Add.
DSP	- Digital Signal Processor.
P.D.	- Positive Definite.

קידוד אותות דיבור בעזרת חיזוי לינארי (LPC) היא שיטת קידוד מקובלת לקצבי שידור נמוכים - 2.4 Kbps. השיטה מבוססת על המודל המוצג בציור 1.1. המסנן $H(z)$ הוא מסנן all-pole המייצג את פונקציית התמסורת של המעבר הקולי (Vocal Tract). את הצלילים הנוצרים על ידי מערכת הקול האנושית ניתן לחלק בצורה גסה לשני סוגים: (i) צלילים קוליים הנוצרים על-ידי ערוך מחזורי של המעבר הקולי. הערוך המחזורי נוצר על-ידי ריטוט מיתרי הקול והמעבר הקולי מעורר במספר תדרי תהודה הנקראים פורמנטים (Formants).

(ii) צלילים אל-קוליים. צלילים אלה לא נוצרים על-ידי ריטוט מיתרי הקול, אלא על-ידי מעבר אויר במעבר הקולי והתקלותו במכשולים (שיניים, שפתיים וכו').

לפי שני סוגי הערוך הנ"ל הערוך למסנן $H(z)$ הוא אחד משני סוגים: ערוך מחזורי לקטעי דיבור קוליים או רעש לבן לקטעי דיבור אל-קוליים.



ציור 1.1 - מודל יצירת הדיבור ב-LPC

Fig. 1.1 Speech production model in LPC

התדר היסודי בו מעורר המעבר הקולי יזמן צלילים קוליים נקרא תדר ה-Pitch.

כדי להשיג איכות דיבור גבוהה תוך שימוש ב-LPC יש לשדר מידע נוסף לגבי אות הערוך ולא להסתפק בערוך פשטני מהסוג הנ"ל (המכונה BUZZ/HISS). למעשה, שידור מדויק של אות השארית מחזוי לינארי, המתקבל על-ידי העברת אות הדיבור דרך המסנן ההפוך ל- $H(z)$, היה מאפשר שחזור מושלם של האות המקורי. אולם, שידור כזה דורש מספר רב של סיביות.

לכן הוצעו שיטות שונות לקידוד אות השארית בצורה יעילה יותר.

בפרק 2 נסקור את שיטת ה-LPC ובפרק 3 נסקור מקצת מהשיטות שהוצעו לקידוד אות השארית, במירב השיטות האלה הביצועים הופכים גרועים במהירות כשיורדים בקצב לתחום ה-9.6 Kbps.

בפרק 4 נציע שיטה חדשה לקידוד אות השארית - פירוק וקטורי (Vector expansion), לפיה אנו מרכיבים את אות הערוך למסנן הסינטזה כקומבינציה לינארית של וקטורים הלקוחים מתוך אוסף נתון במסדר ובמקלט. האינפורמציה המשודרת תכיל את אינדקסי הוקטורים וערכי המקדמים הכופלים אותם. שיטה זו היא יצוג כללי למספר שיטות קידוד שהוצעו בשנים האחרונות, ביניהם: Multi-Pulse LPC [13], CELP [27] ו-Regular excitation [23].

לאחר הצגת השיטה נתמודד עם שתי שאלות:

(i) בהנתן אוסף הוקטורים כיצד נמצא את הקומבינציה הלינארית האופטימלית של וקטורים?

(ii) מהו אוסף וקטורים אופטימאלי?

נראה שפתרון מדויק לבעיה מצויאת הקומבינציה הלינארית אינו מעשי וכך יש צורך לפנות לפתרונות הת-אופטימליים.

אחד הפתרונות הת-אופטימליים מוליך לפתרון איטרטיבי פשוט, ניתוח מפורט של האלגוריתמים האיטרטיביים הנובעים מפתרון זה יובא בפרק 5.

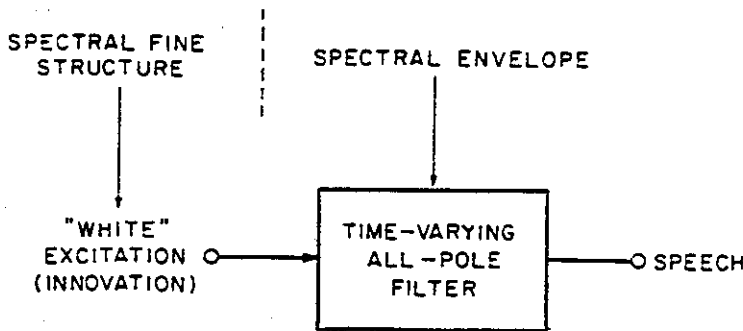
השאלה לגבי מצויאת אוסף וקטורים אופטימלי תוביל אותנו לפתרון לא איטרטיבי למציאת הקומבינציה הלינארית. פתרון זה ופתרון לא איטרטיבי נוסף יידונו בפרק 6.

לסיכום, נשווה בפרק 7 בין האלגוריתמים האיטרטיביים והלא איטרטיביים, נבחן את עמידותם לשגיאות ערוץ, את ביצועיהם ב-tandeming ואת יכולת ההעברה של אותות נתונים (Voice band data).

2.1 מבוא

מקודדי הדיבור המקובלים כיום מתחלקים לשתי קבוצות עיקריות [1]:
 הקבוצה הראשונה - מקודדי צורת גל (Wave Form Coders).
 הקבוצה השנייה - מקודדי מקור (Source Coders) או Vocoders.

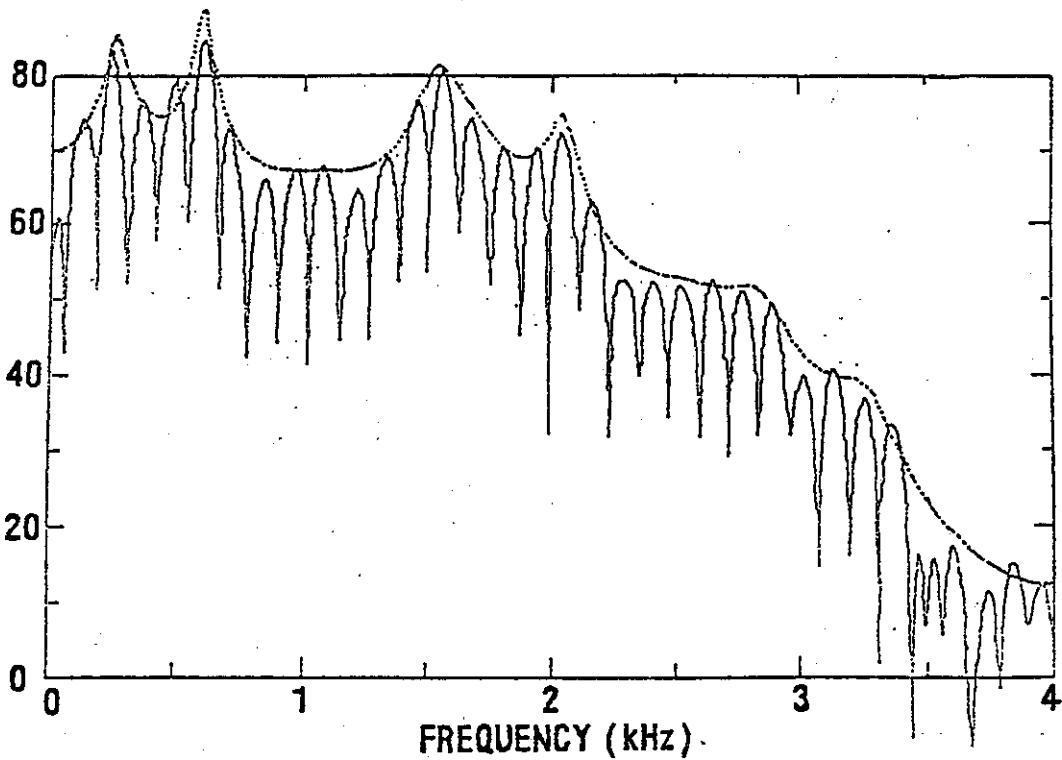
מקודדי צורת הגל [2] כשם כן הם, צורת הגל מקודדת תוך נסיון לשחזור כמה שיותר מדויק במקלט. בקצבים הגבוהים מקודדים אלה מתוכננים להיות בלתי תלויים באות ולכן ניתן לשדר בעזרתם סוגים שונים של אותות. מקודדים אלו חסינים בדרך-כלל לשגיאות בערוץ ולרעש המתווסף לאות הדיבור, הם פשוטים יותר ונוחים בדרך כלל למימוש בזמן אמיתי. חסרונם הכולל הוא הקצב הגבוה יחסית הנדרש להשגת איכות דיבור גבוהה: 16 Kbps - 64 Kbps והנפילה המהירה באיכות הדיבור כשיורדים בקצב. הקבוצה השנייה של המקודדים - Vocoders, תלויה בידע מוקדם על אופן יצירת האות במקור. ידע זה מנוצל כדי לתאר את אות הדיבור בצורה יעילה - מגדירים מודל למבנהו של האות ולאופן יצירתו והמקודד מסתפק בהעברת מידע על המודל בלבד. המודל המקובל לתהליך יצירת אות הדיבור הוא המודל המוצג בציור 2.1. הוא מורכב משני חלקים שמניחים שהם בלתי תלויים - אות ערור ומסנן לינארי המייצג את המעבר הקולי. שימוש במודל כזה מקטין את קצב השידור, אך תמורת הקטנה זו אנו משלמים באיכות נמוכה יותר ובהקטנת החסינות לרעש או שגיאות ערוץ. אחת השיטות המקובלות והפשוטות למימוש המודל שתואר לעיל היא החיזוי הלינארי - Linear Prediction נקדיש את המשך הפרק לדיון בשיטה זו.



ציור 2.1 מודל יצירת הדיבור
 Fig. 2.1 - Speech production model

כל אותות הדיבור מופקים על ידי ערור המעבר הקולי האנושי בערור אקוסטי הנוצר במיתרי הקול בקטעי דיבור קוליים, או על-ידי מערבולות אויר הנוצרות במעבר הקולי בקטעי דיבור אל-קוליים. במערכת Vocoder המעבר הקולי מיוצג על-ידי מסנן לינארי.

הרעיון העומד מאחורי קידוד בעזרת חיזוי לינארי (Linear Prediction Coding) [5], [4], [3] הוא שכל דגם של אות הדיבור ניתן ליצוג כקומבינציה לינארית של דגמי אות דיבור קודמים ושל הדגם הנוכחי של אות הערור. יצוג זה מוביל לכך שהמסנן המייצג את המעבר הקולי הוא מסנן all-pole, מסנן זה תורם למערכת את המעטפת הספקטרלית לזמן קצר של האות (Short-time Spectral envelope). עידון המעטפת כדי להגיע לספקטרום האמיתי של האות (Fine structure) מתקבל על-ידי הערור. ספקטרום אופיני ומעטפת ספקטרלית של אות הדיבור מוצגים בצירור 2.2.



ציור 2.2 - ספקטרום לזמן קצר ומעטפת ספקטרלית שהתקבלה על-ידי חיזוי לינארי
 Fig. 2.2 - Short-time spectrum and spectrum envelope obtained by linear prediction

אות הערור ניתן לחלוקה גסה לשתי קבוצות:

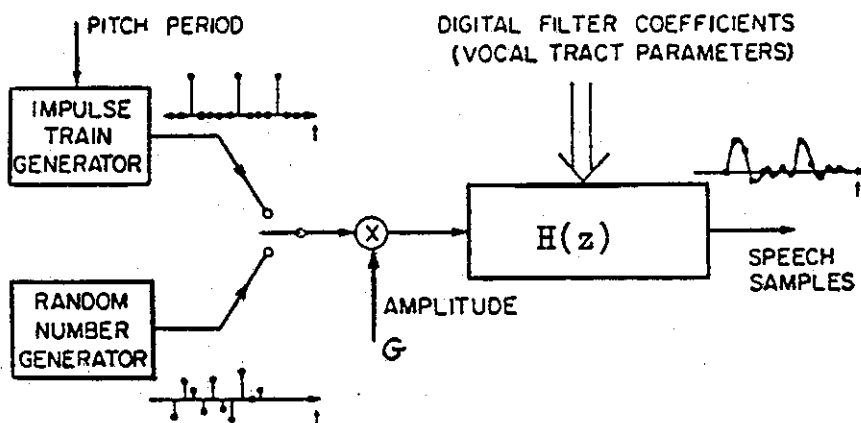
בזמן הפקת אותות קוליים (Voiced Sounds) המעבר הקולי מעורר על-ידי ערור כמעט מחזורי. בזמן הפקת אותות לא-קוליים (Unvoiced sounds) אות הערור הוא רעש לבן.

ב-LPC Vocoder נעשות הנחות פשטות על הערור וניתנים שני סוגי ערור:

(i) סדרת הלמים במחזור ה-Pitch, שהוא התדר היסודי של אות הדיבור, מתארת את אות הערור בקטעי דיבור קוליים.

(ii) רעש לבן מתאר את אות הערור בזמן קטעי דיבור לא קוליים.

המערכת המתקבלת מוצגת בציור 2.3:



ציור 2.3 - מודל יצירת הדיבור ב-LPC

Fig. 2.3 - Speech production model in LPC

במודל מניחים שבפרקי זמן קצרים את הדיבור סטציונרי. בכל מסגרת זמן כזו נקבעים: מקדמי מסנן ה-all-pole, קבוע הגבר G בו יש להכפיל את הערור, מחזור ה-Pitch אם המסגרת היא קולית והחלטה אם המסגרת היא קולית או לא-קולית (V/UV). במערכת כזו ניתן לרדת לקצבי שידור של 2.4 Kbps אולם האיכות המתקבלת היא איכות סינטטית, האיכות לא תשתפר אם נעלה בקצב.

היתרון הגדול של מודל all-pole למערכת יצור הדיבור נעוץ בכך שכדי למצוא את מקדמי המסנן יש לפתור מערכת משוואות לינארית. במודל all-pole נקבל שדגם המוצא ה-n-י יהיה:

$$(2.3.1) \quad s_n = - \sum_{k=1}^p a_k s_{n-k} + Gu_n$$

כאשר u_n הוא הדגם ה-n-י של אות הערוך. מקובל להניח שהערוך לכן (למרות שבזמן קטעים קוליים אין הדבר כך) ואז השערוך הטוב ביותר לדגם ה-n-י בהתבסס על הדגמים הקודמים יהיה:

$$(2.3.2) \quad \hat{s}_n = - \sum_{k=1}^p a_k s_{n-k}$$

נגדיר את שגיאת השיערוך כהפרש בין דגם את דיבור מקורי ודגם את משוחזר:

$$(2.3.3) \quad e_n = s_n - \hat{s}_n$$

שגיאה ריבועית ממוצעת על פני המסגרת תהיה:

$$(2.3.4) \quad E = \frac{1}{N} \sum_{n=0}^{N-1} (s_n + \sum_{k=1}^p a_k s_{n-k})^2$$

מקדמי החזאי האופטימלי נבחרים כך שהשגיאה הריבועית הממוצעת תהיה מינימלית. דבר זה מתבצע על-ידי גזירת E לפי $a_i, i=1 \dots p$ והשוואה ל-0. מתקבלת מערכת משוואות לינאריות אותה יש לפתור למציאת המקדמים a_i :

$$(2.3.5) \quad \sum_{k=1}^p \phi_{jk} a_k = -\phi_{j0} \quad j=1, 2, \dots, p$$

$$(2.3.6) \quad \phi_{jk} = \sum_n s_{n-j} s_{n-k}$$

תחום הסכימה ב-(2.3.6) קובע שתי שיטות אנליזה: בשיטת הקווריאנס:

$$(2.3.7) \quad \phi_{jk} = \sum_{n=p}^{N-1} s_{n-j} s_{n-k}$$

כלומר המינימיזציה מתבצעת רק על פני האינטרוול $[p, N-1]$. בשיטת האוטוקורלציה [6]:

$$(2.3.8) \quad \phi_{jk} = \sum_{n=-\infty}^{\infty} s_{n-j} s_{n-k}$$

כשמניחים: $s_n=0$ עבור $n < 0$ ו- $n \geq N$ במקרה זה נקבל:

$$(2.3.9) \quad \phi_{jk} = r_{|j-k|}$$

כאשר r_i הוא מקדם אוטוקורלציה.

שתי השיטות השונות מובילות לשתי צורות פתרון שונות, לסיבוכיות שונה ולתכונות שונות של הפתרון [5].

בשיטת האוטוקורלציה יציבות תמיד מובטחת (תיאורטית - כלומר, ללא שגיאות חישוב). המטריצה המתקבלת במערכת המשוואות הלינאריות היא מטריצה של אברי אוטוקורלציה - מטריצת Toeplitz סימטרית וקיים פתרון פשוט על-ידי האלגוריתם של Levinson - Durbin [5].

בשיטת הקווריאנס לא מובטחת תמיד יציבות ויש לבדוק את המסנן המתקבל $A(z)$ לוודא שכל שורשיו נמצאים בתוך מעגל היחידה. שיטת הפתרון במקרה זה יותר מסובכת ומתבססת בדרך כלל על פתרון מערכת המשוואות על-ידי פירוק Cholesky [5].

להשלמת מודל ה-LPC יש להחליט לגבי כל קטע אם הוא קולי או לא קולי ויש לחשב את תדר ה-Pitch עבור קטעים קוליים. שתי בעיות אלה קשות לפתרון מדויק ובמערכות קיימות הן גוזלות את מירב משאבי החישוב. בעבודה זו לא ניגע כלל בנושאים אלה.

בבואנו לבצע קוונטיזציה של מקדמי ה-LPC עלינו לטפל בשתי בעיות:

- (i) כמה סיביות יש להקצות לכל פרמטר משודר?
- (ii) כיצד נבטיח יציבות למסגן המתקבל לאחר קוונטיזציה הפרמטרים?

קבוצת פרמטרים מקובלת לצרכי שידור האינפורמציה על מודל ה-LPC הם מקדמי ההחזרה (PARCOR).

המעבר ממקדמי המסגן $a_i, i=1\dots p$ למקדמי ההחזרה $k_i, i=1\dots p$ נעשה בצורה פשוטה:

בהנתן $a_i, i=1,2,\dots,p$ ניתן לעבור ל- $k_m, m=1,2,\dots,p$ על ידי p איטרציות והקשר הבא:

$$(2.4.1) \quad a_{m-1,i} = \frac{a_{mi} - k_m a_{m,m-i}}{1 - k_m^2}$$

$$k_m = a_{mm} \quad -1$$

$$i=0,1,\dots,m-1 \quad -1 \quad \text{עבור } m=p,p-1,\dots,1$$

$a_i, i=1,2,\dots,p$ בהנתן $k_m, m=1,2,\dots,p$ ניתן לעבור ל- על-ידי p איטרציות והקשר הבא:

$$(2.4.2) \quad a_{m,i} = \begin{cases} a_{m-1,i} & i=0 \\ a_{m-1,i} + k_m a_{m-1,m-i} & i=1,2,\dots,m-1 \\ k_m & i=m \end{cases}$$

$$a_{00}=1 \quad m=1,2,\dots,p \quad \text{עבור}$$

בין מקדמי ההחזרה קיים סדר כך שניתן להחליט על סכמת חלוקת סיביות בהתאם למספר המקדם [7]. כמו כן, ניתן לבדוק בעזרתם בצורה מאד פשוטה את היציבות - תנאי הכרחי ומספיק לכך שהמסנן יהיה יציב הוא: $|k_i| < 1, i=1 \dots p$ כאשר p הוא סדר המודל. הקצאת הסיביות במהלך עבודה זו נעשתה בהתאם להמלצה של LPC-10 [8] כך שעבור מודל של 10 מקדמים אנו זקוקים ל-41 סיביות לשידור סט מקדמים.

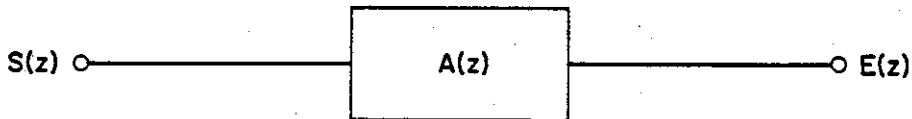
אות השארית מכיל את המידע שנותר על אות הדיבור לאחר שמיצינו ממנו את המידע לגבי המעטפת הספקטרלית, מידע הנמצא במסנן הסינטזה. כלומר, ניתן להשתמש באות השארית להשלמה מדויקת של המודל לקבלת אות דיבור משוחזר בצורה מושלמת.

אם מסנן הסינטזה הוא $\frac{1}{A(z)}$ כאשר:

$$(2.5.1) \quad A(z) = 1 + \sum_{k=1}^P a_k z^{-k}$$

אזי אות השארית e_n מתקבל באמצעות המסנן ההפוך $A(z)$:

$$(2.5.2) \quad E(z) = A(z) S(z)$$

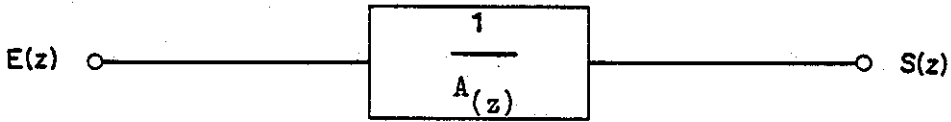


ציור 2.4 - קבלת אות השארית

Fig. 2.4 Generating the residual signal

שימוש באות שארית המתקבל כאות הערור למסנן ה-all-pole מוביל לשחזור של האות המקורי:

$$(2.5.3) \quad S(z) = \frac{E(z)}{A(z)} = E(z) H(z)$$



צילור 2.5 - שחזור אות הדיבור מאות שארית

Fig. 2.5 Generating the speech signal using the residual signal

המידע הטמון באות שארית עשיר מזה הנמצא במודל ערור פשטני BUZZ/HISS. לכן בצפה לקבל תוצאות טובות יותר אם נצליח לקודד בצורה יעילה את אות שארית, זה ייעשה כמובן תמורת תוספת בקצב השידור.

2.6 חסרונות שיטת ה-LPC [9]

כאמור, במקודד LPC ניתן לרדת לקצבי שידור נמוכים מאד, בסביבות ה-2.4 Kbps. אולם, לשיטה כמה חסרונות בולטים, ננסה בסעיף זה לעמוד על כמה מהם ולהבין מאין הם נובעים.

הבעיות בקידוד LPC נובעות בעצם משתי סיבות עיקריות:

(i) חוסר ההתאמה מדויקת של מודל ה-all-pole למערכת המקורית וקוונטיזציה מקדמי ה-LPC.

(ii) ערור פשטני מדי - BUZZ/HISS ושגיאות בחישוב Pitch או החלטה v/uv .

חוסר ההתאמה של מודל ה-all-pole נובע מכמה גורמים:

1. מכיוון שהמודל הוא all-pole אפסים לא מיוצגים היטב. צלילים הנובעים גם מחלל האף, לגביהם ידוע שדרושים אפסים כדי ליצר אותם, לא מופקים בצורה טובה.

2. מיקום הפורמנטים מושפע על-ידי הרמוניות התדר היסודי וכך נכנס אי דיוק בשערוך הספקטרום.

3. מקדמי המסנן משתנים עם שינוי מקום החלון בזמן האנליזה.

4. בקצבי שידור נמוכים מקדמי המסנן עוברים קוונטיזציה בצורה שמכניסה שגיאה ניכרת.

כעקרון, ניתן לתלות את כל הירידה באיכות בפישוט של אות הערור. זאת מכיון שאילו היינו משדרים את אות השארית במדויק היינו מקבלים שחזור מדויק של האות המקורי. ההרעה בביצועים עקב פישוט הערור ל-BUZZ/HISS נובעת מכמה סיבות:

1. מודל ה-BUZZ/HISS משאיר מחוץ למערכת אינפורמציה חשובה לגבי אמפליטודה ופאזה בספקטרום אות השארית.

2. קיימת בעיה לגלות באופן מושלם את מחזור ה-Pitch או להחליט באופן מושלם לגבי קטע דיבור באם הוא קולי או לא קולי.

כל הגורמים שהוזכרו חוברים יחד וגורמים לכך שאיכות הדיבור המתקבל היא לא טבעית, והירידה באיכות היא מהירה כשמתווסף רעש לאות או כאשר יש ריבוי דוברים.

כאמור, היינו מקבלים שחזור מדויק של האות המקורי אילו היינו משדרים במדויק את אות השארית. מכיוון ששידור מדויק יוכל לקצב שידור גבוה מדי הוצעו שיטות שונות לקידוד אות השארית כך שעדיין יישמר קצב שידור נמוך. בפרק הבא נסקור מקצת שיטות אלו.

בפרק הקודם ראינו שבעזרת מקודדי LPC קלאסיים ניתן להגיע לקצבים של 2.4 Kbps אולם האיכות המתקבלת היא איכות סינטטית. קידוד של אות שארית ושידורו בנוסף לאינפורמציה על מסנן ה-LPC תעלה את קצב השידור אך נצפה לקבל איכות טובה יותר. קידוד אות שארית יכול להעשות בצורות שונות וקמה משפחה שלמה של מקודדים שהמשותף להם היא העובדה שהם מקודדים את אות שארית בנוסף לאינפורמציה מסנן ה-LPC, למקודדים אלה קוראים - מקודדי שארית.

בראש הרשימה הן מבחינת טיב והן מבחינת קצב נמצאים המקודדים בהם מקודד אות שארית על בסיס של דגם - דגם, כלומר, כל דגם באות שארית עובר קוונטיזציה בצורה אינדיבידואלית. קצבים טיפוסיים לסוג מקודד זה הם 9.6 Kbps - 24 Kbps. מקודד ה-APC (Adaptive Predictive Coding) [11], [12] הוא דוגמה לקבוצה זו של מקודדים.

כדי לרדת לתחום הקצבים של 9.6 Kbps ומטה לא ניתן כבר לבצע קוונטיזציה על בסיס של כל דגם ויש להשתמש בשיטות אחרות.

מקודדי ה-RELTP או Baseband vocoder הם משפחה של מקודדי שארית בהם לא מועבר כל רוחב הסרט של אות שארית, עיקר המאמץ מושקע בהעברת תחום התדרים הנמוכים של האות (Base band), במקלט מבוצעת רגנרציה ליצירת תחום התדרים הגבוהים באות. מקודדים אלו הוצעו במקור [28] לעבודה בתחום הקצבים 4.8-9.6 Kbps.

הצעות נוספות שהופיעו לקידוד ה-Residual:

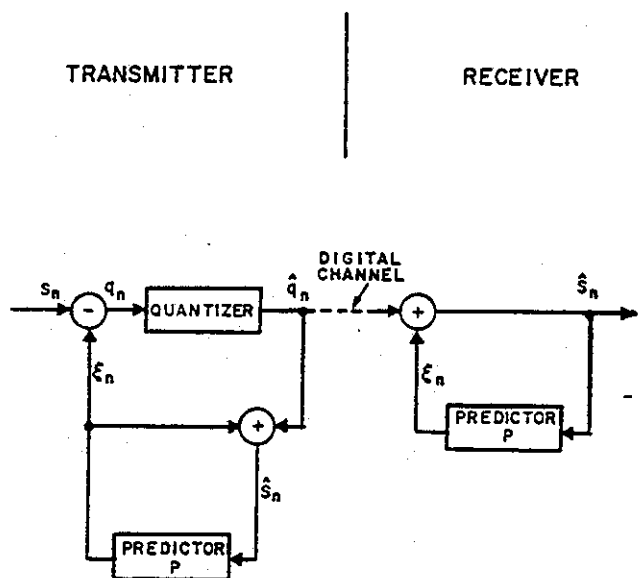
- Subband Coding [29] - הפעלת טכניקה של קידוד בפסי תדר נפרדים על אות שארית.

- Multi-Pulse LPC [13] - יצוג אות שארית על ידי מספר קטן של דגמים חשובים וקידודים. עיקר חסרונה של שיטה זו היא סיבוכיותה הגבוהה, בעקבותיה הופיעו הצעות נוספות לקידוד אות שארית בעזרת מספר קטן של דגמים תוך נסיון לשמור על סיבוכיות נמוכה. לדוגמה, Maximum Residual Magnitude (MRM) [16], [17].

- CELP - Code Excited Linear Prediction [27] - הצעה זו שנראית מבטיחה מאד מבוססת על החזקת מילון ובו קטעי אות אקראיים. הקידוד מתבצע על-ידי חפוש הקטע הקרוב ביותר לקטע שיש לשדר מבחינת שגיאה ריבועית ממוצעת בין אות המקור והאות המשוחזר. הפרמטר שמשודר עבור כל מסגרת הוא האינדקס של וקטור הערוור המתאים. החסרון העיקרי של אלגוריתם זה היא סיבוכיות גבוהה מאד (אף יותר מזו של Multi-Pulse LPC) ולאחרונה הוצעו שיטות להקטין סיבוכיות זו [30].

בהמשך הפרק נתאר בקצרה את הסוגים השונים של מקודדי השארית.

הסכמה הבסיסית של מקודד APC מוצגת בציור 3.1 .



ציור 3.1 סכמה בלוקים של predictive coder

Fig. 3.1 Block diagram of a predictive coder

הקונטינר Q והחזאי P בסכמה הזאת שניהם אדפטיביים.

בערוץ משודרת אינפורמציה הן על אות השארית והן על הפרמטרים המשתנים של החזאי והקונטינר (Side information). אות השארית דורש בדרך כלל את רוב הסיביות

המוקצות לשידור בהשוואה לאינפורמציה הצד. לדוגמא, עבור אות דיבור דגום בקצב 8khz וקונטינריות אות השארית ל-1 bit/sample ידרשו 8 Kbps לצורך העברת אות

השארית ו-3-5 Kbps לצורך העברת אינפורמציה הצד.

כדי לרדת במערכת זו לקצבים נמוכים יש לקודד את אות השארית ביעילות, עבור קצבים נמוכים מ-10 Kbps נדרש לקודד את אות השארית בפחות מסיביות אחת לדגם. קוונטיזציה

גסה זו היא הגורם העיקרי לשגיאה באות המשוחזר.

החזאי P מורכב משני חזאים נפרדים:

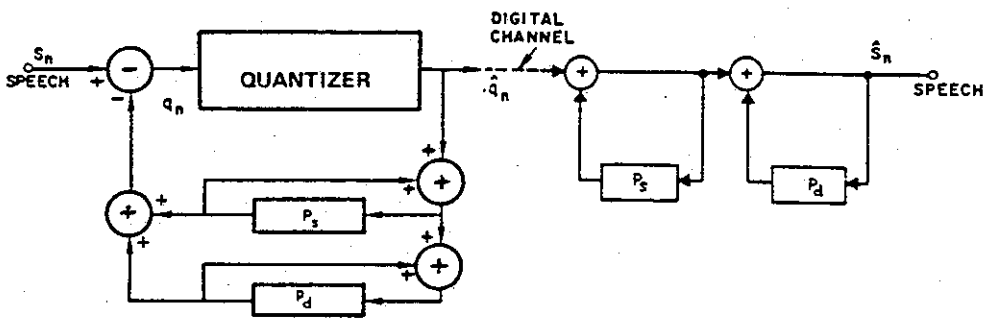
P_s - חזאי המבוסס על המעטפת הספקטרלית לזמן קצר.

P_d - חזאי Pitch.

החזאי P_s הוא חזאי מהסוג שנתקלנו בו בפרק 2 (LPC) כשמספר המקדמים בו משתמשים בדרך כלל הוא 6 או יותר.

P_d - הוא חזאי בעל 1-3 מקדמים, תפקידו להוציא מהאות את מבנה ה-Pitch.

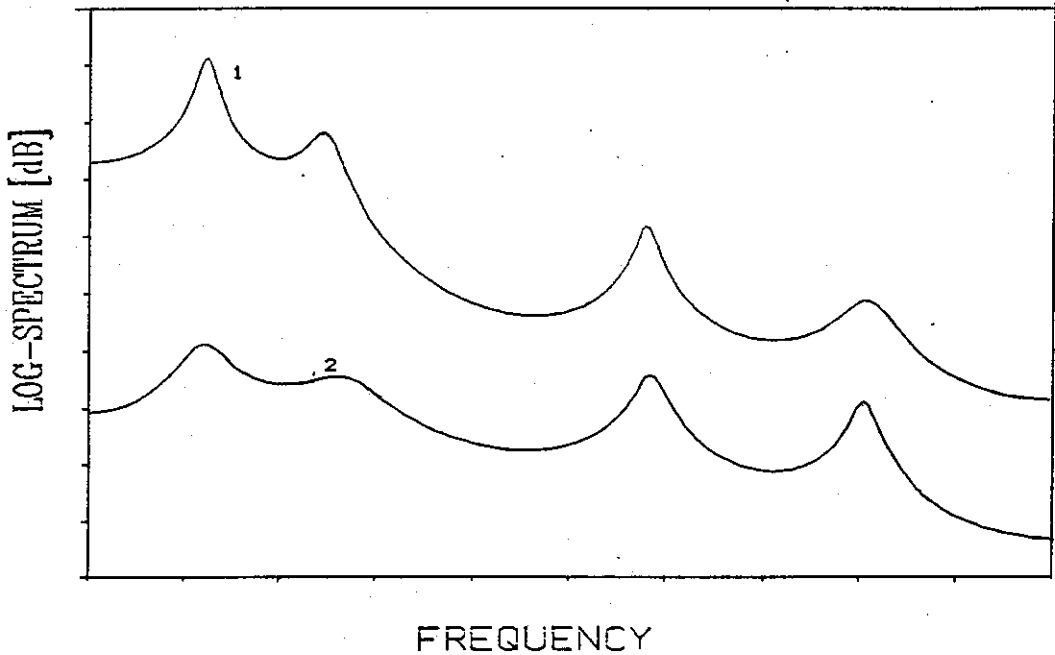
שני החזאים משולבים במערכת שניתן לראות בצירור 3.2.



צירור 3.2 הוספת חזאי pitch ל-predictive coder
 Fig. 3.2 Predictive Coder with pitch predictor

במערכת שתיארנו לעיל הרעש המתקבל הוא בקירוב לבן (ככל שהקוונטיזציה גסה יותר קירוב זה טוב פחות), והמערכות הראשונות מסוג APC היו בנויות לפי הסכמה הנ"ל. כיום ידוע שניתן לנצל את תכונת המיסוך של האוזן כדי להשיג איכות סובייקטיבית טובה יותר על-ידי "צביעת" הרעש. הרעש באזורי הפורמנטים, אזורים בהם מרוכזת אנרגיה גדולה, ממוסך על-ידי אות הדיבור ולכן נוכל להרשות לרכיבי תדר באות השגיאה באזורי הפורמנטים להיות בעלי אנרגיה גבוהה יותר יחסית לרכיבי התדר של הרעש באזורי התדר בין הפורמנטים.

כמו כן קיים אפקט של מסוך התדרים הגבוהים על-ידי הפורמנט הראשון והשני שהם בדרך כלל בעלי אנרגיה גדולה, לכן, אפשר להרשות יחסי SNR נמוכים יותר באזורי התדר הגבוה. צביעה כזאת של הרעש מודגמת בצורה איכותית בציר 3.3 .

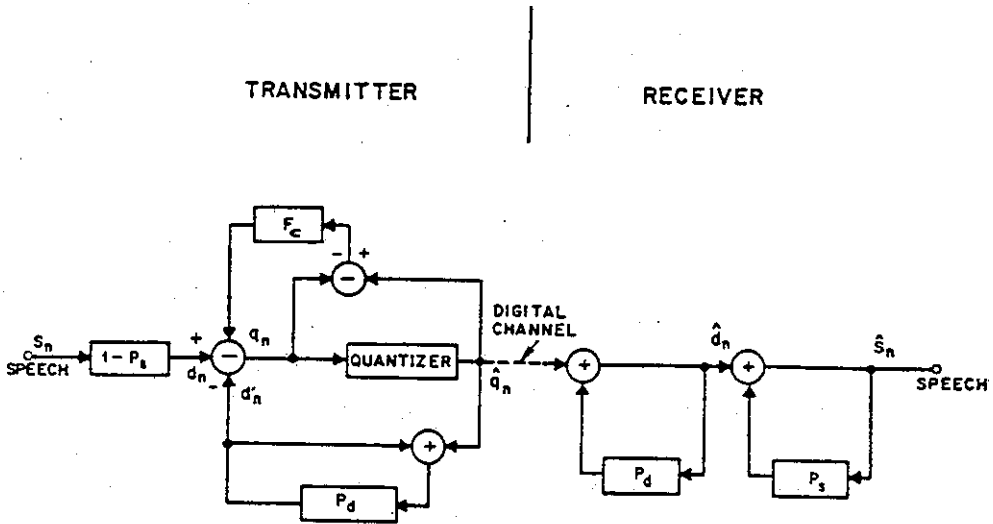


- 1 - Speech spectral envelope
- 2 - Error spectral envelope

ציר 3.3 "צביעת" הרעש

Fig. 3.3 Spectrum of colored noise

בציור 3.4 מוצגת סכמה בה יש שליטה על מעטפת ספקטרום השגיאה בעזרת המסנן F_c .



ציור 3.4 APC עם שליטה על מעטפת ספקטרום הרעש

Fig. 3.4 APC with Noise Spectrum Control

בפרק 4 נרחיב את הדיבור על "צביעת" רעש מכיון שנשתמש בטכניקה זו גם במערכות שנציע בהמשך.

3.3 מקודדי RELP (Base band) [28], [32]

הרעיון הבסיסי העומד מאחורי מקודדי ה-RELP הוא להשקיע את מירב המשאבים בקידוד אזור התדר הנמוך באות השארית (base band). במקלט יוצרים מחדש את התדרים הגבוהים בעזרת פעולה לא לינארית (High Frequency Regeneration). מקודד ה-RELP המקורי שתצע [28] יועד לעבודה בתחום הקצבים 4.8kbps-9.6kbps.

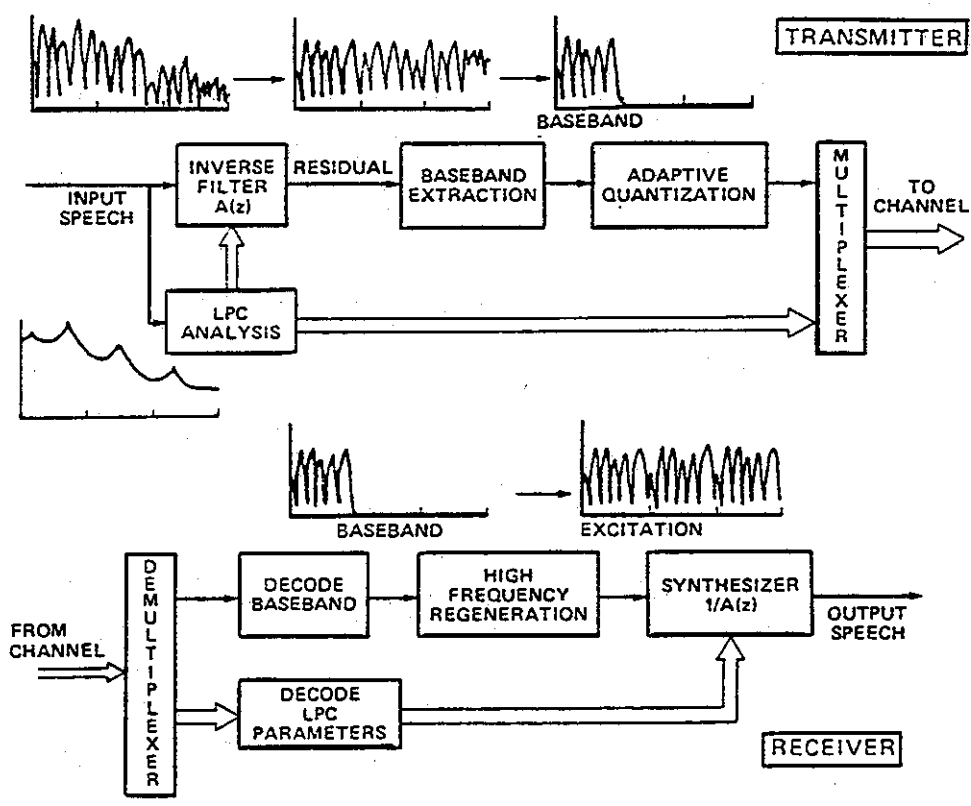
בציר 3.5 מוצגת סכמה עקרונית של מקודד Base band. איכות האות המתקבל תלויה באופן ניכר בצורת השחזור של התדרים הגבוהים במקלט.

השיטות ל-HFR (High Frequency Regeneration) משתמשות בעובדה שהאינפורמציה לגבי אות הדיבור מצויה בעיקר בתדרים נמוכים ובעובדה שהספקטרום של אות השארית הוא בקירוב לכן. פעולת ה-HFR מרחיבה את ה-baseband לספקטרום שטוח בכל רוחב הסרט. שתי שיטות פופלאריות לביצוע ה-HFR הן:

(i) Rectification & Spectral Flattening - הרבה מהסכמאות שהוצעו ל-baseband vocoders השתמשו בשיטה זו: אות השארית הנוצר מה-baseband (האות עובר דצימציה ואינטרפולציה לצורך השידור) עובר יישור (rectification), לאחר פעולה לא לינארית זו מבצעים Spectral Flattening כלומר, מנסים להגיע לספקטרום לכן ככל האפשר כתוצאה טופית.

(ii) Spectral Duplication - שיטה שניה לרגנרציה של התדרים הגבוהים היא Spectral Duplication כלומר, משכפלים את ה-baseband להשלמת הספקטרום בכל רוחב הסרט. שיטה זו מתבססת על העובדה שעבור אותות קוליים לספקטרום אות השארית צורה בקירוב מחזורית ועבור אותות לא קוליים צורה אקראית כשבשני המקרים המעטפת שטוחה. את השכפול מבצעים בשתי צורות - Spectral Folding או - Spectral Translation [31].

קידוד אות השארית לאחר דצימציה יכול להעשות בשיטות שונות : Adaptive quantization ,APC ,ATC ,Sub-band Coding וכו' בספרות מופיעות הצעות שונות למערכת עם צורות קידוד שונות לאות השארית.

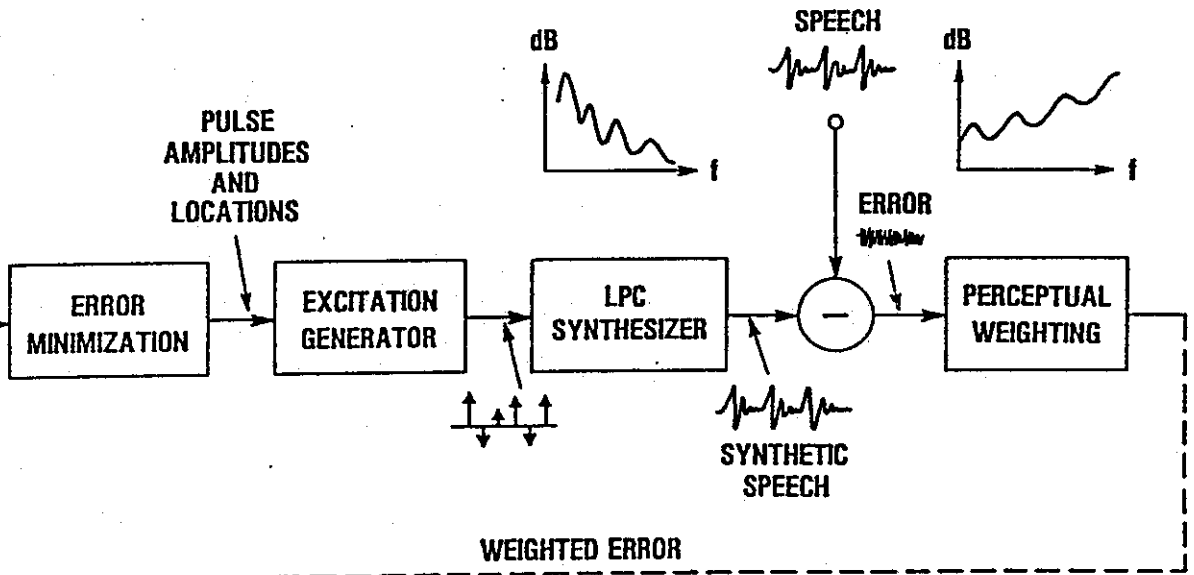


צילור 3.5 - מערכת Baseband vocoder

Fig. 3.5 Baseband vocoder

Multipulse LPC 3.4

שיטה מבטיחה לקידוד אות השארית שהוצגה בשנים האחרונות היא שיטה ה-Multipulse LPC [13]. בשיטה זו אות הערוך המשודר למקלט מורכב ממספר קטן של פולסים חשובים, האינפורמציה המשודרת בנוסף לפרמטרי מסנן ה-LPC היא מיקום הפולסים והאמפליטודות שלהם. מציאת מקומות הפולסים וקביעת האמפליטודות נעשית בתהליך איטרטיבי המוצג בציר 3.6:



ציור 3.6 - אנליזה Multipulse

Fig. 3.6 Multipulse Analysis

הערוך מורכב כך שמתקבלת שגיאה ריבועית משוקללת ממוצעת מינימלית. שקלול השגיאה נעשה כדי להתחשב בתכונת המיסוך של האוזן.

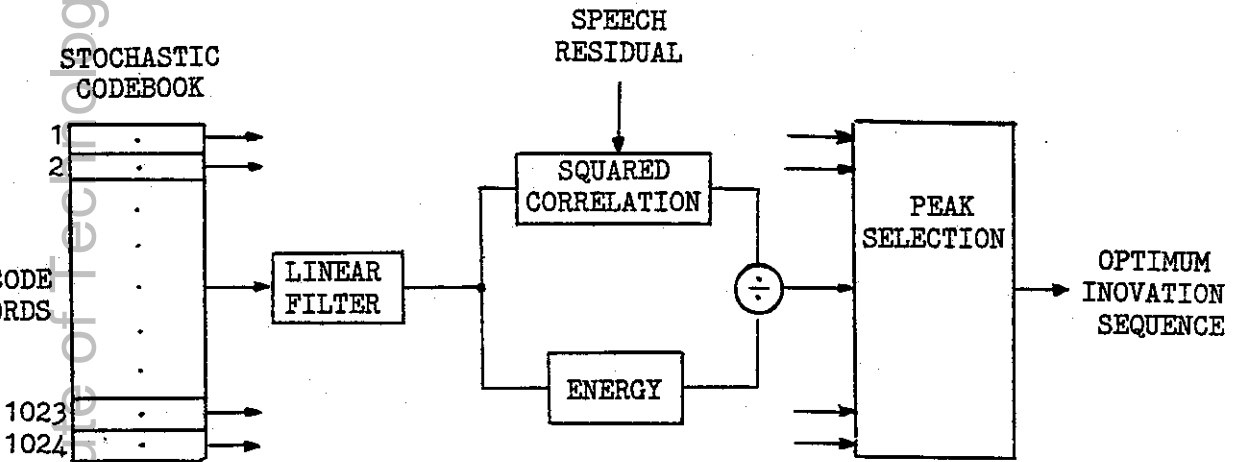
התהליך האיטרטיבי הוא כדלקמן: בתחילה, ללא כל פולסי ערוור, האות המשוחזר נוצר מזכרון מסנן הסינטזה, התרומה של זכרון זה לאות המשוחזר מופחתת מהאות המקורי ונקבעים מקום ואמפליטודה של פולס בודד כך שמקבלים מינימום שגיאה, כעת מחושבת שגיאה חדשה על-ידי הפחתת השפעת הפולס החדש ושוב התהליך חוזר על עצמו עד שנמצאים מספר הפולסים הדרוש או עד שהשגיאה יורדת לערך נמוך שנקבע מראש.

הפוטנציאל בצורת קידוד זו טמון בעובדה שמספיק מספר קטן של פולסים להשגת איכות דיבור טובה - מספיקים כ-4 פולסים במסגרת של 5msec, כלומר, כ-800 פולסים לשניה.

אלגוריתם ה-Multipulse הוא שהוביל לעבודה זו ובפרק הבא נציג אלגוריתם כללי לקידוד אות השארית ששיטת ה-Multipulse היא מקרה פרטי שלו.

במקורד ה-CELP שנודע גם כן כ-Stochastic Coder הערוור האופטמלי נבחר מתוך מילון של סדרות אקראיות לבנות מפולגות גאוסית. הערוור נבחר כך שיתקבל מינימום שגלאה ריבועית משוקללת (Subjective error criterion) בהתבסס על תכונת המיסוך של האוזן.

החסרון העיקרי של השיטה הוא בחיפוש המייגע הנדרש על-פני מילון הסדרות האקראיות. סכמת החפוש למציאת הסדרה האקראית האופטימלית מתוארת בציוור 3.7. סכמת חיפוש כזו דומה לסכמת החפוש בה משתמשים ב-Multipulse LPC והיא תהיה ברורה יותר לאחר הדיון ב-Multipulse LPC בפרקים 4 ו-5.



ציוור 3.7 - סכמת החפוש למציאת הערוור האופטמלי ב-CELP

Fig. 3.7 Search procedure for determining the best stochastic code in CELP

פרק 4. קידוד אות שארית על-ידי פרוק וקטורי

4.1 מכוא

בפרק זה נציע שיטה חדשה לקידוד אות שארית: אות שארית יורכב מקומבינציה לינארית של מספר קטן של וקטורים הלקוחים מתוך אוסף נתון. האינפורמציה המשודרת לגבי אות שארית תהיה כעת אינדקסי הוקטורים שנבחרו (האוסף ממנו נבחרים הוקטורים נמצא הן במקלט והן במשדר) וערכי המקדמים הכופלים אותם. נראה שכמה ממקודדי שארית שסקרנו בפרק הקודם הם מקרים פרטיים של צורת קידוד זו. נבחן אלגוריתמים איטרטיביים ולא איטרטיביים למציאת קומבינציה הוקטורים בהנתן אוסף הוקטורים וננסה למצוא אוסף וקטורים אופטימאלי.

בסוף הפרק תוצג סכמה חדשה למקודד הפועל בתחום החדר ומקצה סיביות באופן דינאמי להתמרה של אות שארית - PTC - Predictive Transform Coder.

בפרקים הבאים יובא תאור מדויק של האלגוריתמים שיוצגו בפרק זה, תוצגנה תוצאות סימולציה והערכות סיבוכיות.

4.2 קידוד אות השארית על-ידי פרוק וקטור

הצגת צורת הקידוד [35]

יהי נתון V אוסף בן M וקטורים מאורך N כל אחד. בהנתן וקטור \underline{S} ומקדמי מסנן הסינטזה $A(z)$ נרכיב את אות הערוך \underline{U} כקומבינציה לינארית של מספר קטן של וקטורים מ- V :

$$(4.2.1) \quad \underline{U} = \sum_{i=1}^k x_i \underline{v}_i, \quad \underline{v}_i \in V, \quad k \ll M$$

הוקטורים \underline{v}_i ייבחרו באופן שיבטיח מינימום שגיאה ריבועית משוקללת בין אות המקור והאות המשוחזר (4.2.2).

קריטריון השגיאה הריבועית המשוקללת הוא:

$$(4.2.2) \quad E_w = \sum_n [(s_n - \hat{s}_n) * w_n]^2$$

כאשר:

s_n - אות הדבור המקורי

\hat{s}_n - אות הדיבור המשוחזר

w_n - תגובת המסנן המשקלל

* - קונבולוציה.

בסעיף 4.2.1 נסביר בדיוק את שקלול השגיאה.

בצורת קידוד כמו שהצגנו לעיל בשאלות שתי שאלות:

(i) בהנתן האוסף V כיצד תיבחר קומבינציה הווקטורים?

(ii) מהו האוסף V האופטימלי?

צורת קידוד כזאת לאות השארית אטרקטיבית מכיוון שכמות האינפורמציה המשודרת קטנה יחסית:

- (i) אינדקסי הווקטורים שנבחרו (האוסף V נמצא במשדר ובמקלט).
- (ii) המקדמים הכופלים את הווקטורים $x_i, i=1...k$

בשנים האחרונות הוצעו כמה מקודדי שארית שהם מקרים פרטיים של צורת הקידוד על-ידי פרוק וקטורי:

(1) MULTI-PULSE LPC [13] - במקודד זה נבחר $V = I_N$ מטריצת יחידת מסדר N . הדבר שקול ליצירת אות הערוור ממספר קטן של פולסים כאשר מיקומיהם מתאימים לאינדקסי הווקטורים שנבחרו והאמפליטודות שלהם הם $x_i, i=1...p$. עם בחירה זו של V , החפוש אחר קומבינציה הווקטורים נעשה בצורה איטרטיבית וקטור אחר וקטור.

(2) CELP - CODE EXCITED LINEAR PREDICTION [27] - במקודד זה V הינו אוסף וקטורים אקראיים ו- $k=1$. כלומר, נבחר וקטור יחיד מהאוסף עבור כל מסגרת ומחושב מקדם הגבר יחיד.

(3) REGULAR EXCITATION [23] - האוסף V מכיל וקטורי "מסרק" בהם יש 1-ים במרווחים קבועים בפאזה שונה.

e.g.

$$V_1 = 0100000100000100...00100$$

$$V_2 = 0010000010000010...00010$$

וכו'.

"מסרק" הנבחר מהאוסף קובע את מיקום הפולסים בערוור ויש צורך באיטרציה נוספת לקביעת האמפליטודות של הפולסים האלו.

(4) SELF EXCITED VOCODER [33] - במקודד זה מוצע לכלול באוסף V גם ווקטורים אקראיים כמו ב-CELP וגם וקטורי יחידה כמו ב-MPLPC ואליהם להוסיף וקטורים מההסטוריה של הערוור, חלק זה של האוסף יהיה דינאמי ויתעדכן כל הזמן.

לפני שנתקוף את שתי השאלות שהוצגו לעיל נקדיש כמה מלים לבחינת קריטריון הסיב בו נשתמש.

מדד השגיאה הריבועית הוא מדד אובייקטיבי שאינו מתחשב בגורמים סובייקטיביים כמו תכונות האוזן. כדי להגדיר מדד טוב יותר להבדל בין האות המקורי והמשוחזר נגדיר שגיאה משוקללת בתדר: (Frequency weighted error):

$$(4.2.3) \quad E_w = \int_0^{f_s} |S(f) - \hat{S}(f)|^2 W(f) df$$

כאשר $S(f)$ ו- $\hat{S}(f)$ הם התמרות פוריה של האות המקורי והמשוחזר בהתאמה, $W(f)$ היא פונקצית המשקל ו- f_s הוא תדר הדגימה.

בגלל הריכוז הגדול יחסית של אנרגיה באזורי הפורמנטים לעומת האזורים בין פורמנטים בספקטרום אות הדיבור, האוזן יכולה לסבול שגיאה גדולה יותר באזורי הפורמנטים - נוצר מיסוך של הרעש בתדירויות אלה.

נרצה איפוא לבחור $W(f)$ כך שספקטרום השגיאה המתקבלת יהיה צבוע באופן יחסי כלשהו לספקטרום האות המקורי.

המסנן ההפוך $A(z) = 1 + P(z)$ נתון על-ידי מקדמיו:

$$(4.2.4) \quad A(z) = 1 + \sum_{k=1}^p a_k z^{-k}$$

אם נסמן את פונקצית התמסורת של המסנן המשקלל ב- $W(z)$ אזי בחירה נוחה עבור המסנן תהיה [12]:

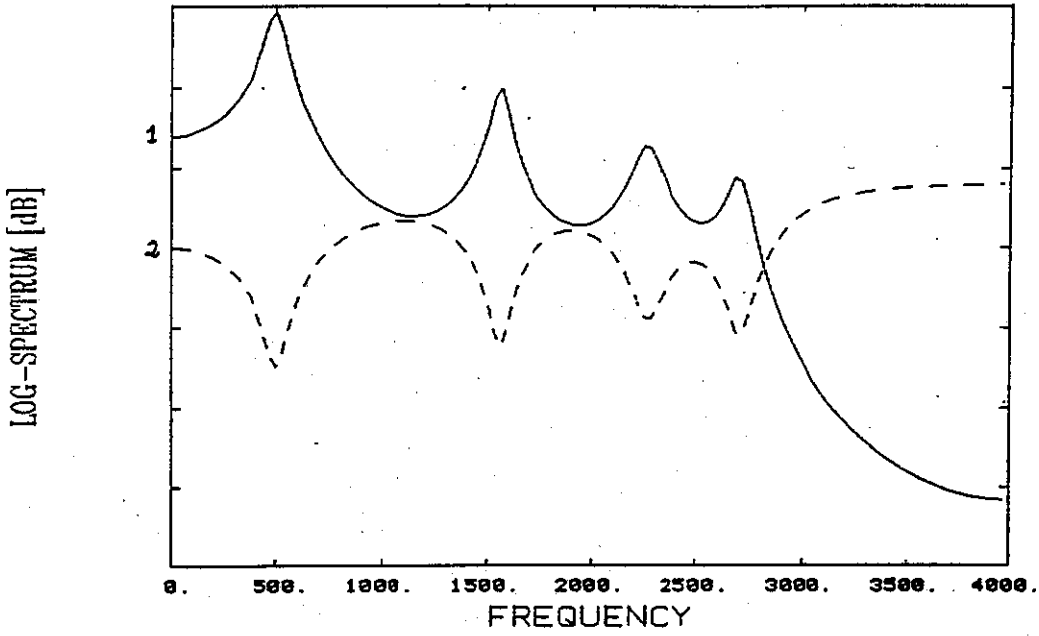
$$(4.2.5) \quad W(z) = \frac{1 + \sum_{k=1}^p a_k z^{-k}}{1 + \sum_{k=1}^p a_k \gamma^k z^{-k}}$$

כאשר המקדם γ , $0 \leq \gamma \leq 1$, שולט על מידת ההדגשה של השגיאה באזורי הפורמנטים. הבחירה $0 < \gamma < 1$ היא מקרה ביניים בין שתי בחירות קיצוניות:

הבחירה הראשונה היא לקבוע $\gamma = 1$ המביאה ל- $W(z) = 1$. ספקטרום השגיאה אינו משוקלל ונצפה לכן לקבל ספקטרום שגיאה לכן. במקרה זה נקבל ערכי SNR גבוהים באזורי הפורמנטים ו-SNR נמוך באזורים שבין הפורמנטים בהם אנרגיית האות נמוכה. הבחירה הקיצונית השניה היא $\gamma = 0$ המביאה ל- $W(z) = 1 + P(z)$. במקרה זה ספקטרום השגיאה יהיה צבוע לפי ספקטרום האות. כפשרה בין שתי בחירות אלו נבחר $0 < \gamma < 1$.

כאמור, הערך של γ נקבע לפי הדרגה בה נרצה להדגיש את הרעש באזורי הפורמנטים והערך הסופי צריך להקבע בעזרת מבחני האזנה. נמצא [13] שערך אופיני ל- γ צריך להיות בתחום 0.7-0.8 ואינו קריטי כל כך.

בציור 4.1 מובאת דוגמא לתגובת החדר של המסנן המשקלל לעומת מעטפת ספקטרום אות הדיבור המקורי עבור $\gamma = 0.8$. ובציור 4.2 מובאת דוגמא למעטפת ספקטרום השגיאה המתקבלת לעומת מעטפת ספקטרום האות המקורי עבור $\gamma = 0.8$.

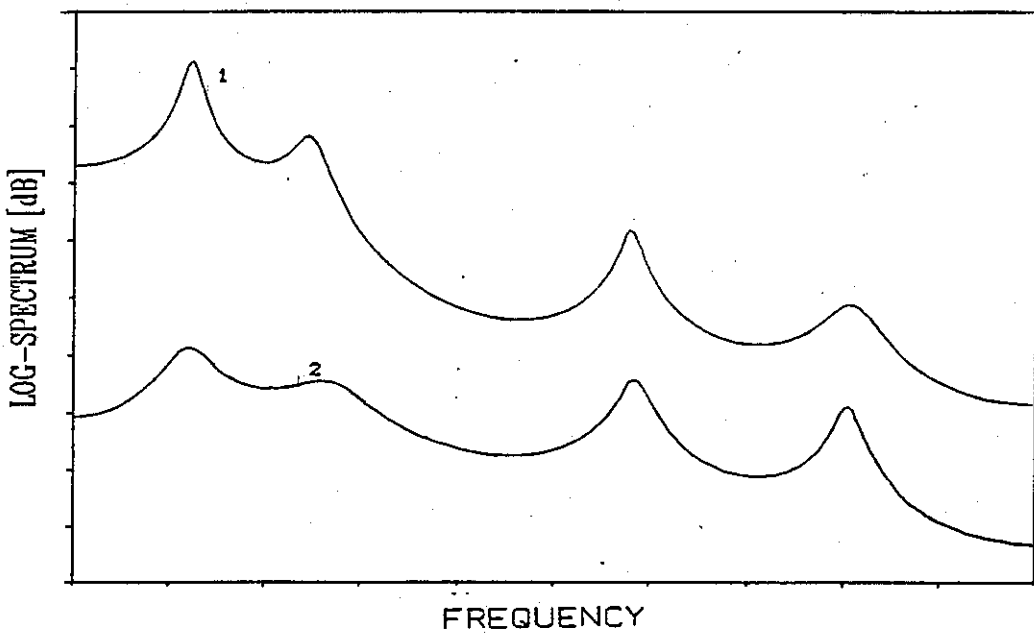


1 - Speech spectral envelope

2 - $W(z)$ Frequency response

ציור 4.1 תגובת המסנן המשקלל לעומת מעטפת ספקטרום אות הדבור

Fig. 4.1 Spectrum of $W(z)$ vs. Spectrum envelope of speech signal



1 - Speech spectral envelope

2 - Error spectral envelope

ציור 4.2 מעטפת ספקטרום השגיאה לעומת מעטפת ספקטרום הדבור

Fig. 4.2 Error spectral envelope vs. speech spectral envelope

4.2.2 מציאת קומבינצית הוקטורים

נתמקד תחילה בשאלת מציאת קומבינצית הוקטורים האופטימלית כאשר האוסף V נתון. אנו מחפשים מינימום לשגיאה הריבועית המשוקללת שהוגדרה ב- (4.2.2). את הדיבור המשוחזר מתקבל על-ידי:

$$(4.2.6) \quad \hat{s}_n = u_n * h_n + l_n$$

כאשר:

u_n - אות הערוך

h_n - תגובת מסנן הסינטזה

l_n - אות הנוצר מזכרון המסנן כתוצאה מ"היסטורית" האות (מהמסגרת הקודמת) - הקידוד מתבצע במסגרות.

הצבה של (4.2.6) ל-(4.2.2) תתן:

$$(4.2.7) \quad E_w = \sum_n [(s_n - u_n * h_n - l_n) * w_n]^2 \\ = \sum_n [(s'_n - u_n * h_n) * w_n]^2$$

כאשר:

$$(4.2.8) \quad s'_n = s_n - l_n$$

את s'_n ניתן לרשום כ-

$$(4.2.9) \quad s'_n = e_n * h_n$$

כאשר e_n הוא אות "שארית" - הוא מתקבל על-ידי החסרת l_n מ- s_n והעברת האות המתקבל s'_n - דרך המסנן ההפוך $A(z)$ עם זכרון מאופס.

הצבה של (4.2.9) ל-(4.2.7) תתן:

$$(4.2.10) \quad E_w = \sum_n [(e_n - u_n) * h_n * w_n]^2 = \\ = \sum_n [(e_n - u_n) * h'_n]^2$$

כאשר h'_n היא תגובה מסנן סינטזה משוקלל:

$$(4.2.11) \quad h'_n = h_n * w_n$$

ומכאן:

$$(4.2.12) \quad H'(z) = H(z) W(z) = \frac{1}{A(z)} \frac{A(z)}{A(z/\gamma)} = \frac{1}{A(z/\gamma)}$$

נגדיר מטריצה R מימד $N \times N$ שהאבר r_{ij} בה הוא:

$$(4.2.13) \quad r_{ij} = \sum_n h_{n-i}' h_{n-j}' \quad 0 \leq i \leq N-1, \quad 0 \leq j \leq N-1$$

ונוכל לרשום בצורה מטריצית:

$$(4.2.14) \quad E_w = (\underline{e} - \underline{U})^T R (\underline{e} - \underline{U})$$

כאשר:

\underline{e} - וקטור השארית

\underline{U} - וקטור הערור.

בכוונה לא הגדרנו עד שלב זה את תחום הסכימה בחישוב E_w . אם סכימה זו תיעשה על פני N דגמים נקבל אנליזה "קווריאנט" שבה לא נעשות שום הנחות על האות מחוץ ל- N הדגמים. המטריצה R המתקבלת תהיה מטריצה סימטרית חיובית מוגדרת של ביטוי קווריאנט.

אם גבולות הסכימה יהיו $-\infty$ ל- $+\infty$ ונניח ש- h'_n מתאפס החל מנקודה מסוימת נקבל אנליזה "אוטוקורלציה". המטריצה R המתקבלת במקרה זה תהיה מטריצת Toeplitz סימטרית חיובית מוגדרת של אברי אוטוקורלציה. בשלב זה אין לסוג הניתוח השפעה על פיתוח הפתרון אולם בהמשך נראה כיצד סוג האנליזה משפיע על האלגוריתמים המתקבלים.

וקטור הערוך נבנה כקומבינציה לינארית של וקטורים מתוך V :

$$(4.2.15) \quad \underline{v} = \sum_{i=1}^k x_i \underline{v}_i \quad \underline{v}_i \in V$$

הצבה של (4.2.15) ל-(4.2.14) תתן:

$$(4.2.16) \quad E_w = \left(\underline{e} - \sum_{i=1}^k x_i \underline{v}_i \right)^T R \left(\underline{e} - \sum_{i=1}^k x_i \underline{v}_i \right)$$

נסמן ב- Q מטריצה שעמודותיה הם הוקטורים שנבחרו מ- V ונקבל:

$$(4.2.17) \quad E_w = (\underline{e} - Q\underline{x})^T R (\underline{e} - Q\underline{x})$$

כאשר \underline{x} הוא וקטור המקדמים $x_i, i=1 \dots k$.
נניח תחילה שהמטריצה Q נתונה ונמצא פתרון אופטימלי עבור \underline{x} .

$$(4.2.18) \quad \underline{x}^T = [x_1 \ x_2 \ \dots \ x_k]$$

נגזור את E_w ביחס ל- \underline{x} ונשווה ל- $\underline{0}$.

$$(4.2.19) \quad \frac{\partial E_w}{\partial \underline{x}} = -2Q^T R (\underline{e} - Q\underline{x})$$

ומתקבל:

$$(4.2.20) \quad \underline{x}_{opt} = (Q^T R Q)^{-1} Q^T R \underline{e}$$

כלומר, בהנתן Q - מטריצת הוקטורים שנבחרו מ- V - ניתן לחשב בעזרת (4.2.20) את וקטור המקדמים \underline{x} .

הצבה של (4.2.20) ל-(4.2.17) תתן את השגיאה E_w כשידוע שעבור כל Q שתיבחר נבחר \underline{x} האופטימלי.

$$(4.2.21) \quad E_w = \underline{e}^T R \underline{e} - (\underline{e}^T R Q)(Q^T R Q)^{-1}(Q^T R \underline{e})$$

נסמן:

$$(4.2.22) \quad \Delta E = (\underline{e}^T R Q)(Q^T R Q)^{-1}(Q^T R \underline{e})$$

בכל מסגרת ניתן לחשב את R , ומכיוון ש- \underline{e} נתון הבעיה מתמקדת במציאת המטריצה Q כזו שתתן ΔE מקסימלי ומכאן E_w מינימאלי.

נבחן כעת כמה אפשרויות למציאת המטריצה Q המבוקשת מתוך האוסף V :

(1) חפוש אופטימאלי - מעבר על כל הקומבינציות האפשריות של k וקטורים מתוך V . זו גישה לא מעשית מכיוון שמספר קומבינציות טיפוסי הוא לדוגמא $\binom{80}{8}$ (בחירת 8 וקטורים מתוך אוסף של 80). ניתן לחסוך בחיפוש על-ידי שימוש באלגוריתמים מהסוג של Branch and Bound [34] לחיפוש על עץ, אולם, גם במקרה זה הסיבוכיות עדיין תהיה גבוהה מאד.

מכיוון שחיפוש אופטימלי כזה אינו מעשי נפנה לאלגוריתמים תת-אופטימליים:

(2) Independent Selection [55] - בחירת k וקטורים שכל אחד מהם נותן באופן בלתי תלוי את ערכי ΔE הגדולים ביותר. גישה זו פשוטה אולם מבטיחה לתוצאות גרועות.

(3) Sequential Forward Selection (SFS) [55] - בחירה איטרטיבית. בכל שלב מחפשים וקטור יחיד בהתחשב באלה שכבר נבחרו באיטרציות הקודמות. כאן כבר מתחשבים בתלות בין הוקטורים אולם לא ניתן לוותר על וקטורים שכבר נבחרו.

(4) Sequential Backward Selection (SBS) [55] - ויתור איטרטיבי על וקטורים. מתחילים עם כל הוקטורים ומוותרים בצורה איטרטיבית על וקטורים עד שנשארים עם ה- k הנבחרים. שיטה זו לא מעשית מכיוון שחישוב וקטור המקדמים \underline{x} מתוך (4.2.20) יהיה מסובך מאד עבור קבוצות וקטורים גדולות.

(5) Algorithm (1-r) [55] - זהו אלגוריתם שממלב את SFS ו-SBS. בכל שלב משתמשים ב-SFS לבחור l וקטורים ואח"כ ב-SBS לוותר על r וקטורים. אלגוריתם זה מתגבר על הבעיה של SFS - אי יכולת לוותר על וקטורים שכבר נבחרו, אולם, הדבר נעשה תמורת תוספות סיבוכיות.

בסעיפים הבאים נבחן אלגוריתמים ספציפיים למציאת קומבינציות הווקטורים: נציע אפשרויות שונות לבחירת V - בחירות שיובילו לפתרונות פשוטים יחסית ומעשיים ונראה מה יהיו פתרונות אלו. את הדיון נפריד לדיון באלגוריתמים איטרטיביים ולא איטרטיביים.

4.3 אלגוריתמים איטרטיביים למציאת קומבינציה הוקטורים

כדי להגיע לאלגוריתם איטרטיבי פשוט יחסית מהטיפוס של SFS מוצע לבחור $V=I_N$ (מטריצת יחידה מסדר N). כלומר, הערור מורכב מקומבינציה לינארית של k וקטורי יחידה - וקטורים שרק איבר אחד בתוכם שונה מ-0 וערכו שווה ל-1.

בחירה זו שקולה בעצם למיקום k פולסים בוקטור הערור כאשר וקטור המקדמים \underline{x} מכיל את האמפליטודות שלהם.

גם עם בחירה זו של V חפוש מלא אינו מעשי כך שבחירת הוקטורים נעשית בצורה סדרתית. במהלך האלגוריתם ייבחר כל פעם וקטור אחד מתוך I_N ותחושב אמפליטודה מתאימה. השארית \underline{e} תעודכן כך שנתחשב בוקטור החדש שנבחר ושוב נחזור על התהליך. נסמן:

$$\underline{e}^j - \text{וקטור השארית לאחר שנמצאו } j \text{ פולסים.}$$

$$\underline{v}_i - \text{וקטור שנבחר מ- } V=I_N.$$

בכל שלב באלגוריתם נבחר $Q=\underline{v}_i$ כאשר \underline{v}_i הוא אחד הוקטורים מ- V . לפי (4.2.22) ולאחר שנמצאו j וקטורים (פולסים) יש למצוא i כזה כך ש-:

$$(4.3.1.) \quad \Delta E_i = (\underline{e}^j)^T R \underline{v}_i \frac{1}{r_{ii}} (\underline{v}_i^T R \underline{e}^j)$$

יהיה מקסימלי.

נוסף סימונים נוספים:

$$\underline{\alpha} = R \underline{e}^j$$

$\hat{\alpha}_i$ יהיה וקטור ריבועי אברי $\underline{\alpha}$ כלומר:

$$\hat{\alpha}_i = \alpha_i^2 \quad 0 \leq i \leq N-1$$

$\text{diag}(1/r_{ii})$ תהיה מטריצה אלכסונית שעל אלכסונה בשורה i בעמודה i נמצא:

$$(1/r_{ii}) \text{ עבור } 0 \leq i \leq N-1.$$

כפי שנראה, הבחירה $V=I_N$ נוחה מכיוון שכפל וקטור ב- \underline{v}_i פרושו בחירת האבר ה- i מהוקטור. וכפל מטריצה ב- \underline{v}_i פרושו בחירת העמודה ה- i לית מהמטריצה.

האלגוריתם המתקבל:

(4.3.2) $\underline{\alpha} = \text{Re}^0$ חישוב הוקטור: .1

$\hat{\alpha}_i = \alpha_i^2, 0 \leq i \leq N-1$ מתוך $\underline{\alpha}$ חשב את $\hat{\underline{\alpha}}$: .2

(4.3.3) $\underline{\Delta E} = \text{diag}(1/r_{ii})\hat{\underline{\alpha}}$ חישוב הוקטור: .3

מצא איבר מקסימלי ב- $\underline{\Delta E}$, יהי אינדקסו l . .4

חשב את האמפליטודה: .5

(4.3.4) $x_l = (\underline{v}_l^T R \underline{v}_l)^{-1} (\underline{v}_l^T \text{Re}^j) = \frac{\alpha_l}{r_{ll}}$ אם נמצאו k וקטורים סילים. .6

עדכן את השארית \underline{e}^j : .7

(4.3.5) $\underline{e}^{j+1} = \underline{e}^j - x_l \underline{v}_l$

למעשה עדכן את $\underline{\alpha}$:

(4.3.6) $\underline{\alpha}^{j+1} = \text{Re}^{j+1} = \underline{\alpha}^j - x_l R \underline{v}_l$

.8 חזור ל-2.

בשלב זה ניתן לפצל את הדיון לשניים לפי אופי המטריצה R:

1. אם הסכימה לצורך חישוב R נעשית רק על N דגמים כפי שצריך להעשות אם רוצים לבצע ניתוח מדויק לכל מסגרת בנפרד, כלומר, לא נעשות שום הנחות לגבי האותות הקיימים מחוץ למסגרת, אזי המטריצה R המתקבלת תהיה מטריצה של ביטויי קווריאנס - מטריצה סימטרית חיובית מוגדרת במימד $N \times N$. לסוג אנליזה כזה נקרא אנליזה קווריאנס.

2. אם מניחים שהסכימה בחישוב R היא מ- ∞ ל- ∞ תוך הנחה ש- h'_n מתאפס החל מנקודה מסוימת אזי R תהיה מטריצה של אברי אוטוקורלציה - מטריצת Toeplitz סימטרית חיובית מוגדרת מממד $N \times N$, לסוג אנליזה כזה נקרא אנליזה אוטוקורלציה.

בפרק 5 נציג את האלגוריתמים השונים המתקבלים ביתר פירוט.

מהאלגוריתם האיטרטיבי שהוצג ניתן בשינוי קל להגיע לאלגוריתם ה-Multi-Pulse LPC [13] שהוצע בשנים האחרונות:

אם נצא מ-אנליזה קווריאנס ניתן לפרק את המטריצה R

$$(4.3.7) \quad R = F^T F$$

→

כאשר F היא מטריצה $N \times N$ שבשורה ה-n-ית והעמודה ה-i-ית מכילה את האיבר h'_{n-i} :

$$(4.3.8) \quad F = \begin{bmatrix} h'_0 & 0 & 0 & \cdot & \cdot & \cdot & 0 \\ h'_1 & h'_0 & 0 & 0 & \cdot & \cdot & 0 \\ h'_2 & h'_1 & 0 & 0 & 0 & \cdot & 0 \\ \cdot & \cdot & \cdot & \cdot & \cdot & \cdot & \cdot \\ \cdot & \cdot & \cdot & \cdot & \cdot & \cdot & \cdot \\ \cdot & \cdot & \cdot & \cdot & \cdot & \cdot & \cdot \\ h'_{N-1} & h'_{N-2} & \cdot & \cdot & \cdot & \cdot & h'_0 \end{bmatrix}$$

הצבה של (4.3.7) ל-(4.3.2) תתן:

$$(4.3.9) \quad \underline{\alpha} = \underline{R}e^j = F^T F e^j = F^T \tilde{S}^j$$

כאשר:

$$(4.3.10) \quad \tilde{S}^j = F e^j$$

כלומר, \tilde{S}^j הוא וקטור המתקבל על-ידי העברת וקטור השארית e^j דרך מסנן הסינטזה המשוקלל h'_n . עבור $\tilde{S}^j_{j=0}$ יהיה אות דיבור משוקלל לאחר שהחסרנו ממנו את ה-leftover - L הנוצר מזכרון מסנן הסינטזה:

$$(4.3.11) \quad \tilde{S}^0 = F e^0 = (\underline{S} - \underline{L})_w$$

כאשר הסימון $()_w$ מסמן שיקלול בעזרת המסנן המשקלל $W(z)$.

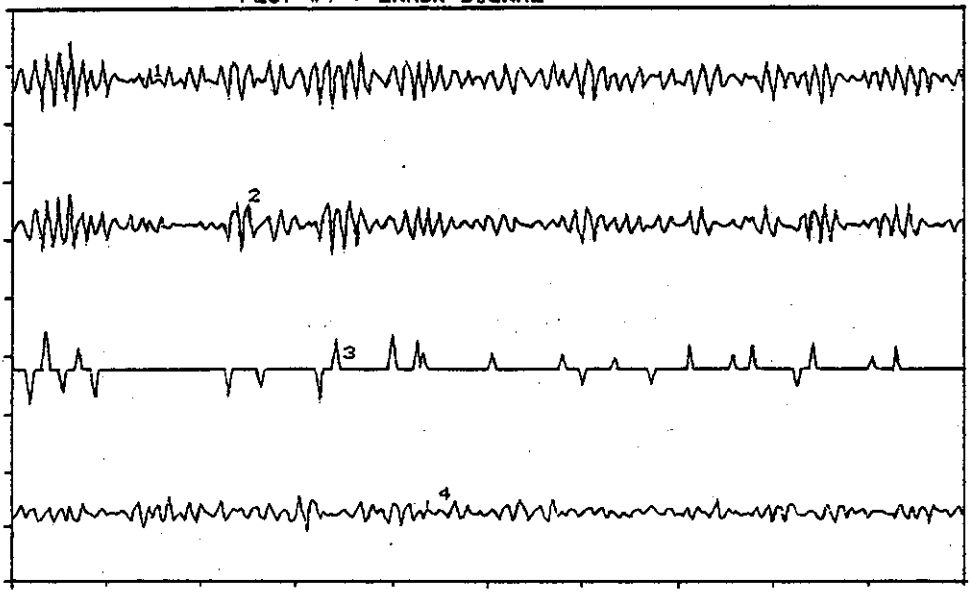
הוקטור $\underline{\alpha}$ מהווה איפוא וקטור של מקדמי Crosscorrelation בין התגובה המשוקללת h'_n ואות הדיבור המשוקלל לאחר הפחתת השפעת זכרון מסנן הסינטזה - \tilde{S} .

בעזרת (4.3.9) ניתן לחשב את $\underline{\alpha}$ ללא חישוב מוקדם של המטריצה R . צורה זו של אלגוריתם הוצעה במקור ב-[13] Multi-Pulse LPC והצגה דומה הובאה גם ב-[18] [20].

כפי שראינו וכפי שהוצג ב-[13] הבחירה $V = I_N$ ניתנת לפרוש כבחירה של פולסים באות הערור. בצירוף 4.3 מוצגים: האות המקורי, האות המשוחזר, אות הערור ואות השגיאה הנוצר בין אות המקור והשחזור עבור קטע דיבור קולי ולא-קולי. ניתן לראות שבקטע הקולי הערור מקבל מבנה מחזורי במחזור ה-Pitch ובקטע הלא-קולי הערור מקבל צורה אקראית דמויית רעש.



PLOT #1 : ORIGINAL SPEECH SIGNAL
PLOT #2 : SYNTHETIC SPEECH SIGNAL
PLOT #3 : EXCITATION SIGNAL
PLOT #4 : ERROR SIGNAL



PLOT #1 : ORIGINAL SPEECH SIGNAL
PLOT #2 : SYNTHETIC SPEECH SIGNAL
PLOT #3 : EXCITATION SIGNAL
PLOT #4 : ERROR SIGNAL

צילור 4.3 האותות המתקבלים באלגוריתם האיטרטיבי

Fig. 4.3 Signals obtained by the iterative algorithm

4.3.1 אופטימיזציה אמפליטודות [15]

באלגוריתם שהוצג המקדם של וקטור שנבחר אינו משתנה. יתכן לכן מצב בו נזדקק ליותר פולסים כדי לכפר על אי דיוקים שנכנסו במהלך האיטרציות. ניתן לשפר את האלגוריתם אם בסיום כל מסגרת נבצע חישוב מחדש של האמפליטודות בעזרת (4.2.20):

$$\underline{x} = (Q^T R Q)^{-1} (Q^T \underline{R} e)$$

פעולה זו תהיה כרוכה בהיפוך מטריצה או לחליפין פתרון מערכת משוואות לינאריות.

המטריצה $Q^T R Q$ ידועה - היא מתקבלת על ידי בחירת אברים מתאימים מ-R. הוקטור $Q^T \underline{R} e$

מתקבל על-ידי בחירת אברים מתאימים מהוקטור $\underline{a} = \underline{R} e$ שחושב בתחילת האיטרציות. שיפור נוסף יתקבל אם נבצע אופטימיזציה אמפליטודות לאחר כל איטרציה באלגוריתם. בצורה זו וקטור השגיאה יישמר אורתוגונלי לוקטורי הערוך בכל שלבי האלגוריתם וימנע מצב בו עלול להבחר באחת האיטרציות וקטור שכבר נבחר, כפי שאכן קורה באלגוריתם שהוצג. גם כאן נשתמש ב-(4.2.20) אולם הסיבוכיות המתקבלת תהיה כמוכּוּן יותר גדולה.

ניתן לבחור בפתרונות ביניים בין אופטימיזציה יחידה בסוף מסגרת לבין אופטימיזציה לאחר כל איטרציה על-ידי חישוב האמפליטודות מחדש מספר קטן יותר של פעמים במשך המסגרת אך יותר מפעם אחת [2.2].

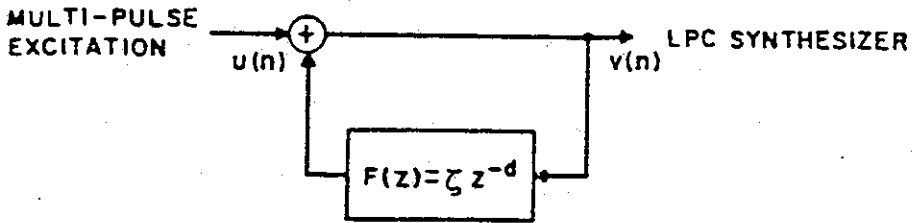
4.3.2 שיפורים נוספים שהוצעו בספרות [14],[15],[19],[21]

האלגוריתם האיטרטיבי שהצגנו הוא בעצם הצגה שונה של אלגוריתם ה-Multi-Pulse [13] ובשנים האחרונות הוצעו לו שיפורים ותוספות שונים.

נציג כאן כמה מהשיפורים היותר משמעותיים או מעניינים לאלגוריתם:

1. אופטימיזציה מקדמי המסנן בהנתן אות הערור [14] -
באנליזת LPC מניחים שהכניסה למסנן הסינטזה לבנה ומקדמי המסנן מחושבים על-ידי מינימיזציה של שגיאה ריבועית ממוצעת בין האות המקורי והאות המתקבל על-ידי חזאי לינארי מתוך הדגימות הקודמות. ניתוח כזה בדרך כלל לא מניב תוצאות מדויקות עבור אותות מחזוריים (קטעים קוליים).
כדי להתגבר על בעיה זו יש לשערך את הערור למסנן הסינטזה. ב-[14] הוצע שערור ה-Multi-Pulse יהווה שערור לערור למסנן הסינטזה כדי לקבל מקדמי מסנן סינטזה מדויקים יותר. הנחה זו מובילה לסט משוואות דומות למשוואות נורמליות [14] אולם פתרון מערכת זו אינו אפשרי בצורה שתבטיח תמיד יציבות. ניתן להתגבר על בעיה זו על-ידי בדיקת מיקום הקטבים ושיקוף קטבים שנפלו מחוץ למעגל היחידה לתוכו. אולם, המסנן המתקבל כבר לא יתן מינימום שגיאה ריבועית ממוצעת. בבדיקות שמיעה שערכנו מסתבר שאופטימיזציה המקדמים אכן מביאה לשיפור קל באיכות הדיבור עבור קטעים שמובילים למסנן יציב, אולם, הסיבוכיות הנוספת וחוסר היציבות המתקבל מעמידים בספק את כדאיות ביצוע האופטימיזציה.
2. הוספת חזאי Pitch [15] -
מסתבר שכ-8 פולסים דרושים לכל מחזור Pitch כדי לקבל אות משוחזר באיכות גבוהה, כלומר, ככל שתדר ה-Pitch יגדל הקצב בו נצטרך לשרר יגדל אף הוא - לקולות נשים נזדקק לקצב יותר גבוה כדי לשמור על אותה איכות.
כמו כן ניתן להבחין בקורלציה באות הערור ב-Multi-Pulse בין מחזור Pitch אחד למשנהו. ניתן להשתמש בקורלציה זו להקטנת מספר הפולסים על ידי הוספת חזאי Pitch למערכת.

ב-[15] מוצע חזאי פשוט מסדר ראשון:



ציור 4.4 הוספת חזאי pitch למערכת Multi-Pulse

Fig. 4.4 Adding a pitch predictor to a Multi-Pulse system

ζ הוא הגבר החזאי ו- d היא ההשהיה שלו.

השהית החזאי היא מסדר גודל של כמה מחזורי Pitch ובאופן כללי ארוכה מאורך מסגרת - N .

מציאת פרמטרי החזאי וערור ה-Multi-Pulse נעשית בשני שלבים נפרדים - תחילה מניחים שערור ה-Multi-Pulse מאופס ומחשבים את נתוני החזאי ובהנתן החזאי מחשבים את ערור ה-Multi-Pulse.

4.4 אלגוריתמים לא איטרטיביים למציאת קומבינציה הוקטורים

בסעיף הקודם הראנו שהבחירה $V = I_N$ מובילה לאלגוריתם איטרטיבי לבחירת הוקטורים

v_i (Multi-Pulse) החסרון של האלגוריתמים מהסוג הזה (כפי שנפרט בפרק 5) הוא עדיין סיבוכיות גבוהה. בפרק זה נבחן בחירות אפשריות לאוסף V שיובילו לאלגוריתמים לא איטרטיביים מתוך כוונה להקטין את הסיבוכיות.

בסעיף הבא יוצג אלגוריתם ה- Generalized Maximum Residual Maguitude (GMRM) שהוא אלגוריתם פשוט אך נותן איכות ירודה ומגיעים אליו מתוך בחירה פשוטה של V . בהמשך נראה שניתן להגיע לאלגוריתם לא איטרטיבי נוסף הפועל דווקא בתחום התדר ואליו נגיע מתוך נסיון למצוא את האוסף V האופטימאלי.

4.4.1 Generalized Maximum Residual Maguitude

בחינה של הביטוי לו מחפשים מקסימום באלגוריתם:

$$\Delta E = (\underline{e}^T R Q) (Q^T R Q)^{-1} (Q^T R \underline{e})$$

תבחר שהביטוי $(Q^T R Q)^{-1}$ נכנס כמטריצה משקללת והוא הגורם לצורך לחפש חיפוש מלא מייגע או לחליפין חפוש סדרתי תת אופטימלי.

אם נבחר V כזה שכל Q שתיבחר ממנו תלכסן את $Q^T R Q$ הרי שנוכל לפשט את האלגוריתם מכיוון שבחירת הפולסים במקרה זה תעשה במקביל.

ב-(4.3.7) פירקנו את R באופן הבא:

$$(4.4.1) \quad R = F^T F$$

נבחר לכן:

$$(4.4.2) \quad V = F^{-1}$$

Q היא תת מטריצת עמודות של V ולכן:

$$(4.4.3) \quad Q^T R Q = I_k$$

I_k - מטריצת יחידה מסדר k .

נקבל לכן:

$$(4.4.4) \quad \Delta E = (\underline{e}^T R Q) (Q^T R \underline{e})$$

כדי למצוא מקסימום לכיטוי זה נגדיר וקטור \underline{Y} :

$$(4.4.5) \quad \underline{Y} = V^T R \underline{e}$$

ונבחר ממנו את k האברים המקסימאליים בערך מוחלט, האינדקסים שלהם יקבעו איזה וקטורים ליבחרו מ- V וירכיבו את Q . נציב את (4.4.1) ו-(4.4.2) ל-(4.4.5) ונקבל:

$$(4.4.6) \quad \underline{Y} = (F^{-1})^T F^T F \underline{e} = F \underline{e}$$

כלומר, \underline{Y} יתקבל על-ידי העברת \underline{e} דרך מסנן הסינטיזה המשוקלל $\frac{1}{A(z/\gamma)}$

האמפליטודות יתקבלו על ידי:

$$(4.4.7) \quad \underline{X}_{opt} = (Q^T R Q)^{-1} (Q^T R \underline{e}) = Q^T R \underline{e}$$

כלומר, האמפליטודה המתאימה לאינדקס i שנבחר תהיה בדיוק הערך y_i (האבר ה- i בוקטור \underline{Y}).

אות הערוור ינתן על ידי:

$$(4.4.8) \quad \underline{U} = \sum_{i=1}^k x_i \underline{v}_i = Q \underline{x} = V \tilde{\underline{Y}}$$

כאשר אברי הוקטור $\tilde{\underline{Y}}$ הם:

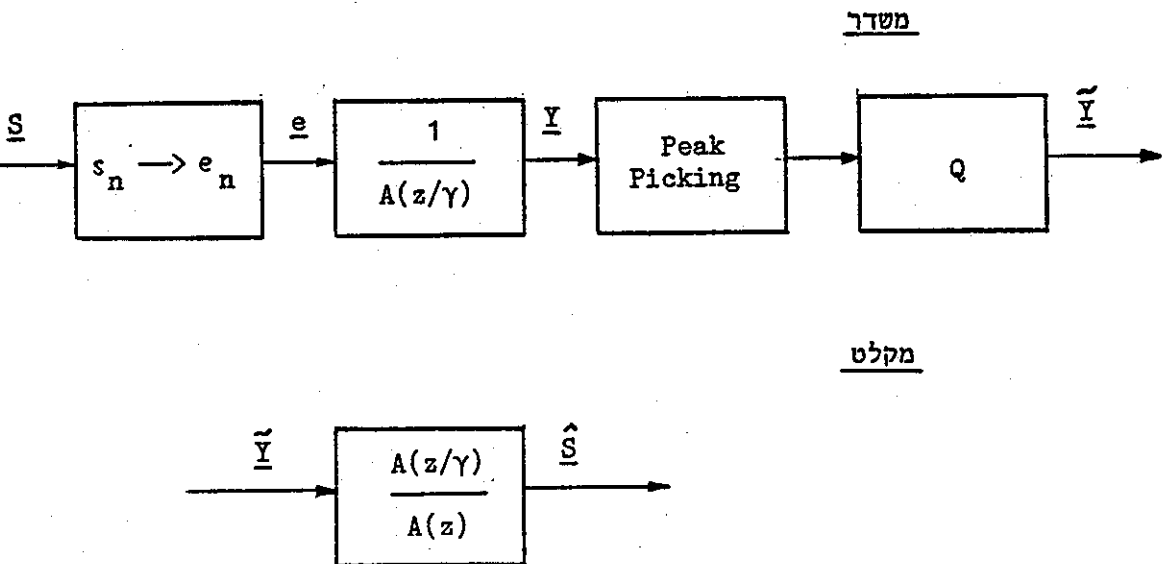
$$(4.4.9) \quad \tilde{y}_i = \begin{cases} y_i & \text{אם } i \text{ נבחר} \\ 0 & \text{אחרת} \end{cases}$$

$i = 0, 1, 2, \dots, N-1$

בחינה מעמיקה יותר של הבחירה $\nu = F^{-1}$ תבהיר שבתלות ב- γ אנו נעים בין שני מקרי קצה - עם $\gamma = 0$ נקבל $F=I$ ובחירת השיאים נעשית על אות השארית עצמו. עבור $\gamma = 1$ נקבל שבחירת השיאים נעשית על אות המקור עצמו! בחירת ערך ביניים של γ בין 0 ל-1 מתאימה לבחירת שיאים מאות השארית צבוע לפי

$$\frac{1}{A(z/\gamma)}$$

המערכת המוצעת:



ציור 4.5 - סכמת מסדר - מקלט GMRM
 Fig. 4.5 GMRM Transmitter - Receiver

הערות:

- הפעולה $s_n \rightarrow e_n$ המסומנת בבלוק הראשון במשדר מתבצעת באופן הבא:
מפחיתים מוקטור הדיבור המקורי \underline{S} את אות ה-Leftover מהמסגרת הקודמת:

$$(4.4.10) \quad \underline{S}' = \underline{S} - \underline{L}$$

את האות המתקבל מעבירים דרך $A(z)$ עם זכרון מאופס לקבלת e_n . ניתן לפשט ולהעביר את \underline{S} ולא את \underline{S}' דרך $A(z)$ הפעם עם זכרון לא מאופס. אולם, במקרה זה אות השארית המתקבל אינו אות השארית הקיים במקלט.

- התהליך במקלט הוא:

* קבלת \underline{U} על ידי העברת \underline{Y} דרך $A(z/\gamma)$ (לפי (4.4.8)).

$$* \text{ העברת } \underline{U} \text{ דרך מסנן הסינטזה } \frac{1}{A(z)}$$

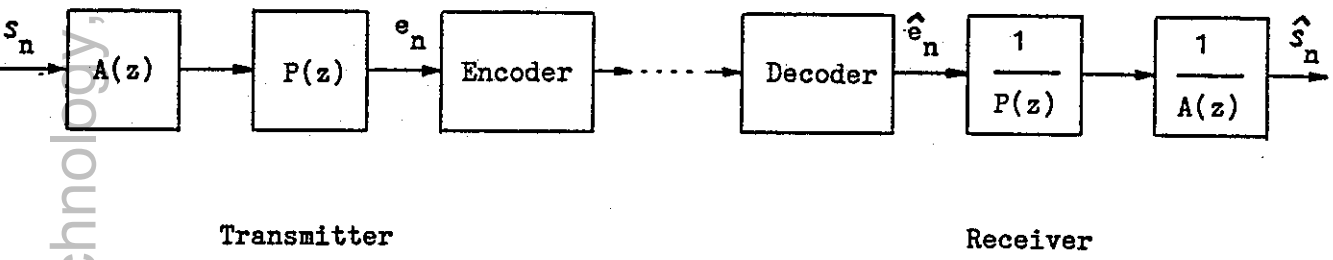
לסכמה זו קראנו: GMRM - Generalized Maximum Residual Magnitude, מכיוון שהיא מקרה כללי של סכמה שהוצעה בספרות [16], [17] ונקראה MRM, בה נבחרו פולסים גדולים בערך מוחלט באות השארית עצמו. MRM מתקבל מ-GMRM כאשר $\gamma = 0$.

אלגוריתם ה-GMRM הוא דוגמא לאלגוריתם לא איטרטיבי, פשוט, אך נמצא בסימולציות כבעל ביצועים גרועים. בסעיף הבא נבחן אלגוריתם לא איטרטיבי נוסף הפועל בתחום החדר והוא כבר נותן תוצאות טובות יותר.

4.5 מצאת אוסף \hat{v} אופטימאלי

לאחר שהצגנו אפשרויות שונות לבחירת \hat{v} שהובילו אותנו לפתרונות שונים נשאל את עצמנו מה יהיה \hat{v} אופטימאלי? כדי לדבר על אופטימאליות של \hat{v} נצטרך להניח הנחות סטטיסטיות על \underline{e} . זאת נוכל לעשות באופן הבא:

נוסיף לסכמה הכללית חזאי Pitch - $P(z)$:



ציור 4.6 הוספת חזאי pitch למערכת

Fig. 4.6 Incorporating a pitch predictor to the system

במקרה זה ניתן להניח שפונקציית צפיפות ההסתברות של דגמי e_n קרובה לגאוסית [11] ושהדגמים בלתי תלויים.

נניח לכן: $\underline{e} \sim N(0, G)$

כאשר G מטריצה אלכסונית בעלת אבר קבוע חיובי על האלכסון. נשתמש באותם סימונים בהם השתמשנו בסעיפים הקודמים אלא שהפעם הם יסמנו דברים שונים:

$$(4.5.1) \quad h'_n \xleftrightarrow{z} \frac{1}{P(z) A(z/\gamma)}$$

$$(4.5.2) \quad e_n \xleftrightarrow{z} S(z) A(z) P(z)$$

$$(4.5.3) \quad u_n \xleftrightarrow{z} U(z)$$

נבחרת Q קבועה ואינה נבחרת בתלות ב- e , נשאל מהו ה- Q האופטימאלי במקרה כזה.

השגיאה E_w תהיה כעת מ"א ונקבל:

$$(4.5.4) \quad E(E_w) = G(\text{trace}(R)) - G(\text{trace}(RQ(Q^T R Q)^{-1} Q^T R))$$

כש- $E(\)$ מסמן תוחלת.

נמצא איפוא Q כזה שעבורו הביטוי הבא יהיה מקסימאלי:

$$(4.5.5) \quad \begin{aligned} \Delta E &= \text{trace}(RQ(Q^T R Q)^{-1} Q^T R) = \\ &= \text{trace}((Q^T R Q)^{-1} (Q^T R^2 Q)) \end{aligned}$$

טענה 4.1 (נספח א'):

Q אופטימאלי הוא כל מטריצה מהצורה

$$(4.5.6) \quad Q = \hat{Q} A$$

כאשר \hat{Q} היא מטריצת הוקטורים העצמיים של R המתאימים ל- k הערכים העצמיים הגדולים

ביותר ו- A היא מטריצה $k \times k$ לא סינגולרית.

נחזור כעת לבעיה המקורית ונבחר את V להיות אוסף הוקטורים העצמיים של $R - \tilde{V}$.
 אם ל- R יש ערכים עצמיים שונים זה מזה אזי:

$$(4.5.7) \quad \tilde{V}^T R \tilde{V} = \Lambda$$

כאשר Λ אלכסונית ומכילה את הערכים עצמיים המתאימים.
 אם ל- R ערך עצמי מרובה אזי הוקטורים העצמיים השייכים לו בלתי תלויים וניתן להגיע על-ידי אורתוגונליזציה ל- Q אורתוגונלים כך ש-(4.5.7) עדיין יתקיים.
 [36].

לכל Q , תח מטריצה של \tilde{V} , נקבל:

$$(4.5.8) \quad Q^T R Q = \Lambda_Q$$

כאשר Λ_Q מטריצה אלכסונית המכילה על אלכסונה את הערכים העצמיים המתאימים לוקטורים העצמיים של R המרכיבים את Q .

נקבל כעת מתוך (4.2.21):

$$(4.5.9) \quad \underline{E}_w = \underline{e}^T R \underline{e} - (\underline{e}^T R Q) \Lambda_Q^{-1} (Q^T R \underline{e})$$

מכאן נקבל שהוקטורים שעלינו לבחור מ- \tilde{V} יהיו אלו בעלי אינדקסים המתאימים ל- k הערכים הגדולים בערך מוחלט בוקטור:

$$(4.5.10) \quad \underline{\alpha} = \Lambda^{-1/2} \tilde{V}^T R \underline{e} = \Lambda^{1/2} \tilde{V}^T \underline{e}$$

השוויון השני ב-(4.5.10) נובע מ- $\tilde{V}^T R = \tilde{V}^T \Lambda$ הנובע מ-(4.5.7).

כלומר, נוכל לבצע בחירה סימולטנית של הוקטורים להרכבת הערוך על-ידי חישוב הוקטורים העצמיים והערכים העצמיים של המטריצה R, חישוב הוקטור $\underline{\alpha}$ ובחירת האינדקסים המתאימים בו לערכים הגדולים ביותר בערך מוחלט.

מתוך (4.5.10) נובע שמה שמתבצע בעצם הוא פרוק K-L לאות השארית צבוע על ידי:

$$\frac{1}{A(z/\gamma)}$$

הערכים העצמיים הנמצאים על האלכסון של Λ שואפים אסימפטוטית לספקטרום ההספק של h'_n ולכן האלכסון של Λ שואף אסימפטוטית לספקטרום של h'_n .

פרוק K-L הוא כמובן מסובך מאד מבחינה חישובית ולכן נקרב אותו על ידי טרנספורם אחר שאינו הלוי באות כמו DFT או DCT. נקרב בעזרת DFT ונקבל:

$$(4.5.11) \quad \underline{\alpha} = \Lambda^{1/2} \tilde{\underline{F}} \underline{e}$$

כאשר $\tilde{\underline{F}}$ היא מטריצה פורייה.

עלינו למצוא אברים בעלי אמפליטודה מקסימלית ב- $\underline{\alpha}$. כלומר, למצוא אברים מקסימליים ב-

$$(4.5.12) \quad |\underline{\alpha}| = \Lambda^{1/2} |\tilde{\underline{F}} \underline{e}|$$

נראה כיצד ניתן להגיע ל- $|\underline{\alpha}|$:

$$(4.5.13) \quad |\tilde{\underline{F}} \underline{e}| = |\text{DFT}(\underline{e})| \iff |S(z)| |A(z)| |P(z)|$$

$$(4.5.14) \quad \Lambda^{1/2} = |\text{DFT}(h'_n)| \iff \left| \frac{1}{P(z)} \right| \left| \frac{1}{A(z/\gamma)} \right|$$

$$(4.5.15) \quad |\underline{a}| \iff \frac{|S(z)||A(z)|}{|A(z/\gamma)|}$$

הקירוב בעזרת DFT הוא בעצם בחירת V להיות \tilde{F}^* כאשר \tilde{F} היא מטריצה פוריה ו- \tilde{F}^* היא מטריצה Transpose Conjugate של \tilde{F} :

$$(4.5.16) \quad \tilde{F} = \begin{bmatrix} W^0 & W^0 & W^0 & \dots & W^0 \\ W^0 & W^{-1} & W^{-2} & \dots & \cdot \\ W^0 & W^{-2} & W^{-4} & \dots & \cdot \\ \cdot & \cdot & \cdot & \dots & \cdot \\ W^0 & \cdot & \cdot & \dots & W^{-1} \end{bmatrix} \quad W = e^{j2\pi/N}$$

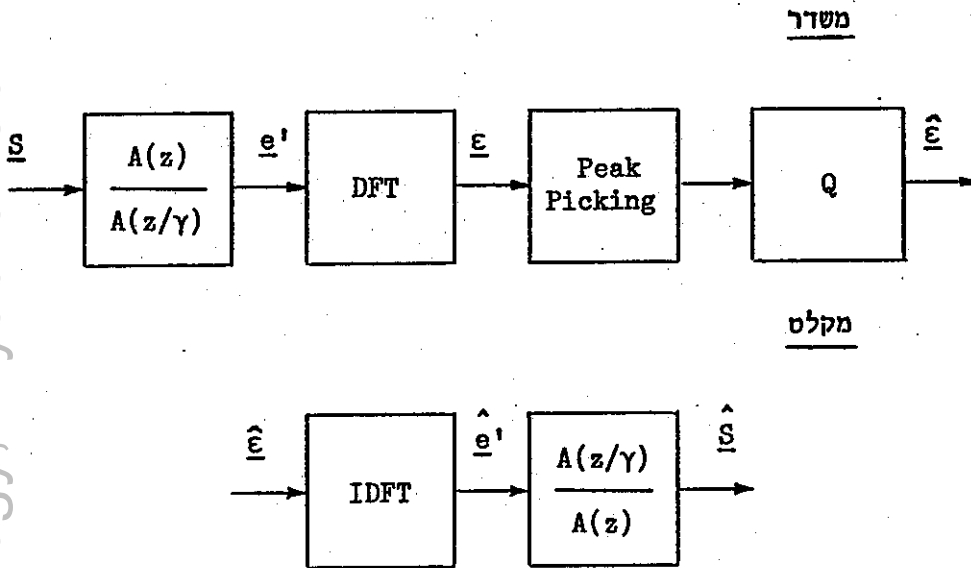
באופן אסימפטוטי הוקטורים העצמיים של המטריצה R שואפים לעמודות מטריצת פוריה אך מכיון ש- R סימטרית הערכים העצמיים שלה ממשיים ולכן גם עמודות \tilde{F}^* יהיו וקטורים עצמיים.

המטריצה Q תהיה איפוא תת מטריצה של \tilde{F}^* והמקדמים הכופלים יהיו:

$$(4.5.17) \quad \underline{x} = (Q^* R Q)^{-1} Q^* \underline{R} e \approx \\ \approx \Lambda^{-1} \Lambda Q^* \underline{e} = Q^* \underline{e}$$

פעולת $*$ - Transpose Conjugate מחליפה כאן את פעולת ה-Transpose מכיון שהגדלים מרוכבים.

מכיון ש- Q תת מטריצה מ- \tilde{F}^* נקבל שהמקדמים הכופלים הם האיברים הנבחרים מ- $DFT(\underline{e})$.



ציור 4.7 סכמת מסדר-מקלט - Residual DFT
 Fig. 4.7 Transmitter-Receiver Residual DFT

הערות:

- במסדר מחושב אות שארית הצבוע e עליו מבצעים DFT לקבלת ϵ :

$$(4.5.18) \quad |\epsilon| = |\alpha|$$

לכן ה-Peak Picking נעשה על $|\epsilon|$.

- למקלט משודרים $k/2$ ערכי $R_e(\epsilon)$ ו- $I_m(\epsilon)$ שה"כ k ערכים ממשיים (ההתמרה סימטרית לכן דרושים $k/2$ מקדמים מרוכבים).

- במקלט מבצעים התמרה הפוכה לקבלת \hat{e} - אות שארית צבוע משוחזר ואותו מעבירים

דרך המסנן:

$$\frac{A(z/\gamma)}{A(z)}$$

(ההעברה דרך $A(z/\gamma)$ דרושה מכיוון שהאמפליטודות של הוקטורים שוות לאברים הנבחרים מ-DFT(e') ולא (DFT(e')).

בסכמה המוצעת ניתן להחליף את ה-DFT ב-DCT [37] ונצפה לקבל תוצאות טובות יותר - ה-DCT זהה אסימפטוטית ל-KLT עבור תהליך מרקובי מסדר כלשהו [53]. בפרט עבור תהליך מרקובי מסדר I ה-DCT מתכנס מהר יותר ל-KLT לעומת ה-DFT [52]. התהליך במקרה שלנו איננו מרקובי מסדר I אולם המטריצה R המתקבלת קרובה למטריצת אוטוקורלציה המתקבלת בתהליך מרקובי מסדר ראשון.

השימוש ב-DCT יהיה גם נוח יותר מכיוון שכל הגדלים איתם נעסוק יהיו ממשיים ולא יהיה צורך בעבודה עם גדלים מרוכבים.

ערכי ה-SNR המתקבלים כאשר משתמשים ב-DCT מבטיחים, אולם מכחינה סוביקטיבית מופיעה בעיה שהופכת את ביצועי האלגוריתם ללא קבילים:

עקב הבחירה של מספר טונים בודדים בתדר והשתנות הבחירה ממסגרת למסגרת מופיעה תופעה של "צלצולים" באות המשוחזר.

נסיון להתגבר על בעיה זו נעשה באמצעות הקצאה דינמית של סיביות ליותר רכיבי תדר בדומה לקידוד ATC [2]. דיון מפורט בסכמה הזו יובא בפרק 6. בשלב זה נסתפק בהצגה עקרונית של המערכת.

Predictive Transform Coder (PTC) 4.6

כדי למנוע את תופעת ה"צלצולים" נחלק את הסיביות הנתונות לנו לצורך הקידוד באופן שיותר רכיבי תדר יקבלו הקצאה [51]. בהתאם למספר הסיביות שיקבל כל רכיב תדר תתבצע קוונטיזציה ולמקלט ישודרו - האינפורמציה על ההתמרה ואינפורמציה צד בעזרתה יחשב המקלט את הקצאת הסיביות. כפי שנראה במקרה שלנו אינפורמציה הצד תהיה מקדמי מסנן הסינטיזה עצמם וההקצאה תיעשה לפי מעטפת משוקללת של אות הדיבור. המוטיבציה לבצע את ההקצאה לפי מעטפת משוקללת של אות הדיבור נובעת מכך שבחירת השיאים בסכמה

שהוצעה בסעיף הקודם נעשית מתוך שאריות צבועה לפי $\frac{1}{A(z/\gamma)}$ לכן גם את ההקצאה נבצע

$$\frac{1}{A(z/\gamma)}$$

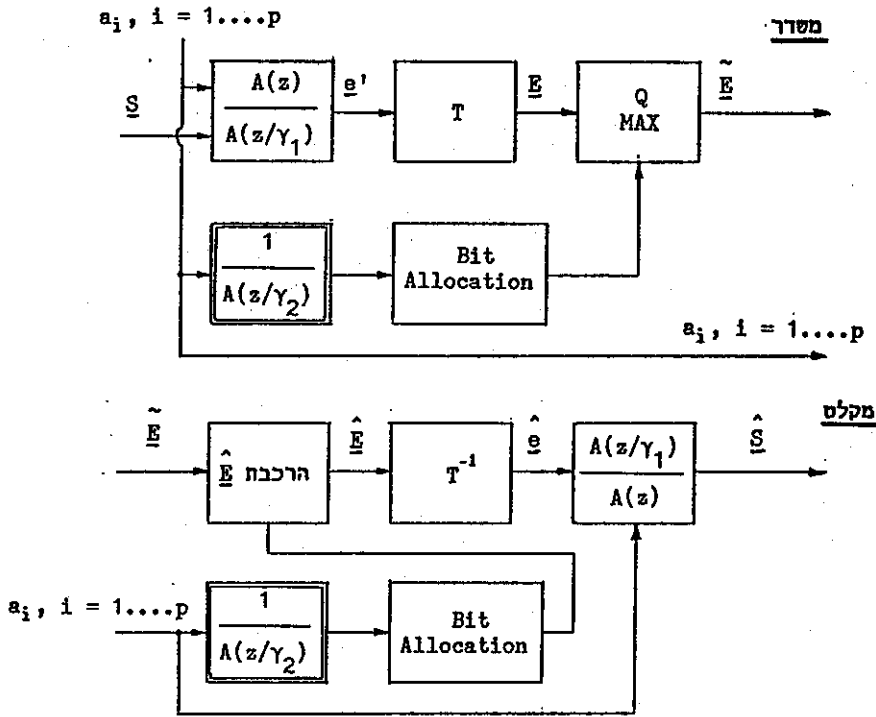
לפי מעטפת מהצורה

נשתמש כאן בשני ערכי γ :

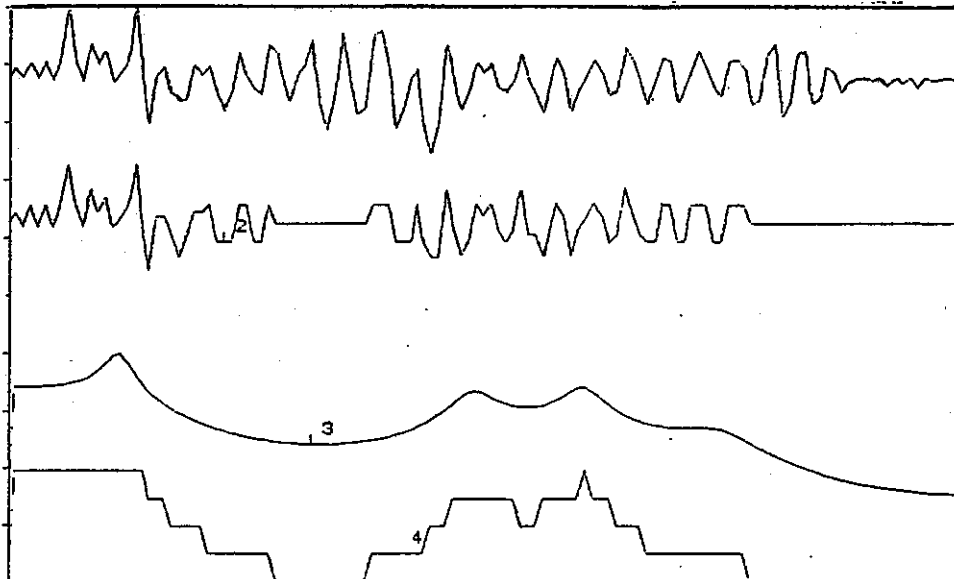
γ_1 - עבור צביעת אות השארית.

γ_2 - עבור מציאת המעטפת לצורך הקצאת הסיביות.

הסכמה המוצעת תהיה לכך:



צילור 4.8 PTC VOCODER - 4.8



- PLOT #1 : ORIGINAL DCT TRANSFORM
- PLOT #2 : RESTORED DCT TRANSFORM
- PLOT #3 : SPECTRAL ENVELOPE
- PLOT #4 : BIT ALLOCATION

צילור 4.9 - דוגמא להתמרה השארית והתמרה משוחזרת

Fig. 4.9 Example for Residual Transform and Reconstaucted Transform

הערות

- גם כאן אות השארית לא נמצא פשוט על-ידי העברה של \underline{S} דרך $A(z)$ אלא על-ידי חישוב ה-Leftover, הפחתתו מ- \underline{S} והעברה דרך $A(z)$ עם זכרון מאופס כפי שעשינו עבור האלגוריתם האיטרטיבי.

- T היא אחת הטרנספורמציות - DFT או DCT.

בעזרת מבחני האזנה נמצאו γ_1 ו- γ_2 , האופטימליים - מתקבל שיש לבחור $\gamma_1 = 0$ ו- $\gamma_2 = 1$, כלומר, אות השארית המותר לא עובר כלל צביעה והקצאת הסיביות נעשית לפי המעטפת המקורית של אות הדיבור ללא שיקלול היינו לפי $1/A(z)$.

בחירה זו של ערכי γ היא גם נוחה מכיון שהיא פשוטה - אין צורך לחשב את $\frac{1}{A(z/\gamma)}$ ולצבוע את אות השארית.

השימוש ב-DCT נותן תוצאות טובות יותר, אוביקטיביות וסוביקטיביות, לעומת השימוש ב-DFT. בציור 4.9 מובאים טרנספורמצית DCT של אות השארית המקורי והמשוחזר וכמו כן מעטפת האות המקורי והקצאת הסיביות המתקבלת על פיו. בפרק 6 נביא דיון מפורט יותר באלגוריתם ה-PTC נציג תוצאות סימולציה ונעריך את הסיבוכיות הכרוכה במימוש.

פרק 5: אלגוריתמים איטרטיביים לקידוד אות השארת

5.1 מבוא

כפי שראינו בפרק 4, הבחירה $V = I_N$ ושימוש באלגוריתם איטרטיבי מטיפוס (SFS) Sequential Forward Selection מובילים לפתרון איטרטיבי לא מסובך מדי למציאת קומבינציה הווקטורים. ראינו כמו כן כי בתלות בתחום הסכימה בחישוב המטריצה R ניתן להגיע לאנליזה "קווריאנס" או אנליזה "אוטוקורלציה" ומאנליזה ה"קווריאנס" הגענו גם לאלגוריתם ה-Multi-Pulse המקורי. בפרק זה נדון בצורות המימוש השונות לפתרון איטרטיבי, ונציג תוצאות והערכות סיבוכיות לצורות האנליזה השונות. לפני שנעשה זאת, נציג בסעיף הבא פישוט אפשרי למטריצה R, שיפור זה מקטין בהרבה את סיבוכיות הפתרון האיטרטיבי.

5.2 פישוט המטריצה R

לפי (4.2.13) האיבר הכללי ב-R מחושב על-ידי:

$$(5.2.1) \quad r_{ij} = \sum_n h'_{n-i} h'_{n-j} \quad 0 \leq i \leq N-1, \quad 0 \leq j \leq N-1$$

כאשר תחום הסכימה קובע את סוג האנליזה.

h'_n מתקבל על-ידי:

$$(5.2.2) \quad h'_n = h_n * w_n$$

כאשר:

h_n - תגובת מסנן הסינטזה.

w_n - תגובת המסנן המשקלל.

נקבל:

$$(5.2.3) \quad H'(z) = H(z)W(z) = \frac{1}{A(z)} \frac{A(z)}{A(z/\gamma)} = \frac{1}{A(z/\gamma)}$$

ומכאן:

$$(5.2.4) \quad h_n' = h_n \cdot \gamma^n$$

h_n היא תגובה מסנן יציב ולכן דועכת בזמן, $\gamma < 1$ ולכן h_n' דועך מהר יותר מ- h_n .
בציור 5.1 מושווה h_n אופייני ל- h_n' מתקבל כאשר $\gamma=0.8$.

על סמך הדעיכה של h_n' הבעיה תהיה פשוטה יותר אם נניח:

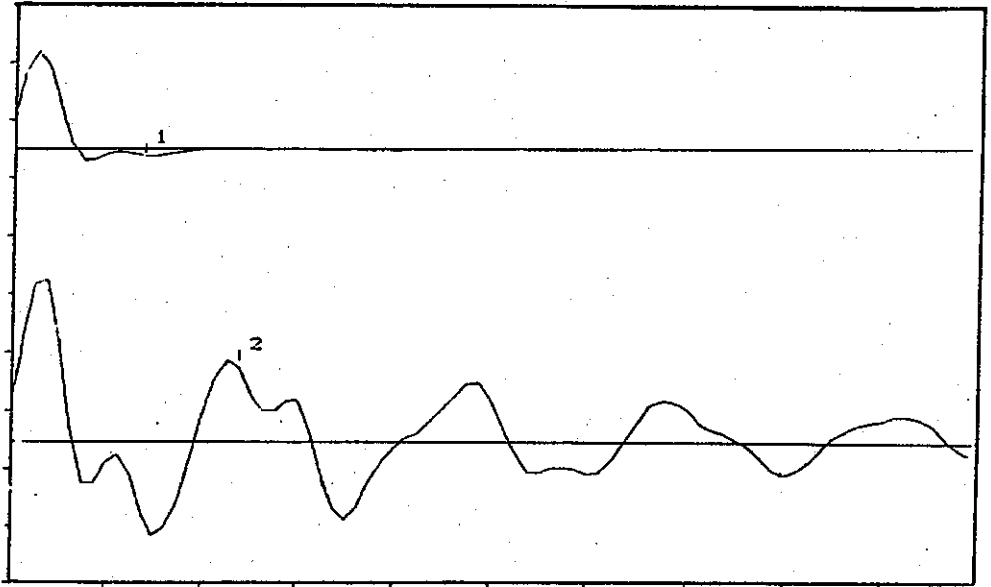
$$(5.2.5) \quad h_n' = 0 \quad \forall n \geq L, \quad L < N$$

כלומר, נניח שמנקודה מסוימת התגובה להלם h_n' מתאפסת.

מ-(5.2.1) ו-(5.2.5) נקבל:

$$(5.2.6) \quad r_{ij} = \begin{cases} \sum_n h'_{n-i} h'_{n-j} & |i-j| \leq L-1 \\ 0 & \text{אחרת} \end{cases}$$

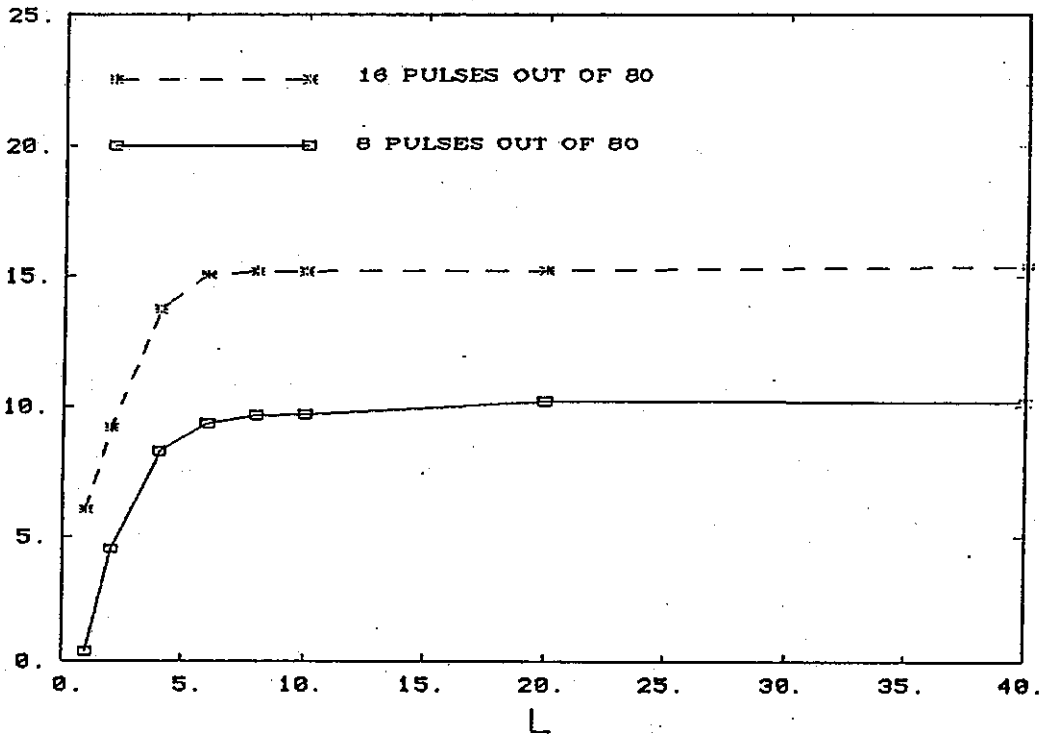
כלומר, R המתקבלת תהיה מטריצת פס ונקבל סיבוכיות חישוב ומקום קטנים יותר.
תוצאות סימולציות מראות כי מספיקים ערכי L נמוכים ($L=10$) עבור $\gamma=0.8$ כדי לקבל אותן תוצאות כפי שמתקבלות כש- R איננה מטריצת פס, בציור 5.2 מוצג ה-SNR המתקבל עבור ערכי L שונים בשני מקרים: כשנבחרים 8 וקטורים (פולסים) במסגרת של 80 וכשנבחרים 16 וקטורים (פולסים) באותו גודל מסגרת, כאמור, כל התוצאות הן עבור $\gamma=0.8$.



$1-h'_n$, $2-h_n$

ציור 5.1 h_n אופייני לעומת h'_n אופייני כאשר $\gamma=0.8$

Fig. 5.1 typical h_n vs. typical h'_n when $\gamma=0.8$



ציור 5.2 השפעת L על ה-SNR עבור $\gamma=0.8$

Fig. 5.2 SNR vs. L for $\gamma=0.8$

5.3 אנליזה קווריאנס

צורת האנליזה בסעיף זה היא שתוביל אותנו לבסוף לאלגוריתם ה-Multi-Pulse המקורי [13].

באנליזה קווריאנס הסכימה בחישוב R היא על פני N דגמים:

$$(5.3.1) \quad r_{ij} = \sum_{n=0}^{N-1} h'_{n-i} h'_{n-j} \quad 0 \leq i \leq N-1, \quad 0 \leq j \leq N-1$$

המטריצה R המתקבלת היא מטריצת אברי קווריאנס סימטרית (לא מטריצת Toeplitz). במקרה זה:

$$(5.3.2) \quad r_{ii} \neq r_{jj} \quad \text{for } i \neq j$$

האלגוריתם המתקבל:

נתונים:

- N - גודל מסגרת הדיבור
- P - סדר מסנן ה-LPC
- k - מספר הוקטורים (פולסים) למסגרת
- S - וקטור הדבור המקורי
- a - וקטור מקדמי מסנן ה-LPC, נתונים משלב של אנליזה LPC
- L - מספר הדגמים השונים מ-0 ב- h'_n .

1. חשב את h'_n , תגובת המסנן המשוקלל $\frac{1}{A(z/\gamma)}$.

2. חשב את מטריצת הקווריאנס R .

3. חשב את הוקטור $\underline{\psi}$: $\psi_i = \frac{1}{r_{ii}}$, $0 \leq i \leq N-1$.

4. חשב את: \underline{e}^0 , אות שארית ההתחלתי.

5. חשב את: $\underline{\alpha} = \text{Re}^0$ ומחוכו גם את $\hat{\underline{\alpha}}$: $\hat{\alpha}_i = \alpha_i^2$, $0 \leq i \leq N-1$.

6. חשב את: $\underline{\Delta E} = \text{diag}(1/r_{ii})\hat{\underline{\alpha}}$.

7. מצא איבר מקסימלי ב- $\underline{\Delta E}$, יהי אינדקסו 1.

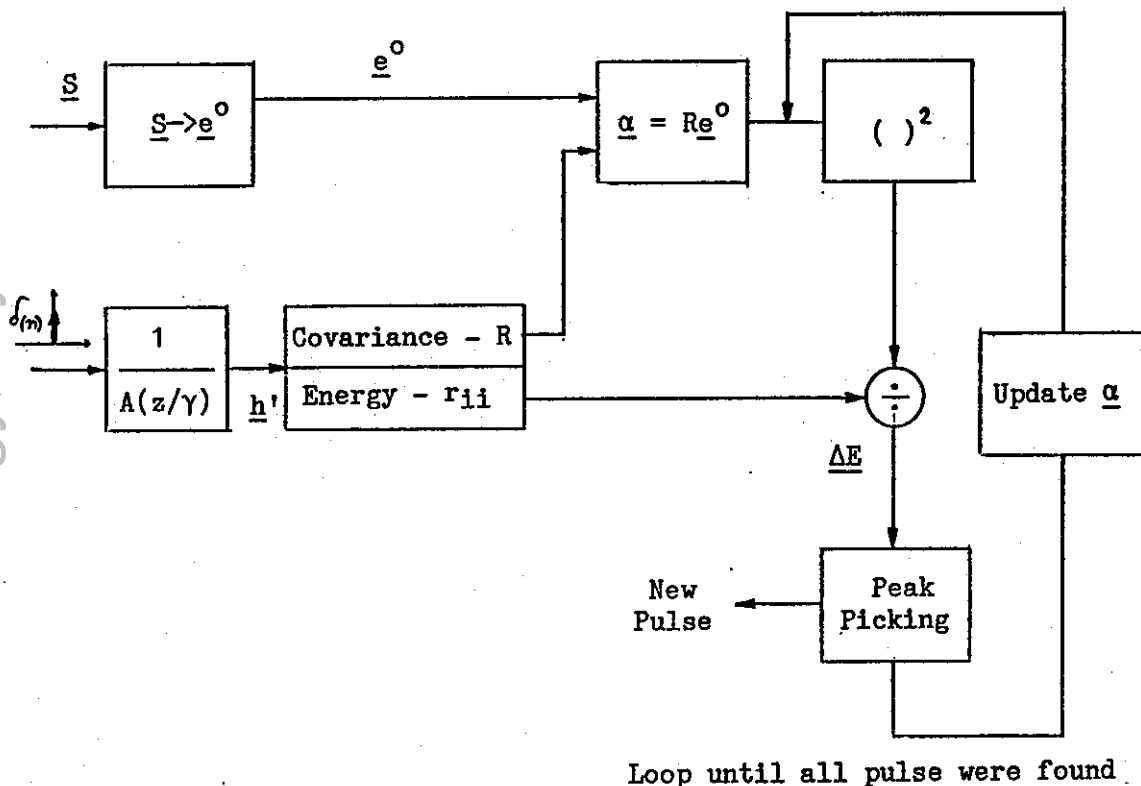
8. חשב את האמפליטודה המתאימה: $x_1 = \frac{\alpha_1}{r_{11}}$.

9. אם נמצאו k פולסים חשב את האות המשוחרר $\hat{\underline{S}}$ לצורך חישוב ה-Leftover במסגרת הבאה וסליים. אחרת:

10. עדכן את $\underline{\alpha}$: $\underline{\alpha} = \underline{\alpha} - x_1 R \underline{v}_1$, חשב את $\hat{\underline{\alpha}}$.

11. חזור ל-6.

בציור 5.3 מוצגת סכמת בלוקים של אלגוריתם I.



ציור 5.3 סכמת בלוקים - אנליזה "קווריאנט", אלגוריתם I

Fig. 5.3 Block scheme - Algorithm I, Covariance Analysis

סיבוכיות אלגוריתם I

בנספח ג' מובאות בצורה מפורטת המלצות למימוש האלגוריתם ומתוך המימוש מחושבת הסיבוכיות. בפרק זה נביא רק תוצאות סופיות לגבי כל האלגוריתמים שנציג.

הסיבוכיות המתקבלת באלגוריתם I היא:

$$O(P(L+1) + \frac{L(L+1)}{2} + N(2P+1) + 2NL + k(2N+6L) + NP) \quad \text{פעולות למסגרת:}$$

$$O(L) \quad \text{פעולות חילוק למסגרת:}$$

לדוגמא:

עבור גודל מסגרת $N=80$, סדר מסנן $P=10$ ו- $L=10$ נקבל:

$k=8$ (מספר הפולסים למסגרת):

$$6005 \text{ פעולות למסגרת שהם } 76 \text{ פעולות לדגם} \\ + \\ 10 \text{ פעולות חילוק למסגרת.}$$

$k=16$

$$7765 \text{ פעולות למסגרת שהם } 98 \text{ פעולות לדגם} \\ + \\ 10 \text{ פעולות חילוק למסגרת}$$

כאמור בנספח ג', הסיבוכיות הזאת היא רק עבור חישוב מקומות ואמפליטודות הפולסים ללא חישוב מקדמי ה-LPC.

סימולציה לאלגוריתם I

הסימולציות שיובאו להלן ובהמשך העבודה נערכו על 3 משפטים שונים באנגלית שנאמרו כל אחד על-ידי גבר וע"י אשה (סה"כ 6 משפטים נבדקים). סדר מודל ה-LPC נלקח תמיד להיות $P=10$ ושיטת האנליזה לחישוב מקדמי ה-LPC היא שיטת האוטוקורלציה. נערכו גם

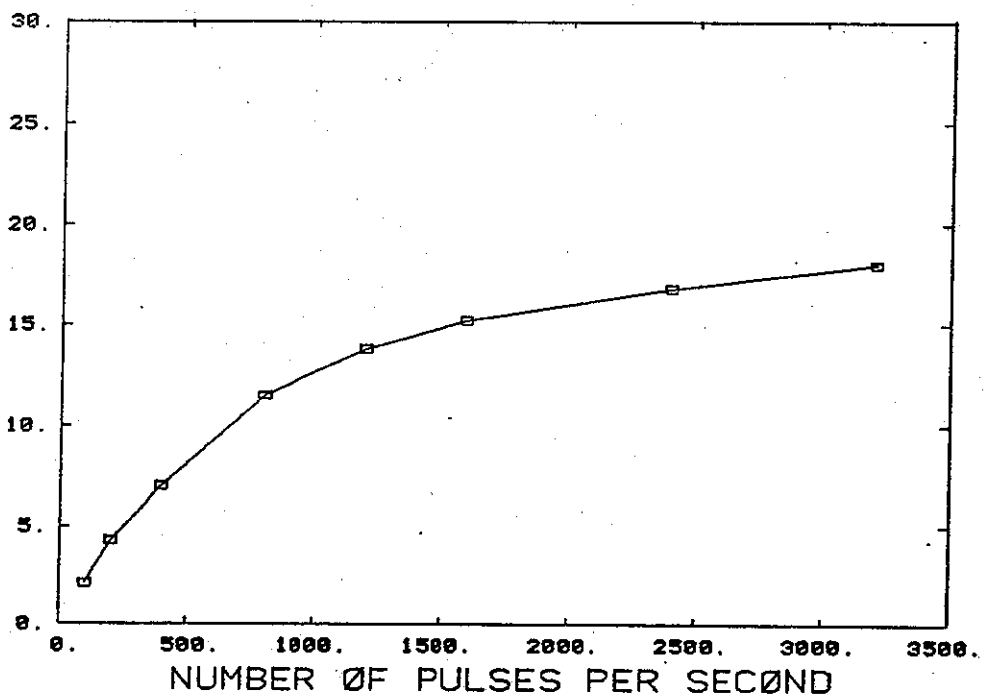
סימולציות כאשר האנליזה נעשתה בשיטת ה-Stabilized Covariance [12] והתוצאות המתקבלות דומות.

תדר הדגימה הוא 8 KHz, רוחב מלת דגימה - 12 bit, סינון מוקדם - 200-3200 Hz.

בציור 5.4 מתואר ה-SNR המתקבל כפונקציה של מספר הפולסים בערוץ, גודל מסגרת האנליזה באלגוריתם היה 80 דגימות, גודל צעד עדכון מקדמי ה-LPC - 160 דגימות, $L=10$ ו- $\gamma=0.8$, קוונטיזציה מקדמי המסנן נעשית לפי הסכמה של LPC-10 (נספח ב'). בנוסף לבדיקות האובייקטיביות נערכו גם מבחני השמעה והתקבל שדי בכ-800 פולסים לשניה בכדי לקבל איכות דיבור טובה.

האלגוריתם האחרון סובל מכמה חסרונות:

1. נדרשות L פעולות חילוק למסגרת.
2. עבור L גדול נקבל סיבוכיות גבוהה במקום.
3. בגלל המבנה המורכב של R ו- ψ יש צורך במבנה נתונים וניהול מבנה נתונים לא פשוטים, אלא אם כן מוכנים להקצות הרבה מקום להחזקת R ו- ψ באופן מלא.



ציור 5.4 ה-SNR המתקבל באלגוריתם I כפונקציה של מספר הפולסים

Fig. 5.4 SNR vs, Number of Pulses, algorithm I

$\underline{\tilde{S}}^j$ הוא וקטור המתקבל על-ידי העברת וקטור השארית e_j דרך מסנן הסינטזה המשוקלל בעל התגובה להלם h'_n .

לכן, עבור $\underline{\tilde{S}}^j, j=0$ יהיה אות הדיבור משוקלל ללא התחשבות בזכרון מסנן הסינטזה:

$$(5.3.7) \quad \underline{\tilde{S}} = Fe^0 = (\underline{S} - \underline{L})_w$$

כאשר:

- \underline{S} - וקטור אות הדיבור המקורי
- \underline{L} - וקטור האות הנוצר כתוצאה מזכרון המסנן (leftover)
- $(\)_w$ - שקלול באמצעות המסנן $\frac{A(z)}{A(z/\gamma)}$.

הוקטור $\underline{\alpha}$ מהווה איפוא וקטור של מקדמי Crosscorrelation בין התגובה המשוקללת h'_n ואות הדיבור המשוקלל לאחר הפחתת השפעת זכרון המסנן - $\underline{\tilde{S}}$.

האלגוריתם המתקבל:

נתונים:

- N - גודל מסגרת דיבור,
- P - סדר מסנן ה-LPC,
- k - מספר הוקטורים (פולסים) למסגרת,
- \underline{S} - וקטור הדבור המקורי,
- \underline{a} - וקטור מקדמי ה-LPC, נתונים משלב אנליזה ה-LPC,
- L - מספר האברים השונים מ-0 ב- h'_n .

אלגוריתם II

1. חשב את h'_n - תגובת המסנן המשוקלל $\frac{1}{A(z/\gamma)}$

2. חשב את \tilde{S}

3. חשב את $\underline{\alpha}$ לפי $\underline{\alpha} = F^T \tilde{S}$, ומתוכו את $\hat{\underline{\alpha}}$: $\hat{\alpha}_i = \alpha_i^2$, $0 \leq i \leq N-1$

4. חשב את $\underline{\psi}$ - $\psi_i = \frac{1}{r_{ii}}$, $i=0 \dots N-1$

5. חשב את $\underline{\Delta E} = \text{diag}(1/r_{ii}) \hat{\underline{\alpha}}$

6. מצא את האבר המקסימלי ב- $\underline{\Delta E}$, יהי אינדקסו 1.

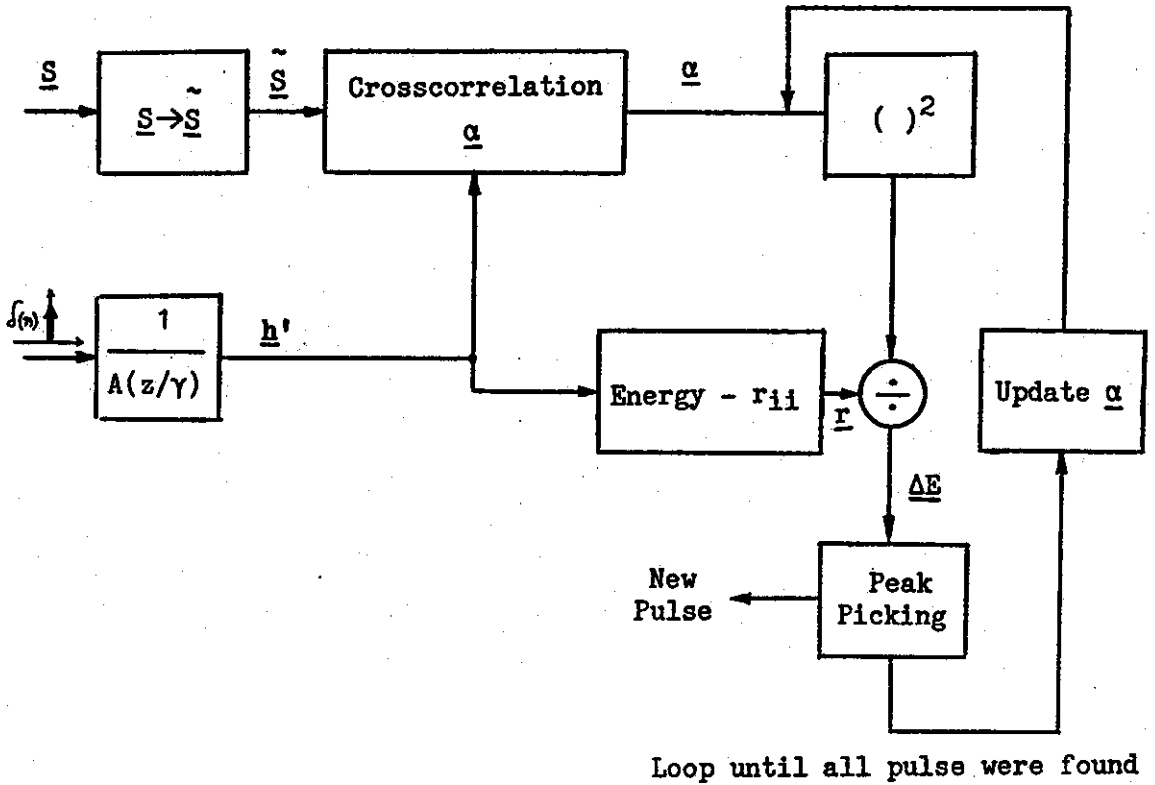
7. חשב את האמפליטודה $x_1 = \frac{\alpha_1}{r_{11}}$

8. אם נמצאו k וקטורים חשב את האות המשוחזר \hat{S} לצורך חישוב ה-leftover במסגרת הבאה וסלים, אחרת:

9. עדכן את $\underline{\alpha}$ לפי $\underline{\alpha} = \underline{\alpha} - x_1 R v_1$, חשב את $\hat{\underline{\alpha}}$

10. חזור ל-5.

בציור 5.5 מובאת סכמת בלוקים של המערכת.



II ציור 5.5 סכמת בלוקים - אלגוריתם

Fig. 5.5 Algorithm II - Block scheme

סיבוכיות אלגוריתם II

הסיבוכיות המתקבלת היא:

$$O(P(L+1) + N(4P+1) + N(L+1) + 2L + k(2N+6L+L^2))$$

פעולות למסגרת:

$O(L)$

פעולות חילוק למסגרת:

לדוגמא:

עבור: $N=80$, $P=10$, $L=10$ נקבל:

: $k = 8$

6850 פעולות למסגרת שהן 86 פעולות לדגם, לעומת 76 באלגוריתם I.

10 פעולות חילוק למסגרת.

: $k = 16$

9410 פעולות למסגרת שהן 118 פעולות לדגם, לעומת 98 באלגוריתם I.

10 פעולות חילוק למסגרת.

הערה: גדלי המסגרת בדוגמאות - 160 דגימות במסגרת עדכון LPC ו-80 דגימות במסגרת

עבודה באלגוריתם הם גדלים אופייניים למערכת שתהיה מבוססת על אלגוריתם

איטרטיבי. בחירה של $k=8$ מתאים לתחום הקצבים - 9.6 Kbps ו- $k=16$ מתאים

לתחום הקצבים - 16 Kbps.

כאמור, גם עבור בחירה של 8 פולסים במסגרת של 80, שנותנים בסך הכל 800

פולסים לשניה, מקבלים איכות דיבור טובה. ירידה מתחת למספר זה נותנת

אותותיה באיכות. בחירת 16 פולסים במסגרת של 80 דגימות נותנת איכות

מצוינת והאות המשוחזר כמעט "שקוף" ביחס לאות המקורי.

במקרה זה המטריצה R המתקבלת תהיה מטריצת אוטוקורלציה, Toeplitz, סימטרית, חיובית מוגדרת ומספיק כמוכן לחשב רק שורה אחת שלה. כלומר, את N מקדמי האוטוקורלציה r_k $0 \leq k \leq N-1$.

$$(5.4.1) \quad r_{|i-j|} = r_{ij} = \sum_{n=-\infty}^{\infty} h'_n h'_{n-|i-j|}$$

האלגוריתם המתקבל פשוט מכיון שבמטריצה R:

$$(5.4.2) \quad r_{ii} = r_0 \quad 0 \leq i \leq N-1$$

כלומר, r_{ii} קבוע ולכן ניתן לבצע את בחירת האבר המקסימאלי על הערכים המוחלטים של הוקטור \underline{a} .

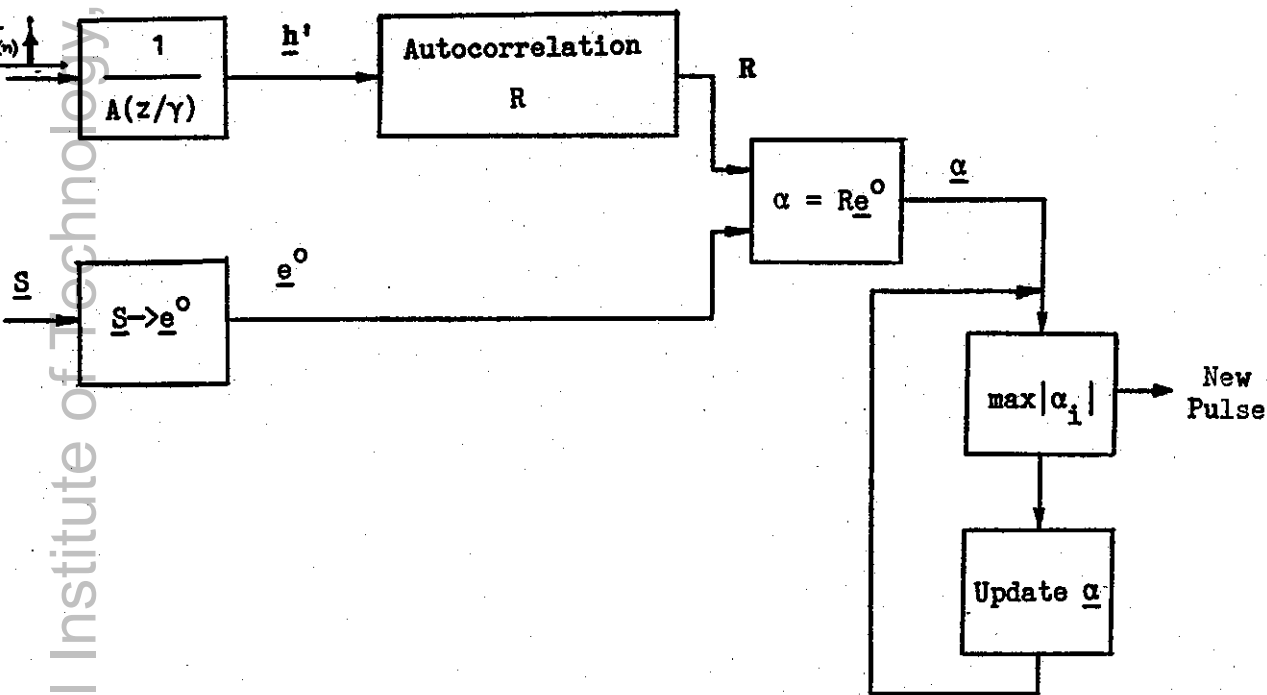
כמו-כן, לאור ההנחה ש- $h'_n=0$ עבור $n \geq L$ נקבל מ- (5.4.1):

$$(5.4.3) \quad r_k = \sum_{n=k}^{L-1} h'_n h'_{n-k}$$

נציג את האלגוריתם המתקבל, סכמת הבלוקים שלו מוצגת בציור 5.6.

נתונים:

- N - גודל מסגרת הדיבור s ,
- P - סדר המסנן,
- k - מספר הוקטורים (פולטים) הרצויים למסגרת,
- S - וקטור הדבור המקורי,
- a - וקטור מקדמי ה-LPC, נתון משלב אנליזת ה-LPC,
- L - מספר הדגמים השונים מ-0 ב- h'_n .



Loop until all pulse were found

ציור 5.6 - טכנת בלוקים, אנליזת 'אוטוקורלציה' - אלגוריתם III

Fig. 5.6 - Block scheme - Algorithm III

האלגוריתם

1. חשב את h'_n - תגובת המסנן המשוקלל $\frac{1}{A(z/\gamma)}$

2. חשב את R - מטריצת האוטוקורלציה של h'_n .

3. חשב את $1/r_0$.

4. חשב את e^0 .

5. חשב את $\underline{\alpha} = Re^0$

6. מצא איבר מקסימאלי בערך מוחלט ב- $\underline{\alpha}$, יהי אינדקסו 1.

7. חשב את האמפליטודה $x_1 = \frac{\alpha_1}{r_0}$

8. אם נמצאו k פולסים חשב את האות המשוחרר \hat{S} לצורך חישוב ה-leftover במסגרת הבאה וסלים. אחרת:

9. עדכן את $\underline{\alpha}$: $\underline{\alpha} = \underline{\alpha} - x_1 R v_1$

10. חזור ל-6.

סיבוכיות אלגוריתם III

$$O(P(L+1) + \frac{(L+1)L}{2} + (2P+1)N + N(2L-1) + k(2N+3L) + NP) \quad \text{פעולות למסגרת:}$$

פעולות חילוק יחידה למסגרת.

לדוגמא:

עבור: $L=10, P=10, N=80$ לקבל:
 $k=8$

5685 פעולות למסגרת שהן 71 פעולות לדגם לעומת 76 באלגוריתם I.

פעולת חילוק אחת למסגרת לעומת 10 באלגוריתם I.

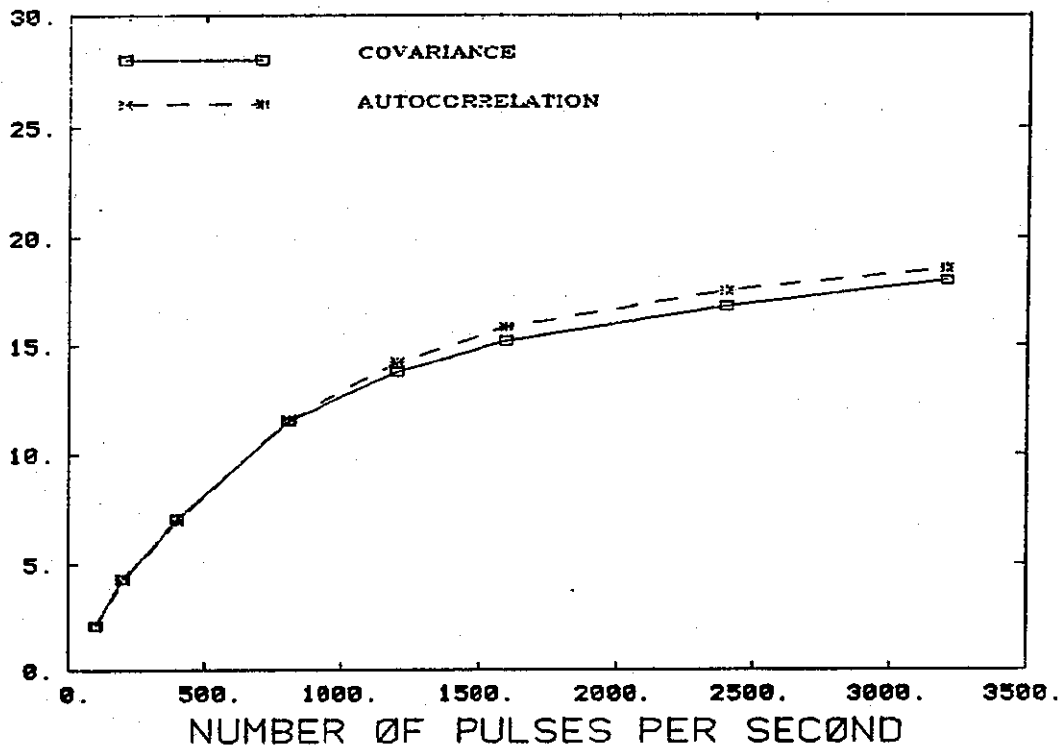
$k=16$

7205 פעולות למסגרת שהן 90 פעולות לדגם לעומת 98 באלגוריתם I.

פעולת חילוק אחת למסגרת לעומת 10 באלגוריתם I.

סימולציה לאלגוריתם III

ערכנו סימולציה באותם תנאים בהם נעשתה סימולציה לאנליזה ה"קווריאנס" והתוצאות כמעט זהות, גם במבחני השמעה כמעט ולא מורגש הבדל בין סוגי האנליזה השונים. בציור 5.7 מובאים ערכי ה-SNR המתקבלים בשתי השיטות בתנאי הסימולציה שצויינו כשדנו באנליזת קווריאנס.



ציור SNR 5.7 מתקבל באלגוריתם I ו-III כפונקציה של מספר הפולסים

Fig. 5.7 SNR in Algorithms I & III vs. Number of Pulses

5.5 המלצות למימוש המערכת

כפי שראינו בניתוח צורות האלגוריתם השונות האיכות המתקבלת זהה עבור אנליזת "קווריאנט" ואנליזת "אוטוקורלציה" בעוד שהסיבוכיות באנליזת "אוטוקורלציה" נמוכה יותר. בבואנו להציע איפוא מערכת המבוססת על אלגוריתם איטרטיבי נבחר באנליזת "אוטוקורלציה" עם $\gamma=0.8$ ו- $L=10$, זהו ערך מספיק כפי שניתן לראות מציור 5.2.

כפי שראינו בפרק הקודם ניתן להשיג שיפור באיכות אם נבצע אופטימיזציה אמפליטודות. מבחני שמיעה הראו שדי להסתפק באופטימיזציה יחידה בסוף כל מסגרת כדי להשיג שיפור מורגש באיכות, מה עוד שהסיבוכיות הכרוכה באופטימיזציה לאחר כל איטרציה תהיה גבוהה יותר.

הסיבוכיות הכרוכה באופטימיזציה אמפליטודות

בסעיף (4.3.1) ראינו כי האופטימיזציה כרוכה בפתרון מערכת משוואות לינארית

$$(5.5.1) \quad R'x = \underline{\alpha}'$$

כאשר המטריצה R' והוקטור $\underline{\alpha}'$ מתקבלים על-ידי בחירת אברים מתוך המטריצה R והוקטור \underline{Re} בהתאמה. את פתרון המערכת עצמה ניתן לעשות בעזרת Cholesky Decomposition. נקבל איפוא:

- עבור אופטימיזציה בודדת בסוף כל מסגרת - תוספת סיבוכיות מסדר של $O(k^3)$ פעולות למסגרת.

- עבור אופטימיזציה לאחר כל איטרציה נקבל תוספת סיבוכיות:

$$O(2^3+3^3+4^3+\dots+k^3) = O\left(\frac{k^2(k+1)^2}{4}\right)$$

כלומר, עבור 8 פולסים למסגרת ($k=8$) נקבל תוספת סיבוכיות של כ-512 פעולות למסגרת אם נבצע אופטימיזציה יחידה בסוף המסגרת, ו-1300 פעולות למסגרת אם נבצע אופטימיזציה אחרי כל איטרציה.
עבור 16 פולסים למסגרת ($k=16$) נקבל תוספת סיבוכיות של כ-4096 פעולות למסגרת אם נבצע אופטימיזציה יחידה בסוף המסגרת, וכ-18,500 פעולות למסגרת אם נבצע אופטימיזציה אחרי כל איטרציה.

גדלי מסגרות

שאלה נוספת שעלינו לשאול בבואנו לבחור פרמטרים למערכת היא באיזה גודל מסגרת להשתמש?

בחירת מסגרת קטנה תקטין את הסיבוכיות אך נצפה לקבל פגיעה באיכות.

כדי לבחון את השפעת גודל המסגרת בוצעו סימולציות עם גדלי מסגרות שונים:

נתוני המערכת הם: סדר מסנן LPC - $P=10$, $L=10$, $\gamma=0.8$, נבחרים 800 או 1600 פולסים לשניה, מתבצעת אופטימיזציה יחידה בסוף כל מסגרת ומבוצעת קוונטיזציה למקדמי ה-LPC.

בטבלה 5.1 מוצגות תוצאות ה-SNRSEG (Segmented SNR) כאשר גודל אינטרוול עדכון מקדמי ה-LPC הוא 160 דגמים וגודל המסגרת עליו מופעל האלגוריתם הוא: 10, 20, 40, 80, 160.

בטבלה 5.2 מוצגות תוצאות ה-SNRSEG כאשר גודל אינטרוול עדכון מקדמי ה-LPC הוא 240 דגמים וגודל המסגרת עליו מופעל האלגוריתם הוא: 10, 20, 40, 80, 120, 240. בכל מקרה גודל המסגרת עליה מחושבים מקדמי האוטוקורלציה באנליזת ה-LPC הוא 256. כפי שניתן לראות מהתוצאות מקבלים פגיעה אובייקטיבית בביצועים כשיררדים מתחת לגודל מסגרת של 40 דגמים, בפגיעה זו מבחינים היטב בבדיקות שמיעה.

SNRSEG [dB] 1600 פולסים לשניה	SNRSEG [dB] 800 פולסים לשניה	גודל מסגרת בסיסי
15.5	10.2	10
16.3	11.1	20
16.5	11.5	40
16.3	11.6	80
15.8	11.6	160

טבלה 5.1 - SNRSEG כפונקציה של גודל המסגרת באלגוריתם, M=160

Table 5.1 - SNRSEG obtained for different frame sizes, M=160

SNRSEG [dB] 1600 פולסים לשניה	SNRSEG [dB] 800 פולסים לשניה	גודל מסגרת בסיסי
15.3	10.2	10
16.1	11.1	20
16.4	11.5	40
16.3	11.6	80
16.2	11.6	120
16.2	11.6	240

טבלה 5.2 - SNRSEG כפונקציה של גודל המסגרת באלגוריתם, M=240

Table 5.2 - SNRSEG obtained for different frame sizes, M=240

סיבוכיות המקלט

המקלט במערכת זו פשוט מאד מכיון שלצורך קבלת האות המשוחרר יש להעביר את ערוץ ה-Multi-Pulse דרך מסנן הסינטיזה: $O(NP)$ פעולות. כלומר, עבור מסנן LPC מסדר 10 נקבל שיש צורך ב- $O(10)$ פעולות לדגם לבצוע סינטיזה אם נשתמש במימוש ישיר.

קידוד את הערוך

האינפורמציה שיש לשדר על את הערוך מורכבת מ-

- (i) אינדקסי הוקטורים שנבחרו (מיקום הפולסים במסגרת).
- (ii) המקדמים הכופלים את הוקטורים (אמפליטודות הפולסים).

נראה כיצד נקודד אינפורמציה זו:

(i) השיטה ה"קלאסית" לקידוד מיקום הפולסים היא לשדר את המקום הראשון ואח"כ לשדר הפרשים בין המקומות. וזאת השיטה בה נקטנו לצורך חישוב הקצבים. עבור צפיפות פולסים של כ-8 מתוך 80 מספיקות 5 סיביות לקידוד כל מקום, כדי לא לאפשר חריגה מעבר למרחק של 32 דגמים בין כל שני פולסים ניתן להכניס הגבלה תוך כדי שלב חיפוש הפולסים.

עבור צפיפות של כ-16 פולסים במסגרת של 80 דגמים ניתן להסתפק ב-4 סיביות לפולס לצורך קידוד המקום.

שיטה אחרת שהוצעה בספרות [18] - קידוד קומבינטורי: כל קומבינציה פולסים מיוצגת ע"י וקטור מאורך N , וקטורים אלה מסודרים בסדר לקסיקוגרפי ומשודר האינדקס המתאים לוקטור המיקומים שנבחר. ב-[18] מוצעת שיטה פשוטה למציאת האינדקס המשודר ללא צורך בהחזקת מילון גדול או חיפוש מייגע. החסרון של שיטה קידוד זאת הוא בחסינות נמוכה לרעש.

(ii) הצורה בה בחרנו לקודד את אמפליטודות הפולסים מבוססת על שיטה שהוצעה ב-[25]:

- (1) נרמל את כל הפולסים לפי הגדול ביותר, פקטור הנרמול נקרא -
SF - Scale Factor

(2) עובר קוונטיזציה ל-6 סיביות לאחד הערכים המתקבלים מ-

$$SF = (ILINER + 8) \times \binom{IRANGE}{2}$$

כאשר: $0 \leq ILINER \leq 7$ 3 bit ←

$0 \leq IRANGE \leq 7$ 3 bit ←

6 bit

בצורה זו SF עובר קוונטיזציה "לוגריתמית".

כלומר, SF מקודד לאחד מ-64 ערכים. הקידוד והפענוח נעשים באמצעות טבלה.

(3) הפולסים המנורמלים עוברים כימוי ל-4 סיביות כל אחד: סימן + 8 רמות קוונטיזציה.

סיכום

בטבלה 5.3 מופיעים אינטרוולי עדכון מקדמי LPC, גדלי מסגרות, סיבוכיות ו-SNRSEG מתקבל עבור צורות שונות למימוש מערכת בתחום הקצבים 8 Kbp ÷ 9.6 Kbps.

SNRSEG [dB]	קצב [bps]	סיבוכיות [פעולות]	פולסים למסגרת	מסגרת	אינטרוול עדכון
				Multi-Pulse	LPC
10.8	8950	93	7	80	160
9.6	8650	83	3	40	160
11.2	9556	99	9	90	180
10.7	9289	84	4	45	180
11.5	9320	101	10	100	200
10	8360	81	4	50	200
11.6	9167	91	8	80	240
9.5	7967	77	3	40	240

טבלה 5.3 סיכום תוצאות עבור תחום הקצבים 8 Kbp ÷ 9.6 Kbps

Table 5.3 Results for 8 ÷ 9.6 Kbps

הערות:

- סיבוכיות חישוב מקדמי ה-LPC למסגרת באלגוריתם היא:

$$O\left(\frac{N}{M}(m(P+2)+P^2)\right) \text{ כאשר:}$$

III - הוא אורך הבלוק עליו מחושבים מקדמי אוטוקורלציה באנליזת ה-LPC.

M - הוא אינטרוול העדכון של מקדמי ה-LPC.

N - הוא גודל מסגרת באלגוריתם, $M=cN$, כאשר c מספר שלם.

- הסיבוכיות הנתונה בטבלה כוללת את חישוב מקדמי ה-LPC.

- חישוב הסיבוכיות הנתון בטבלה 5.3 הוא ב-"פעולות לדגם" והוא עבור מערכת בעלת

מסנן LPC מסדר 10 ($P=10$) מקדמי המסנן מחושבים בשיטת האוטוקורלציה. אלגוריתם

ה-Multi-Pulse הוא מהסוג של אנליזת "אוטוקורלציה", $L=10$, מקדם השקלול -

$\gamma=0.8$. מתבצעת אופטימיזצית יחידה בסוף כל מסגרת.

יש לזכור שבנוסף לפעולות הרגילות הנתונות בסיבוכיות לעיל יש לבצע פעולת חילוק

יחידה עבור כל מסגרת, אולם, פעולה זו זניחה יחסית למספר הפעולות הדרוש לדגם.

בטבלה 5.4 מופיעים גדלי מסגרות, סיבוכיות, ו-SNRSEG מתקבל עבור צורות שונות למימוש מערכת בתחום הקצבים 16 Kbps.

SNRSEG [db]	קצב	סיבוכיות	פולסים למסגרת	מסגרת	אינטרוול עדכון
	[bps]	[פעולות]		Multi-Pulse	LPC
16.3	15450	161	16	80	160
15.5	14450	102	7	40	160
16.6	15867	190	19	90	180
16.4	15689	112	9	45	180
16.4	15560	209	21	100	200
16.5	15400	116	10	50	200
16.7	15567	167	17	80	240
16.4	15367	102	8	40	240

טבלה 5.4 סיכום תוצאות עבור תחום הקצבים 16 Kbps

Table 5.4 Results for the 16 Kbps range

5.5.1 מערכת מומלצת

כדי לשמור על סיבוכיות נמוכה, איכות טובה וכדי להתקרב לקצבי השידור 9.6 Kbps ו-16 Kbps מומלצת המערכת הבאה:

- $m = 256$ - גודל הבלוק עליו מחושבים מקדמי אוטוקורלציה באנליזת ה-LPC.
 - $M = 180$ - אינטרוול עדכון מקדמי ה-LPC.
 - $N = 45$ - גודל המסגרת באלגוריתם, כל 4 מסגרות כאלה מעודכנים מקדמי ה-LPC.
 - $P = 10$ - סדר מסנן.
 - $\gamma = 0.8$ - מקדם השקלול.
 - $L = 10$ - מספר האברים השונים מ-0 ב- h'_n .
 - מספר הפולסים הנבחר: $k = 4$ לקצב שידור 9.6 Kbps
 - $k = 9$ לקצב שידור 16 Kbps
- בטבלה 5.5 מסוכמים ביצועי המערכת.

קצב [bps]	סיביות שנותרות להגנה וסנכרון	SNR [dB]	SNRSEG [dB]	פעולות לדגם מסדר	פעולות לדגם מקלט
9600	311	9.6	10.7	84	10
16000	311	15.6	16.4	112	10

טבלה 5.5 תוצאות מערכת מומלצת

Table 5.5 Results for recommended system

במערכת זו נשתמש גם בפרק 7 להערכת ביצוע האלגוריתם האיטרטיבי מבחינת Tandeming, חסינות לרעש רקע, רעש ערוץ, העברת אותות Voice Band Data (VBD) והשוואה ל-PCM.

6.1 מבוא

כפי שראינו בפרק 4 ניתן למצוא פתרונות לא איטרטיביים לבעיית הפרוק הוקטורי (פתרונות לא בהכרח אופטימליים).

בפרק זה נבחן ביצועי שניים מאלגוריתמים אלה: ה-GMRM שמבוסס על בחירת שיאים באות השארית וה-PTC (Predictive Transform Coder) שמבוסס על הקצאה דינאמית של סיביות בתחום התדר.

6.2 אלגוריתם ה-GMRM

הדיון באלגוריתם זה יהיה קצר מכיוון שביצעו גרועים גם ללא קוונטיזציה של אינפורמציה הצד.

המערכת עצמה הוצגה בסעיף 4.4.1 והיא מבוססת על בחירת שיאים באות השארית המשוקלל בתדר (צבוע). האלגוריתם הוא הכללה של אלגוריתם ה-MRM [17] שבו נבחרו שיאים מאות השארית ללא "צביעה" כלומר $\gamma = 0.0$, כאשר γ קובע את מידת הצביעה על-ידי המסנן $1/A(z/\gamma)$.

בטבלה 6.1 מסוכמים ערכי ה-SNR המתקבלים עבור ערכי γ שונים עבור הפרמטרים הבאים: אינטרוול עדכון מקדמי LPC - 180 דגמים, מסגרת של 45 דגמים ו-9 שיאים הנבחרים למסגרת.

SNRSEG [dB]	SNR [dB]	γ
7.3	7.7	0.0
8.3	8.5	0.2
7.6	7.7	0.4
7.3	7.7	0.6
7.2	7.6	0.8
4.3	4.6	1.0

טבלה 6.1 - השתנות ה-SNR בתלות ב- γ באלגוריתם GMRM

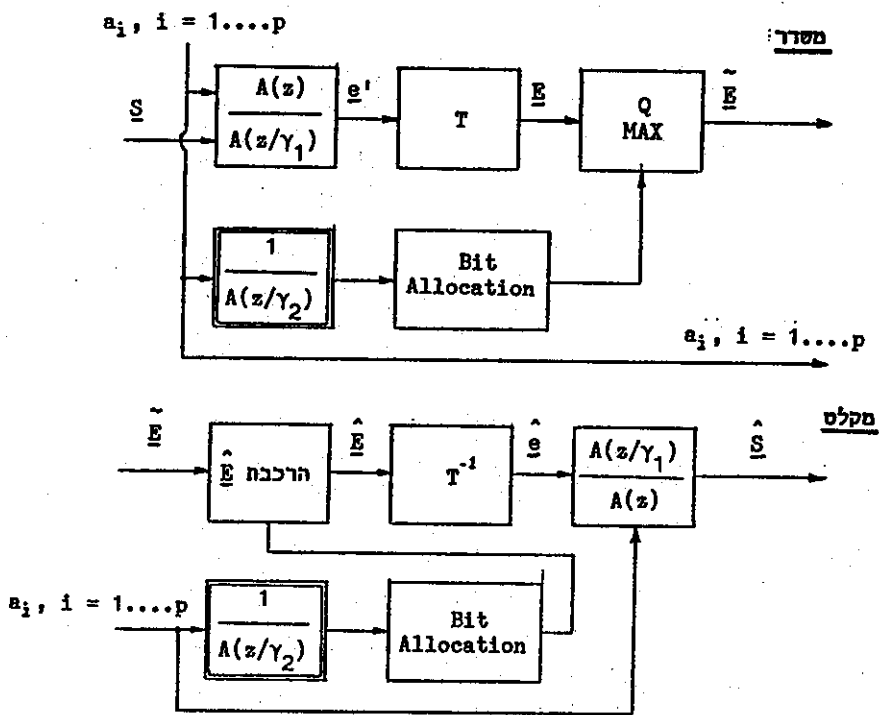
Table 6.1 - SNR vs. γ in GMRM algorithm

מתוך הטבלה ומתוך מבחני האזנה מתקבל שהתוצאות הטובות לא מתקבלות בהכרח עבור $\gamma = 0.0$ כפי שהוצע ב-MRM.

התוצאות בטבלה הן ללא קוונטיזציה של אינפורמציה הצד ומבחינת תחום קצב השידור הן מתאימות לקצב שידור של כ-16 Kbps, כמובן שהתוצאות שהתקבלו לא עומדות במבחן לעומת תוצאות שהתקבלו באלגוריתם האיטרטיבי: עבור תחום הקצבים של 16 Kbps $\text{SNRSEG} = 16.1 \text{ dB}$.

הסיבוכיות של האלגוריתם היא אמנם נמוכה מאד אולם התוצאות אינן טובות. שיפור שניתן להוסיף לאלגוריתם ושהוצע במקור ב-[16] הוא לחשב מחדש את מקדמי ה-LPC בהנתן הערוך, תוספת זו משפרת את האיכות אולם לא במידה מספקת.

ניזכר במערכת שהוצגה בפרק 4:



ציור 6.1 מערכת משור-מקלט PTC

Fig. 6.1 PTC Vocoder

במערכת זו איננו בוחרים שיאים בודדים בתחום התדר, אלא, מפזרים את הסביכות הנתונות לנו לצורך השידור בדומה לנעשה ב- Adaptive Transform Coding (ATC) פני יותר רכיבי התמרה (להבא נשתמש במונח "רכיבי תדר" מכיון שההתמרות בהן אנו דנים - DCT ו-DFT הן ממשפחת ה-Frequency transformations).

במסדר מילצרים אות שארית משוקלל e ע"י העברת אות השארית המקורי דרך המסנן $1/A(z/\gamma_1)$.

האות e עובר התמרה ולמקדמי ההתמרה מוקצות סיביות לפי שערון הווריאנס שלהם. הווריאנס משוערך על-ידי חישוב הספקטרום של המסנן $1/A(z/\gamma_2)$, שערון זה נעשה

בהתבסס על העובדה שאות השארית e הוא בקירוב לבן והוא נצבע ע"י $\frac{1}{A(z/\gamma_1)}$.

ערכו של γ_1 המשמש לצביעה אינו בהכרח זהה לערכו של γ_2 המשמש לצורך חישוב המעטפת

הספקטרלית אם ברצוננו להשיג תוצאות מיטביות וערכים אלה נקבעו בעזרת מבחני האזנה.

למקלט משודרים מקדמי ההתמרה ואינפורמציה צד הכוללת מקדמי PARCOR של LPC ושערון ווריאנס. המקלט משתמש באינפורמציה הצד לשחזר את ההתמרה של אות השארית, ומבצע התמרה הפוכה לקבלת אות שארית משוקלל משוחזר אותו הוא מעביר דרך מסנן סינטזה

לקבלת אות הדיבור המשוחזר. $\frac{A(z/\gamma_1)}{A(z)}$

היחידות העיקריות במערכת הן:

- התמרת אות השארית.
- קוונטיזציה מקדמי ההתמרה.

בליחד את שני הסעיפים הבאים לדיון תאורטי בשתי יחידות אלו ואת הסעיף השלישי לשיקולי מימוש המערכת וסיבוכיות.

כפי שראינו בפרק 4 התמרת ה-DCT נותנת תוצאות עדיפות על פני התמרת ה-DFT ולכן נשתמש בה למימוש ההתמרה T במערכת. התמרת ה-DCT הוצעה לראשונה ב-[37] והיא מוגדרת כדלקמן:

$$(6.3.1) \quad X_k = \frac{2C(k)}{N} \sum_{m=0}^{N-1} x_m \cos [(2m+1)\pi k/2N]$$

$$k=0,1,2,\dots,N-1$$

כאשר:

$$(6.3.2) \quad C(k) = \begin{cases} 1/\sqrt{2} & k=0 \\ 1 & k=1,2,\dots,N-1 \end{cases}$$

באופן דומה ההתמרה ההפוכה מוגדרת כ-

$$(6.3.3) \quad x_n = \sum_{k=0}^{N-1} X_k C(k) \cos[(2n+1)\pi k/2N]$$

$$n=0,1,2,\dots,N-1$$

ניתן לראות מ-(6.3.1) כי מקדמי ה-DCT - X_k הם מספרים ממשיים עבור X_n ממשי.

בספרות הוצעו כמה שיטות לחישוב ה-DCT. השיטה הקלאסית שהוצעה ב-[37] היא כדלקמן: (6.3.1) ניתן להצגה כ-

$$(6.3.4) \quad X_k = \frac{2C(k)}{N} \operatorname{Re} \left[e^{-jk\pi/2N} \sum_{m=0}^{2N-1} x_m W_{2N}^{mk} \right]$$

$$k=0,1,2,\dots,N-1$$

כאשר:

$$(6.3.5) \quad W_{2N} = \exp(-j2\pi/2N)$$

$$(6.3.6) \quad x_m = 0 \quad m = N, N+1, \dots, 2N-1$$

ומכאן, ניתן לחשב DCT של סדרה מאורך N על יד הוספת N אפסים לסדרה, שמוש ב-FFT על סדרה מאורך 2N, כפל ב- $\exp(-jk\pi/2N)$ ולקיחת החלק הממשי. ל-IDCT (6.3.3) צורה דומה ל-DCT (6.3.1) וגם הוא ניתן לחישוב בעזרת FFT מאורך 2N.

חסרונה של שיטה זו הוא הסיבוכיות הגבוהה יחסית, בספרות הוצעו שיטות נוספות לחישוב ה-DCT, ביניהן שיטות המתבססות על FFT מאורך N [38] ושיטות המתבססות על פקטורליזציה של מטריצות התמרה ממשיות לתת מטריצות [39], [40], [41], [42]. השיטות האחרונות הובילו לאלגוריתמים מהירים לחישוב ה-DCT ו-DST (Discrete Sine Transform).

לצורך ההשוואה בין האלגוריתמים המהירים מובאת הטבלה הבאה המפרטת את מספר הכפלים והחיבורים הממשיים הנדרשים בכל אחת מהשיטות המהירות:

מקור	[39] CHEN	[40] WANG	[41] SUEHIRO	[42] WANG
מספר כפלים	$N \log_2 N - 3N/2 + 4$	$N((3/4)\log_2 N - 1) + 3$	$(N/2)\log_2 N + 1$	
מספר חיבורים	$(3N/2)(\log_2 N - 1) + 2$	$N((7/4)\log_2 N - 2) + 3$	$(3/2)N \log_2 N - N + 1$	

טבלה 6.2 - סיבוכיות נדרשת בחישוב DCT
 Table 6.2 Arithmetic Operation needed for DCT

[41] SUEHIRO [42] WANG	[40] WANG	[39] CHEN	
449	547	708	מספר כפלים
1217	1315	1154	מספר חיבורים
1666	1862	1862	סה"כ פעולות

טבלה 6.3 - סיבוכיות נדרשת בחישוב DCT, $N=128$

Table 6.3 Arithmetic Operations needed for DCT, $N=128$

אנו נניח שהסיבוכיות הנדרשת לצורך חישוב DCT מאורך N היא סכום פעולות הכפל והחיבור למרות שב-DSP קיימים כיום ניתן לנצל פעולת MAD (Multiply & Add) המתבצעת במחזור מכונה אחד [43].

את קוונטיזציה מקדמי ההתמרה אנו מבצעים בעזרת קוונטיזר אחיד. כל מקדם עובר קוונטיזציה ומשודר למקלט. הקוונטיזר למקדם מסוים $E(k)$ מאופיין על-ידי צעד קוונטיזציה $\Delta(k)$ ומספר רמות $2^{b(k)}$ כאשר $b(k)$ הוא מספר הסיביות שהוקצו לצורך קוונטיזציה המקדם.

גודל צעד הקוונטיזציה $\Delta(k)$ ומספר הסיביות $b(k)$ תלויים בשערוך ווריאנס המקדם $E(k)$. נניח כרגע שהקצאת הסיביות למקדמים כבר נמצאה ושנתון שערוך לווריאנס המקדמים, נעיר כי אם מבצעים התמרה לאות שארית משוקלל נקבל ווריאנס שונה עבור כל מקדם בעוד שאם מבצעים התמרה לאות שארית לא צבוע ("לבן") ניתן להניח שהווריאנס הוא אותו לכל המקדמים.

למקדמי ההתמרה ניתן להתייחס כאל משתנים אקראיים. כל מקדם הוא קומבינציה של N משתנים אקראיים כאשר N הוא אורך ההתמרה. ה-pdf של מקדם מסוים תלוי איפוא בסטטיסטיקת הכניסה, סוג ההתמרה והגודל N . עבור כניסות גאוסיות גם מקדמי ההתמרה יהיו גאוסיים ועבור כניסות בעלות pdf שונה, ה-pdf של מקדמי ההתמרה ישאף לגאוס כאשר $N \rightarrow \infty$.

עבור N מספיק גדול נניח כי בקירוב טוב מקדמי ההתמרה מפולגים גאוסית. במקרה כזה בחירת גודל צעד הקוונטיזציה (אחיד) $\Delta(k)$ האופטימאלי נקבע מתוך הווריאנס המשוערך $\hat{\sigma}^2(k)$ לפי MAX [44]. עבור מספר נתון של סיביות $b(k)$ גודל הצעד האופטימאלי יהיה:

$$(6.3.7) \quad \Delta(k) = \alpha(b(k)) \hat{\sigma}(k)$$

כאשר $\alpha(b(k))$ הוא קבוע הנקבע לפי $b(k)$ מתוך הטבלאות של MAX עבור קוונטיזר אחיד [44].

אלגוריתם ה-PTC דומה בקוויו הכלליים ל-ATC וגם הקצאת הסיביות תיעשה בצורה דומה. בהנחה שהמקדמים מפולגים בקירוב גאוסית ידוע מ-ATC [45], [46], [47], [48] שהקצאת הסיביות האופטימאלית ניתנת על-ידי:

$$(6.3.8) \quad b(k) = \bar{B} + \frac{1}{2} \log_2 \frac{\hat{\sigma}_{(k)}^2}{\left[\prod_{j=0}^{N-1} \hat{\sigma}_{(j)}^2 \right]^{1/N}}$$

כאשר \bar{B} הוא הקצב הממוצע:

$$(6.3.9) \quad \bar{B} = \frac{1}{N} \sum_{k=0}^{N-1} b(k) = \text{Const.}$$

על ההקצאה (6.3.8) פועלים כמה אילוצים:

(i) $b(k)$ חייב להיות שלם.

(ii) $b(k) \geq 0$, יש לתת הקצאה של 0 סיביות למקדמים שקיבלו הקצאה שלילית.

(iii) $b(k) \leq b_{\max}$ או נגביל את מספר הסיביות המקסימאלי שמקדם יכול לקבל.

הקצאת הסיביות נמצאת באופן מעשי בתהליך בן 3 פאזות [48]:

פיתוח של (6.3.8) יתן:

$$(6.3.10) \quad b(k) = \bar{B} + \log_2 \hat{\sigma}_{(k)} - \frac{1}{2} \log_2 \left[\prod_{j=0}^{N-1} \hat{\sigma}_{(j)}^2 \right]^{1/N} = \log_2 |\hat{\sigma}_{(k)}| - D$$

כאשר D הוא קבוע.

$$(6.3.11) \quad b(k) = \lfloor \log_2 |\hat{\sigma}(k)| - D \rfloor^*$$

כאשר:

$$(6.3.12) \quad \lfloor u \rfloor^* = \begin{cases} 0 & \text{if } u < 0 \\ \lfloor u \rfloor & 0 \leq u < b_{\max} \\ b_{\max} & \text{if } u \geq b_{\max} \end{cases}$$

כאשר b_{\max} הוא מקסימום הסיביות שאנו מיעדים למקדם.

הקבוע D צריך להבחר כך שמתקיים:

$$(6.3.13) \quad B = \sum_{k=0}^{N-1} b(k)$$

כאשר B הוא סך כל הסיביות המוקצות למקדמי ההתמרה למסגרת.

ערכו של D משוערך בשני מעברים. תחילה משוערך D כ-

$$(6.3.14) \quad D_1 = 1/N \left[\sum_{k=0}^{N-1} \log_2 |\hat{\sigma}(k)| - B \right]$$

תוצאה זו מתקבלת אם נסכם את $b(k)$ מ-(6.3.10) על פני $k = 0 \dots N-1$. בדרך כלל שערך זה של D הוא גדול מדי מכיוון שקיימות הרבה נקודות עבורו: $(\log_2 |\hat{\sigma}| - D)$ שלילי.

לכן, מתבצע מעבר נוסף לחיקון D . נגדיר את הקבוצה S^+ :

$$(6.3.15) \quad S^+ = \{ k \text{ such that } (\log_2 |\hat{\sigma}(k)| - D_1) > 0 \}$$

כלומר, זוהי קבוצת אינדקסי המקדמים שמקבלים הקצאה לאחר המעבר הראשון לשערו D . יהיה N^+ מספר האברים ב- S^+ אזי שערוך שני ל- D יתקבל על-ידי:

$$(6.3.16) \quad D_2 = D_1 + 1/N^+ [\sum_{k \in S^+} [\log_2 |\hat{\sigma}(k)| - D_1]^* - B]$$

כלומר, את עודף או חוסר הסיביות הנוצר כתוצאה משימוש ב- D_1 מקזזים על-ידי חיקון D_1 . בשלב זה, ערכו של D_2 קרוב לערך האופטימאלי של D . ערכי k שאינם שייכים ל- S^+ מקבלים הקצאה של 0 סיביות, ומשתמשים בחוק היוריסטי כדי לקזז סיביות עודפות או חסרות הנגרמות כתוצאה משימוש ב- D_2 כשערוך ל- D . בסך הכל מגיעים ל- B סיביות למסגרת.

החוק בו השתמשנו אומר שכאשר יש הקצאה יתר של סיביות הן מופחתות מהמקדמים שקבלו הקצאה עשירה של סיביות, כאשר יש מקום להוסיף סיביות מוסיפים אותן למקדמים שקבלו הקצאה של סיבית אחת בלבד.

6.3.2.2 שערוך הווריאנס של המקדמים

ביצוע האדפטציה בהקצאת הסיביות ובגודל צעד הקוונטיזציה תלוי כפי שצינינו בשערוך

ווריאנס המקדמים - הגודל שסימנו ב- $\hat{\sigma}^2(k)$.

שערוך ווריאנס זה נקבל מתוך חישוב הספקטרום של המסנן הצובע את אות השארית. למעשה, נתייחס לשני מסננים צובעים: $1/A(z/\gamma_1)$ שיצבע את אות השארית, מתוכו נשערך את ווריאנס המקדמים לצורך קביעת צעד הקוונטיזציה, ו- $1/A(z/\gamma_2)$ שעל-פי המעטפת שלו נקבע את הקצאת הסיביות $b(k)$. המוטיבציה לא להשתמש באותו ערך γ בשני המקרים היא ששימוש באותו γ יתן מינימום שגיאה ריבועית ממוצעת על אות השארית הצבוע e^1 , אולם, אנו מחפשים שגיאה ריבועית ממוצעת מינימאלית על אות הדיבור המשוחרר ומקסימום איכות במבחני האזנה. לכן, את ערכי γ_1 ו- γ_2 קבענו במבחני האזנה כפי שנראה בסעיף הבא.

6.3.3.1 בחירת ערכי γ_1 ו- γ_2

- 1. γ_1 קובע את מידת הצביעה של אות השארית, אות השארית נצבע על ידי המסנן: $A(z/\gamma_1)$
- 2. γ_2 קובע את הקצאת הסיביות $b_{(k)}$ מכיוון שהיא מבוצעת לפי הספקטרום של תגובת המסנן $A(z/\gamma_2)$

טבלה 6.4 מתארת תוצאות אובייקטיביות - SNRSEG שהתקבלו עבור ערכי γ_1 ו- γ_2 שונים. הערכים המצויינים בטבלה התקבלו עבור גודל מסגרת: $N=128$ ללא קוונטיזציה של מקדמי ה-LPC ושערוך הווריאנס. כאשר לכל מסגרת מוקצות 100 סיביות (ערך אופייני לקבלת 9.6 Kbps) ומקסימום הסיביות המוקצות למקדם הוא 5 סיביות.

$\gamma_2 \backslash \gamma_1$	0.0	0.4	0.8	1.0
0.0	2.3	2.4	2.5	2.4
0.4	7.0	7.2	7.4	7.5
0.8	10.6	10.8	11.2	11.2
1.0	12.2	12.6	12.9	12.9
1.2	11.0	11.4	11.5	11.5

טבלה 6.4 SNRSEG ב-dB המתקבל במערכת PTC בתלות ב- γ_1 ו- γ_2

Table 6.4 SNRSEG in dB obtained in PTC Vocoder for different γ_1 & γ_2

מתוך הטבלה ניתן להבחין בתופעה שבה מבחינים גם בבחינות סוביקטיביות: ההשפעה

המכריעה על האיכות ניתנת על-ידי הצביעה של מעטפת המסנן $\frac{1}{A(z/\gamma_2)}$ לצורך הקצאת

הסיביות $b(k)$.

לכן, נשתמש בערך $\gamma_2 = 1.0$ לצורך הקצאת הסיביות, כלומר, הקצאת הסיביות נעשית לפי מעטפת מסנן הסינטזה. עליה מעל ערך של $\gamma_2 = 1$ גורמת להופעת "צלצולים" ולתופעת Low-pass עקב ריכוז סיביות במעט מקומות בתדר.

למרות ערכי ה-SNR הדומים ל"רוחב" הטבלה, ניתן להרגיש ברעש הנגרם כתוצאה מהתפרים בין המסגרות החל מ- $\gamma_1 = 0.6$ ומעלה. רעש זה נובע מהעובדה שככל ש- γ_1 גדול יותר אנו מתקרבים לאות הדיבור המקורי ומופיעה הבעיה הידועה מ-ATC של רעש הנובע מהמסגרות.

רעש המסגרת אינו מופיע עבור ערכי γ_1 נמוכים בגלל אפקט ההחלקה שנותן המסנן למעבר בין המסגרות.

עבור $\gamma_1 = \gamma_2 = 1.0$ נקבל את אחת מצורות המימוש של ATC.

בהנתן $\gamma_2 = 1.0$ קשה להבחין בהבדל בדיבור המשוחרר המתקבל עבור ערכי γ_1 קטנים מ-0.6 וכדי לחסוך בסיבוכיות ניתן לבחור $\gamma_1 = 0.0$, כלומר, אות שארית לא עובר כלל צביעה לפני ההתמרה.

לסיכום, נשתמש ב- $\gamma_1 = 0.0$ ו- $\gamma_2 = 1.0$ - ההתמרה מבוצעת על אות שארית לא צבוע והקצאת הסיביות נעשית לפי מעטפת מסנן הסינטזה $1/A(z)$.

כאשר אין צובעים את אות השארית לפני ההתמרה ניתן להניח כי בקירוב טוב הוא לבן והווריאנס של כל המקדמים $\hat{\sigma}^2$ הוא אותו ומתקבל על-ידי ווריאנס הדגם של אות השארית צעד הקוונטיזציה של הקוונטיזרים האחידים ייקבע לכן לפי $\hat{\sigma}$ וגודל זה יש לשרר כאינפורמצית צד.

ממדידות מתקבל כי ניתן להניח בקירוב טוב כי $\hat{\sigma} < 256$ כאשר אות הדיבור נדגם

ב-12 bit לכן $\hat{\sigma}$ מוכפל ב-8 למלוא התחום $0 \div 2048$ ומקודד ב-6 סיביות כפי שמקודד SF (ראה סעיף 5.5).

אינפורמצית צד נוספת הם מקדמי מסנן ה-LPC שמסודרים כ-Reflection Coefficients לפי התקן של LPC-10 (נספח ב').

כאשר מבצעים את הקוונטיזציה לאינפורמצית הצד מקבלים הרעה מורגשת באיכות בקצב 9.6 Kbps. בקצב 16 Kbps לא ניתן להרגיש בהבדל. ב-SNRSEG השינויים המתקבלים הם:

עבור $N=128$ ו-100 סיביות מוקצות למסגרת ($\sim 9.6\text{Kbps}$) מתקבל $\text{SNRSEG} = 11.3\text{ dB}$ במקום 12.2 dB ללא קוונטיזציה.

עבור $N=128$ ו-200 סיביות מוקצות למסגרת ($\sim 16\text{Kbps}$) מתקבל $\text{SNRSEG} = 16.9\text{ dB}$ במקום 18.1 dB ללא קוונטיזציה.

הערה: כשאנו מציינים שמוקצות n סיביות למסגרת הכוונה רק לסיביות הנתונות לצורך קוונטיזציה מקדמי ההתמרה. משלב זה והלאה כל התוצאות שניתן יכללו גם קוונטיזציה של אינפורמצית הצד.

6.3.3.3 הקצאת סיביות

כפי שראינו בסעיף 6.3.2.1, לצורך הקצאת הסיביות יש לחשב את הספקטרום של המסנן $1/A(z)$ ולהשתמש בו כשערוך ל- $\hat{\sigma}(k)$, $k = 0 \dots N-1$. מכיון שהמסנן $A(z)$ מורכב ממספר קטן של מקדמים. נוח לחשב את הספקטרום של $1/A(z)$ בעזרת DFT מאורך $2N$ על הסדרה:

$$(6.3.17) \quad a'_i = \begin{cases} a_i & i = 0 \dots p \\ 0 & p < i \leq 2N-1 \end{cases}$$

כאשר a_i הם מקדמי המסנן $A(z)$.

מתוך (6.3.11) אנו מחפשים את $\log_2 |\hat{\sigma}(k)|$, $k = 0 \dots N-1$

לכן הפעולות שיש לבצע יהיו:

- מצא את הסדרה a'_i על-ידי השלמת a_i באפסים לאורך $2N$ (ההתמרה היא סימטרית ואותנו מעניינות N הנקודות הראשונות).
- מצא את הספקטרום של a'_i בעזרת DFT:

$$(6.3.18) \quad |A(k)| = |\text{DFT}(a'_i)| \quad k = 0 \dots N-1$$

$$(6.3.19) \quad -\log_2 |A| \quad -1$$

יתן את הוקטור המבוקש $\log_2 |\hat{\sigma}|$.

מעשית, אין צורך לחשב את ה-DFT בכל נקודה של a'_i אלא די להסתפק ב- J נקודות $J \ll N$ בהן יחושב $-\log_2 |A(k)|$ ולבצע אינטרפולציה לינארית ב- \log domain. דבר זה מתאפשר מכיון שהמעטפת המתקבלת משמשת לצורך הקצאת סיביות והאינפורמציה החשובה היא הצורה הכללית של המעטפת.

בטבלה 6.5 מפורטים ערכי ה-SNRSEG המתקבלים עבור מספר שונה של נקודות בהן מחושב ה-DFT:

נקודות חישוב	חישוב מדויק	65	33	17	9	5
SNRSEG [dB]	11.3	11.3	11.3	11.2	10.2	8.7
N=128, M=128						
SNRSEG [dB]	13.2	-	13.2	12.9	12.3	10.3
N=64, M=256						

טבלה 6.5 ערכי SNRSEG עבור אינטרפולציה log הספקטרום

Table 6.5 SNRSEG obtained with interpolation of log Spectrum

- N - גודל המסגרת לה עושים התמרה.

M - גודל אינטרוול העדכון בחישוב מקדמי ה-LPC.

- מספר הסיביות המוקצה בכל מקרה מתאים לקצב אופיני של 9.6Kbps.

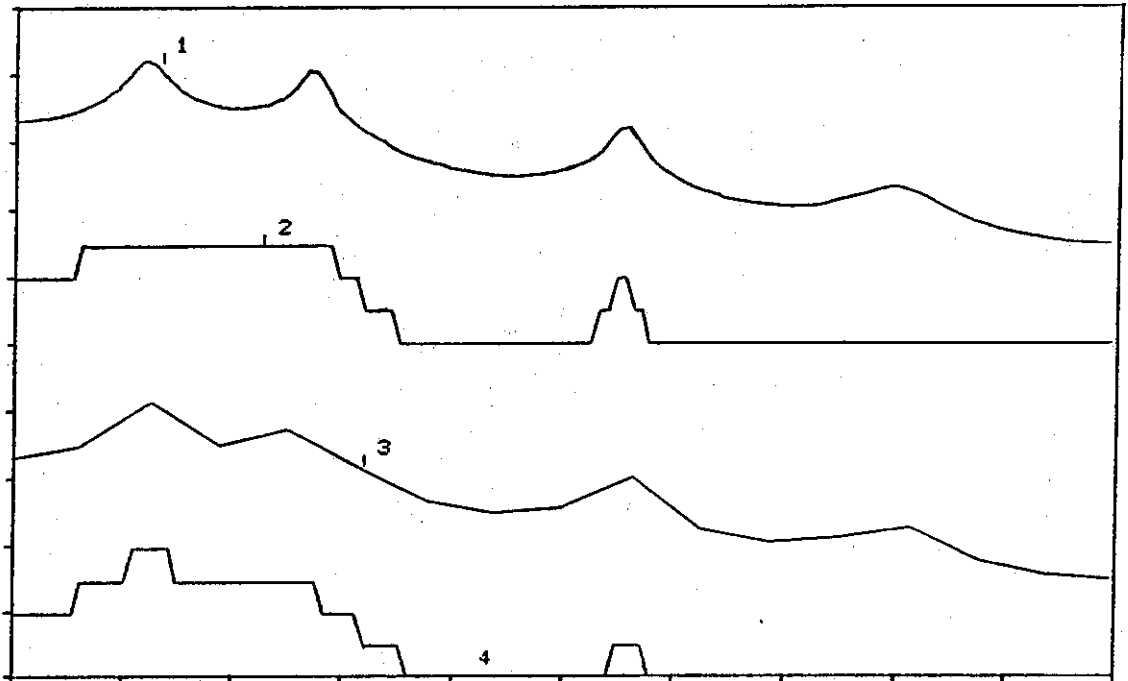
עבור $N=128$, $M=128$ מוקצות 100 סיביות למסגרת.

עבור $N=64$, $M=256$ מוקצות 59 סיביות למסגרת.

- מקסימום סיביות מוקצות למקדם - 5.

- אינפורמציה הצד עוברת קוונטיזציה.

במבחני שמיעה נמצא שעבור התנאים הנ"ל ניתן לרדת עד ל-17 נקודות חישוב DFT (16) אינטרוולים לאורך הספקטרום) מבלי להרגיש הרעה בביצועים. בציור 6.2 מושווה הספקטרום המתקבל ללא אינטרפולציה עם זה המתקבל עם אינטרפולציה וניתנת הקצאת הסיביות בכל מקרה.



PLOT 1 : ORIGINAL LOG SPECTRUM
PLOT 2 : BIT ALLOCATION FOR ORIGINAL LOG SPECTRUM
PLOT 3 : INTERPOLATED LOG SPECTRUM
PLOT 4 : BIT ALLOCATION FOR INTERPOLATED LOG SPECTRUM

צילור 6.2 log הספקטרום עם ובלי אינטרפולציה והקצאת סיביות

Fig. 6.2 log spectrum with and without linear interpolation & Bit allocation

מטרים נוספים הקשורים בהקצאת הסיביות הם:

גודל המסגרת עליה מבוצעת התמרה

התמקדנו כאן בגדלי מסגרות שהן חזקות של 2 כדי להבטיח פשטות אלגוריתמי ההתמרות. גודל מסגרת העדכון באנליזה ה-LPC היא כפולה שלמה של גודל המסגרת במערכת. לדוגמא, אם מקדמי ההתמרה מחושבים כל 128 דגימות מקדמי ה-LPC יחושבו כל 256 או 128 דגמים.

ערכי ה-SNRSEG ב-dB המתקבלים עבור גדלי מסגרות שונים מסוכמים בטבלה 6.6:

256	128	64	32	גודל מסגרת
				צעד עדכון מקדמי ה-LPC
-	11.1	11.1	9.9	128
-	-	12.5	11.2	192
11.3	12.4	12.9	11.7	256

טבלה 6.6 ה-SNRSEG המתקבל עבור גדלי מסגרות שונים

Table 6.6 SNRSEG obtained for different frame size

שימוש במסגרות קטנות יקטין את כמות הסיביות הנתונות "נסו" לצורך קידוד מקדמי ההתמרה, שימוש במסגרות גדולות יגרום לחוסר "עידון" במסגרות בהן אות הדיבור מורכב, לדוגמא, במעבר מקטע קולי לאל-קולי.

במבחני שמיעה נמצא שגודל אינטרוול עדכון של 192 או 256 דגמים באנליזה ה-LPC עדיף על אינטרוול עדכון של 128 דגמים. וגודל מסגרת באלגוריתם של 64 או 128 דגמים נותן את התוצאות המיטביות. נשתמש במערכת המומלצת באינטרוול עדכון מקדמי LPC - $M=192$ וגודל מסגרת באלגוריתם $N=64$. ערכי ה-SNR המתקבלים עבור $M=192$ אמנם נמוכים מאלה המתקבלים עבור $M=256$ אולם ההבדל באיכות אינו מורגש ושימוש באינטרוול עדכון $(M=256)$ הזה לאינטרוול האנליזה $(m=256)$ כשאנו משתמשים בחלון Hanning, גורם לכך שחלק מאות הדבור אינו בא לידי ביטוי בקביעת מקדמי ה-LPC. שימוש באינטרוול גדול $(M=256)$ עלול לגרום גם לשיחזור פחות מדויק של קטעים מסובכים, לא סטציונריים, כמו קטעי מעבר, דבר שיפגע במובנות האות המשוחרר.

במבחני האזנה נמצא שמקסימום של 5 סיביות למקדם בהתמרה הוא מספיק לתחום הקצבים בו אנו פועלים (9.6 Kbps - 16 Kbps) ירידה מתחת לערך זה פוגעת באיכות המתקבלת מכיון שהמקדמים החשובים לא מקבלים מספיק סיביות, עליה מעל ערך זה לא משפרת בהרבה מכיון שאין הרבה מקדמים שמקבלים הקצאה עשירה יותר לפי חוק הקצאת הסיביות שהגדרנו ב-(6.3.11).

3. מספר הסיביות הכולל המוקצה למסגרת לצורך קידוד מקדמי ההתמרה

גודל זה קובע את קצב השידור והוא בעל השפעה מכרעת על ביצועי המערכת. בצירוף 6.3 ניתן לראות את ההשפעה של מספר הסיביות על ה-SNR המתקבל. הפרמטרים ששמשו במערכת של ציור 6.3 היו: $N = 64$ ואינטרוול עדכון LPC - $M = 192$.

נראה כמה סיביות נצטרך להקצות עבור קצב של 9.6 Kbps ו-16 Kbps עבור הפרמטרים הנ"ל:

9.6 Kbps: בשניה של דבור יהיו 41,6667 עדכונים של מקדמי המסנן, לכן נזדקק ל-1708.3333 סיביות לקידוד מקדמי ה-LPC. כך יוותרו לנו 63.1333

סיביות לכל מסגרת, מתוכם החלוקה תהיה:

54 סיביות לקידוד מקדמי ההתמרה.

6 סיביות לקידוד $\hat{\sigma}$.

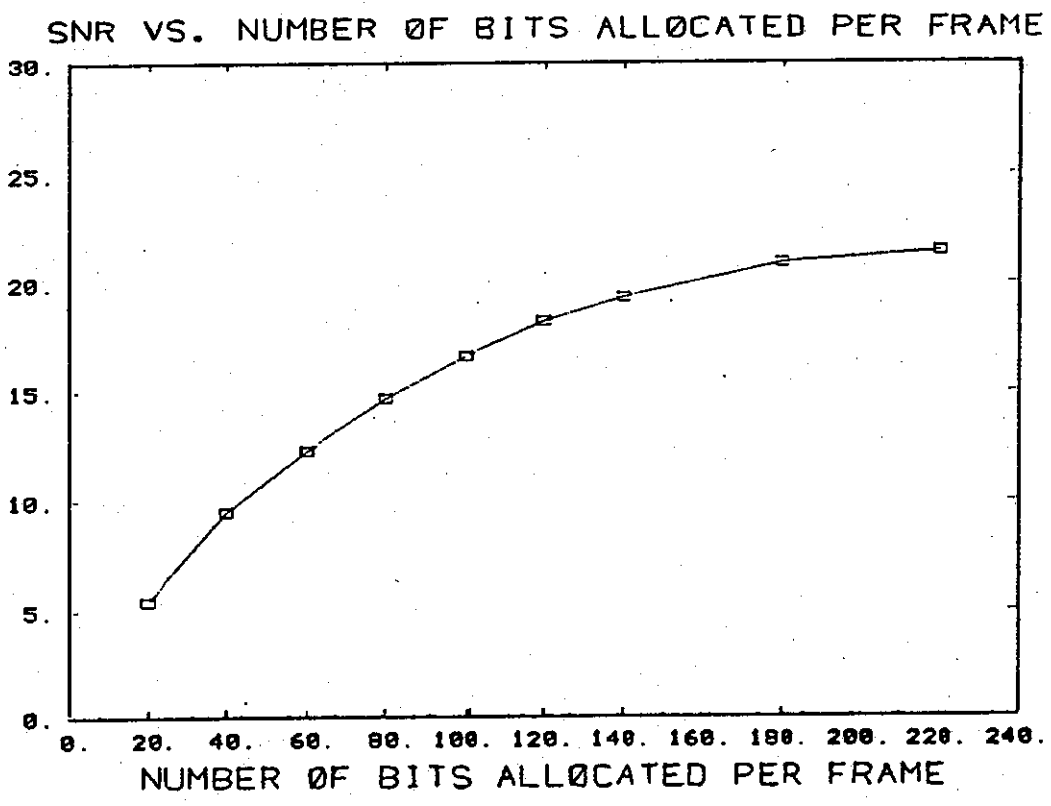
3.1333 סיביות להגנה וסנכרון כפי שנפרט בפרק הבא.

16 Kbps: גם כאן נזדקק ל-1708.3333 סיביות לקידוד מקדמי ה-LPC. יוותרו לנו 114.3333 סיביות לכל מסגרת, מתוכם החלוקה תהיה:

106 - סיביות לקידוד מקדמי ההתמרה.

6 - סיביות לקידוד $\hat{\sigma}$.

2.3333 סיביות להגנה וסנכרון.



ציור 6.3 SNR מחקבל ב-PTC כפונקציה של מספר הסיביות המוקצות למסגרת
Fig. 6.3 SNR in PTC vs. Number of bits allocated per Frame

בסעיף זה נחשב את הסיבוכיות הדרושה לצורך מימוש משדר ומקלט מטיפוס PTC, החישובים המפורטים של הסיבוכיות מובאים בנספח ד', כאן מובאים רק סיכומי התוצאות.

נתון:

- m - גודל הבלוק עליו מחושבים מקדמי אוטוקודלציה באנליזת LPC.
- M - אינטרוול עדכון מקדמי ה-LPC.
- N - גודל מסגרת באלגוריתם (M כפולה שלמה של N).
- B - מספר הסיביות הנתון לקידוד המקדמים במסגרת.
- n_b - מספר הסיביות המקסימאלי הנתון לקידוד מקדם יחיד בהתמרה.
- P - סדר המסנן.
- J - מספר הנקודות בהן מחושב הספקטרום לצורך חישוב המעטפת להקצאת הסיביות, ראה סעיף 6.3.3.3.

פעולות המתבצעות במשדר

(1) חישוב Reflection Coefficients כל M דגמים - $O(m(P+2)+P^2)$

כאשר m הוא גודל הבלוק עליו מחושבים מקדמי אוטוקודלציה.

(2) מציאת אות השארית e מתוך האות המקורי s - כרוך בסינון s - $O(NP)$ פעולות.

(3) חישוב המעטפת הספקטרלית: $O(2PJ + 7J + N + \frac{P(P-1)}{2})$ פעולות.

(4) הקצאת סיביות: $O(9N)$ פעולות + פעולת חילוק.

(5) ביצוע DCT לפי האלגוריתם של WANG [42] ידרוש $O(2N \log_2 N - N)$ פעולות.

(6) קוונטיזציה מקדמי ההתמרה לפי הקצאת הסיביות:

$O(2N)$ פעולות + פעולת חילוק.

בסך הכל נזדקק במסגרת אחת ל:

פעולות: $O(N/M(m(p+2) + p^2) + NP + 11N + 2N \log_2 N + 2PJ + 7J + P(P-1)/2)$

+

2 פעולות חילוק.

1. חישוב מעטפת ספקטרלית: זהה למשדר - $O\left(2PJ + 7J + N + \frac{P(P-1)}{2}\right)$ פעולות.

2. הקצאת סיביות: זהה למשדר - $O(9N)$ פעולות + פעולת חילוק.

3. שיחזור ההתמרה \hat{E} : יש לפרק את ה-bit stream המשודר לפי הקצאת הסיביות ולנרמל חזרה לפי $\hat{\sigma}$:

$O(N)$ פעולות לפרוק.

$O(N)$ פניות לטבלות קוונטיזציה.

$O(N)$ פעולות לנרמול.

סה"כ: $O(3N)$ פעולות.

4. ביצוע IDCT: סיבוכיות זהה ל-DCT - $O(2N \log_2 N - N)$ פעולות.

5. שחזור \hat{S} : העברת \hat{e} דרך מסנן הסינטזה: $O(NP)$ פעולות.

בסה"כ נקבל:

$$O\left(NP + 12N + 2N \log_2 N + 2PJ + 7J + \frac{P(P-1)}{2}\right)$$

+

פעולת חילוק אחת.

נסכם בטבלה את הסיבוכיות הדרושה עבור מערכת בעלת הפרמטרים הבאים:

$M = 192$ אינטרוול עדכון לחישוב מקדמי LPC
 $m = 256$ גודל הבלוק לחישוב מקדמי אוטוקורלציה
 $P = 10$ סדר מסנן
גדלי מסגרת באלגוריתם $J=17, n_p = 5, N=64$

פעולות מקלט	פעולות משדר	סיביות מוקצות למסגרת	N
42	58	54	64

טבלה 6.7 - סיבוכיות משדר - מקלט PTC

Table 6.7 Complexity PTC Vocoder

הערות:

- הקצאת הסיביות הנתונה בדוגמאות בטבלה 6.7 מתאימה לקצב של 9.6 kbps.
- פעולות החילוק מוזנחות יחסית לשאר הפעולות הנדרשות.
- הסיבוכיות איננה תלויה בקצב השידור! לכן ערכי הסיבוכיות הנתונים מתאימים גם לקצב 16 Kbps.

לאור כל הנאמר בסעיפים האחרונים המערכת המומלצת הן מבחינת ביצועים והן מבחינת סיבוכיות תהיה מערכת בעלת הפרמטרים הבאים:

- $m = 256$ - גודל הבלוק עליו מחושבים מקדמי האוטוקורלציה באנליזת ה-LPC.
- $M = 192$ - אינטרוול העדכון של מקדמי ה-LPC.
- $N = 64$ - גודל המסגרת עליה מבוצעת התמרה.
- B - מספר הסיביות המוקצה למסגרת:
 - $B = 54$ - עבור מערכת המיועדת לעבוד בקצב 9.6 Kbps
 - $B = 106$ - עבור מערכת המיועדת לעבוד בקצב 16 Kbps
- $n_b = 5$ - המספר המקסימאלי של סיביות המוקצה למקדם.

- $J = 17$ - מספר הנקודות בספקטרום $\frac{1}{A(z)}$ המחושבות לצורך הקצאת הסיביות.

- אות השארית אינו עובר צביעה והקצאת הסיביות נעשית לפי מעטפת $\frac{1}{A(z)}$

- הסיבוכיות המתקבלת מובאת בטבלה 6.7 ערכי ה-SNR המתקבלים:

- SNRSEG = 12.5dB SNR = 11.9dB (9.6 Kbps)
- SNRSEG = 18.0dB SNR = 17.2dB (16 Kbps)

- ב-16 Kbps האיכות המתקבלת שקופה.

- ב-9.6 Kbps מבחינים בתופעה של Low-pass.

פרק 7. ביצועי המערכות והשוואה

7.1 מבוא

לאחר שהצגנו בפרק 5 את המערכת האיטרטיבית (Multi-Pulse LPC) ובפרק 6 את מערכת ה-PTC נבחן בפרק זה את ביצועי שתי המערכות מהבחינות הבאות:

- (i) חבור מערכות בטור (Tandeming).
- (ii) ביצועים בהנתן רעש רקע.
- (iii) חסינות לרעש ערוץ (Bit Error Rate - BER).
- (iv) ביצועים בהעברת אותות נתונים (Voice Band Data Signal).
- (v) השוואה ל-PCM.

בסוף הפרק נסכם את כל הנתונים יחד עם נתונים לגבי איכות הדיבור המתקבלת וסיבוכיות בתחום הקצבים בו עסקנו (9.6 - 16 Kbps).

7.2 המערכות המשוות

ההשוואה בין המערכות תעשה במקביל. כלומר, כל אחד מהסעיפים הבאים יעסוק באחד מהנושאים הנבדקים וביצועי המערכות יוצגו ביחד. בסעיף זה נציג את נתוני המערכות המשוות:

מערכת ה-Multi-Pulse LPC

המערכת בה נשתמש היא בעלת הנתונים הבאים:

- אינטרוול עדכון מקדמי ה-LPC : $M=180$
- גודל הבלוק לאנליזת ה-LPC : $m=256$
- סדר מסנן LPC : $p=10$
- גודל מסגרת באלגוריתם : $N=45$
- מספר פולסים נבחרים למסגרת :
- $K=4$ עבור קצב 9.6 Kbps
- $K=9$ עבור קצב 16 Kbps

- מספר הדגמים השונים מ-0 ב- h'_n : $L=10$

- $\gamma = 0.8$

- קידוד מקדמי LPC, הגנה וסינכרון: בבדיקות נמצא שדי להגן על מקדמי ה-LPC כדי לקבל שיפור משמעותי בחסינות לרעשי ערוץ (סעיף 7.5). הגנה על ה-Scale (SF) Factor לא תורמת באופן משמעותי. מקדמי ה-LPC מקודדים לפי הסטנדרט של LPC-10 (נספח ב') לכן עלינו להגן על 41 סיביות. לפי הטבלה הנתונה ב-[49, pp. 675], נזדקק ל-6 סיביות אם נשתמש בקוד הנתון ב-[50].

אינטרוול עדכון מקדמי ה-LPC הוא 180 דגימות לכן המקדמים מתעדכנים 44.444 פעם בשניה. נניח שמספיקה סיבית אחת למסגרת עדכון מקדמים לצורך סינכרון ונקבל בסה"כ:

אינפורמצית מקדמים :	1822.2222	סיביות לשניה.
הגנה :	266.6666	סיביות לשניה.
סינכרון :	<u>44.4444</u>	סיביות לשניה.
סה"כ :	2133.3333	סיביות לשניה.

- קידוד אינפורמצית הערוץ:

בקצב 9.6 Kbps : $K=4$, נזדקק ל-5 סיביות לפולס לקידוד הפרשי מרחקים בין הפולסים. כמו כן נזדקק ל-6 סיביות למסגרת לקידוד SF ו-4 סיביות לפולס לקידוד האמפליטודה, סה"כ 7466.6666 סיביות לשניה. יחד עם מקדמי LPC: 9.6 Kbps .

בקצב 16 Kbps : $K=9$, נזדקק ל-4 סיביות לפולס לקידוד הפרשי מרחקים בין הפולסים. גם כאן נזדקק ל-6 סיביות למסגרת לקידוד SF ו-4 סיביות לפולס לקידוד האמפליטודה, סה"כ 13866.6666 סיביות לשניה. יחד עם מקדמי LPC: 16 Kbps .

PTC

המערכת בה נשתמש היא בעלת הנתונים הבאים:

- אינטרוול העדכון של מקדמי ה-LPC : $M=192$
- גודל הבלוק לאנליזה ה-LPC : $m=256$
- סדר מסנן LPC : $P=10$
- גודל המסגרת עליה מבוצעת התמרה : $N=64$
- מספר הסיביות המוקצה לקידוד מקדמי ההתמרה :

54 סיביות עבור קצב 9.6 Kbps

106 סיביות עבור קצב 16 Kbps

- מספר מקסימאלי של סיביות למקדם: $m=5$

- מספר הנקודות המחושבות בספקטרום $1/A(z)$ לצורך הקצאת הסיביות: $J=17$ (16) אינטרוולים).

- קידוד מקדמי LPC, הגנה וסינכרון:
אינפורמציה ה-LPC משודרת כפי שנעשה במקורד ה-Multi-Pulse המומלץ: 41 סיביות
למקדמים + 6 סיביות הגנה, סיבית למסגרת עדכון LPC לסנכרון.

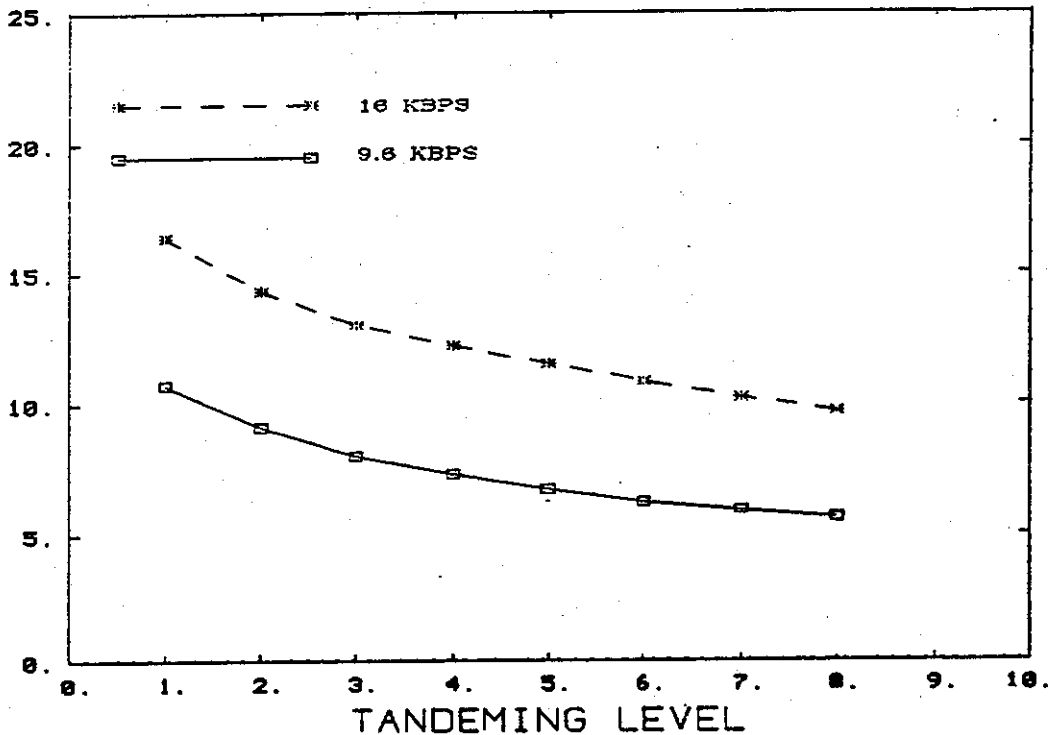
- קידוד אינפורמציה הערוך: כפי שהוסבר בפרק 6.

7.3 חבור מערכות בטור - Tandeming

ברשתות תקשורת בהן מעבירים אותות דיבור מקודדים יתכן מצב בו האות המקורי יעבור דרך כמה צמתים ברשת בהן הוא יעבור שחזור וקידוד מחדש על-ידי מקודדים שונים. חשוב לכן לבדוק כיצד תיפגע איכות האות המתקבל לאחר מעבר דרך כמה שלבים של שחזור וקידוד על-ידי המקודדים המוצעים.

בציור 7.1 מובאים ערכי ה-SNRSEG המתקבלים עבור קצבים של 9.6 Kbps ו-16 Kbps כשהאות עובר כמה רמות Tandeming במערכת האיטרטיבית (Multi-Pulse).

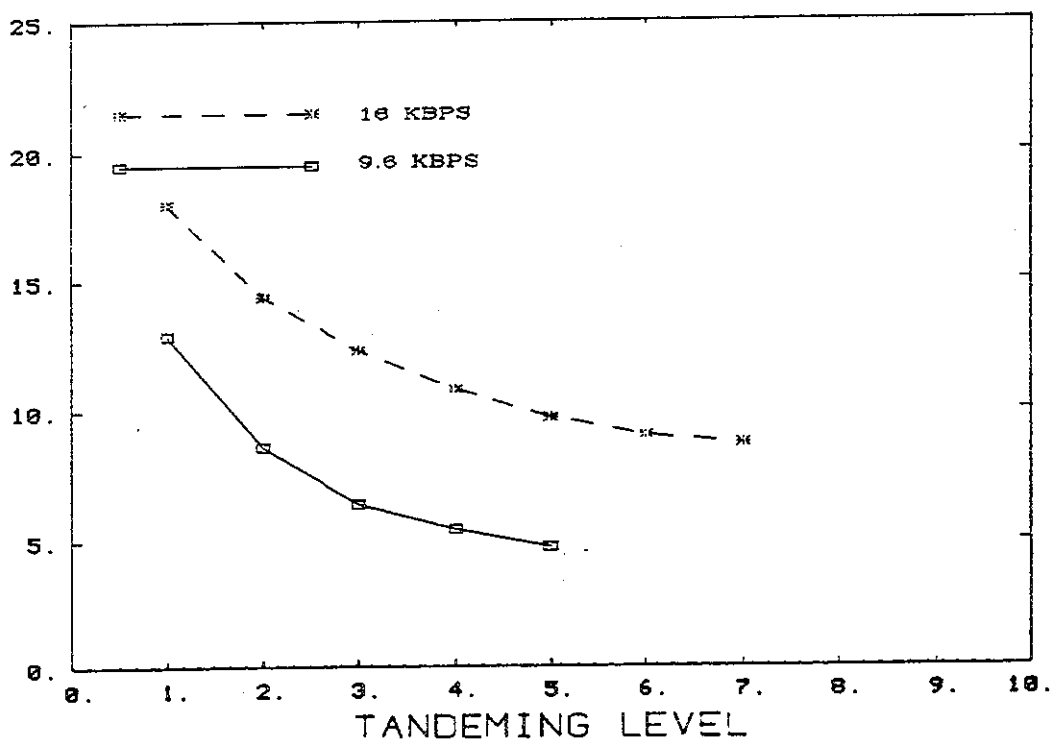
בקצב 9.6 Kbps האות נפגע בצורה חריפה החל מ-5 רמות של Tandeming. ב-16 Kbps האיכות עדיין סבירה גם אחרי 8 רמות. אופי העיוות הוא של "חריקות" וצפצופים. כדאי לשים לב שה-SNRSEG המתקבל עבור 7 צמתות ב-16 Kbps משתווה ל-SNRSEG המתקבל עבור רמת Tandeming אחת ב-9.6 Kbps.



ציור 7.1 SNRSEG כפונקציה של Tandeming במערכת ה-Multi-Pulse

Fig. 7.1 SNRSEG vs. Tandeming in Multi-Pulse system

בצירור 7.2 מובאים ערכי ה-SNRSEG המתקבלים עבור קצב של 9.6 Kbps ו-16 Kbps כשהאות עובר כמה רמות Tandeming במערכת ה-PTC. בדיקות סוביקטיביות מראות כי בקצב 9.6 Kbps האיכות נפגמת בצורה חריפה כבר אחרי 3 רמות Tandeming, ב-16 Kbps האיכות יורדת במתינות ואופי ההפרעות הוא מקומי, האיכות סבירה עד 4 רמות Tandeming אך ניתן להבין את הנאמר גם אחרי 7 רמות.



ציור 7.2 SNRSEG כפונקציה של Tandeming ב-PTC
 Fig. 7.2 SNRSEG vs. Tandeming in PTC Vocoder

7.4 ביצועים בחוספת רעש רקע

ביצועי מקודדי LPC נפגעים כאשר לאות המקורי מתווסף רעש רקע. נבחן לכן את ביצועי המערכת שהוצגו בחוספת רעש רקע. הרעש שהוסף היה רעש גאוזי לבן ב-4 דרגות: 5dB, 10dB, 15dB ו-25dB. התוצאות עבור מערכת ה-Multi-Pulse מסוכמת בטבלה 7.1:

Input SNR [dB]	9.6 Kbps		16 Kbps	
	SNR [dB]	SNRSEG [dB]	SNR [dB]	SNRSEG [dB]
25	9.7	9.9	15.4	14.9
15	8.9	7.7	12.8	10.8
10	7.2	5.5	9.7	7.5
5	5.1	3	5.8	3.6

טבלה 7.1 ביצועי מערכת Multi-Pulse בנוכחות רעש רקע
 Table 7.1 Multi-Pulse performance with background noise

ב-9.6 Kbps האיכות המתקבלת עבור רעש ברמה של 5 dB היא גרועה מאד. אופיו של הרעש באות המשוחזר אינו לבן ומופיע רעש דמוי "קליקים".
 ב-16 Kbps המובנות נשמרת בכל רמות הרעש שנבחנו ואופיו של הרעש נשאר "לבן" כמו באות המקורי.

גם עבור מערכת ה-PTC הוסף רעש בדרגות הנ"ל והתוצאות שהתקבלו מסוכמות בטבלה 7.2. בקצב 16 Kbps האות המשוחזר נשמע בדיוק כמו אות המקור הרועש והרעש המשוחזר נשמע "לבן". בקצב 9.6 Kbps הרעש המשוחזר כבר אינו נשמע "לבן" וברמת רעש של 5 dB האיכות המתקבלת גרועה ביותר.

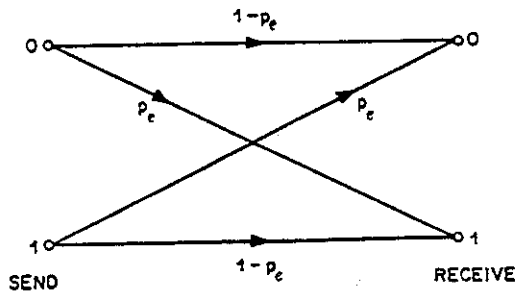
Input SNR [dB]	9.6 Kbps		16 Kbps	
	SNR [dB]	SNRSEG [dB]	SNR [dB]	SNRSEG [dB]
25	12.4	12.6	17.4	16.6
15	11.0	9.5	13.0	11.3
10	8.8	6.7	9.5	7.4
5	5.4	3.1	5.3	3.3

טבלה 7.2 ביצועי מערכת PTC בנוכחות רעש רקע
 Table 7.2 PTC performance with background noise

7.5 חסינות לרעשי ערוץ

מוצא המשדר במקודדי דיבור מועבר אל ערוץ ספרתי. העברת האינפורמציה על-פני הערוץ עלולה להיות לא מושלמת, כלומר, כתוצאה מרעשים יתכנו שגיאות בהעברת האינפורמציה. ניתן להתייחס לשני סוגי שגיאות: שגיאות בודדות שהן מפולגות בינומיאלית עבור ערוץ בינארי סימטרי ושגיאות Burst המאופיינות בקטעים שגויים. כמות השגיאות בערוץ נמדדת ב-Bit Error Rate (BER) והיא יכולה להשתנות בין ערכים קטנים מ- 10^{-6} במערכות בעלות איכות גבוהה לערכים גדולים מ- 10^{-2} בסביבות רועשות כמו לדוגמה ב-Mobile Radio.

בסעיף זה נתייחס למקרה הפשוט של שגיאות בסביבות בודדות (לא Burst) כשהערוץ הוא ערוץ בינארי סימטרי חסר זיכרון בעל הסתברות שגיאה לסיבית - P_e . הסתברות השגיאה היא אותה לשתי הכניסות האפשריות ("0" ו-"1") לערוץ.



ציור 7.3 ערוץ בינארי סימטרי בעל הסתברות שגיאה לסיבית - P_e

Fig 7.3 Binary Symmetric channel with error probability P_e

שגיאות הערוץ פוגעות כמובן באיכות הדיבור המשוחזר המתקבל במקלט לכן במימוש של מקודדים מוסיפים לעיתים קרובות הגנת שגיאות (error protection). תוספת זו כרוכה בתוספת אינפורמציה משודרת, אולם, היא מאפשרת לגלות ו/או לתקן מספר מסוים של שגיאות. עבור ערוצים בעלי P_e גבוה תוספת כזו עשויה לגרום לשיפור משמעותי באיכות האות המתקבל.

לא נכנס במסגרת זו לדיון על שיטות לתיקון שגיאות, מקור טוב לדיון כזה הוא [49]. אנו נסתפק בקודים מתקני שגיאה אחת, כלומר, תהיה לנו האפשרות לתקן שגיאה אחת בתוך בלוק האינפורמציה עליו נגן. לא נטפל בתיקון של יותר שגיאות בגלל הסיבוכיות הגדולה יותר הכרוכה בקודים כאלה, הצורך להקצות יותר סיביות להגנה ובגלל ההסתברות הנמוכה יותר להפיכה של שתי סיביות או יותר בבלוק מוגן.

כדי לבחון את ההבדלים בין מערכת עם הגנה למערכת בלי הגנה נציג עבור כל אחד מהמקודדים מערכת שאינה כוללת הגנה בנוסף למערכות המוגנות שהוצגו בסעיף 7.2.

Multi-Pulse LPC

מערכת ללא הגנה:

- אינטרוול עדכון מקדמי ה-LPC : $M=180$
- גודל מסגרת באלגוריתם : $N=90$
- מספר פולסים למסגרת :

<u>16 Kbps</u>	<u>9.6 Kbps</u>	
$K=19$	$K = 9$	מספר פולסים
15867	9556	סיביות אינפורמציה
133	44	סיביות סינכרון
16000 bit	9600 bit	סה"כ

מכיון שבמערכת ללא הגנה מוקצות יותר סיביות לשידור האינפורמציה נצפה לקבל תוצאות טובות יותר עבור $BER=0$. בטבלאות 7.3 ו-7.4 מסוכמות התוצאות המתקבלות עבור BER שונים בקצבי שידור 9.6 Kbps ו-16 Kbps בהתאמה.

עבור קצב 9.6 Kbps במערכת ללא הגנה האיכות ב- $BER=10^{-4}$ היא שקופה אך עבור BER גדול יותר כבר מרגישים בפגיעה באיכות וב- $BER=10^{-2}$ האיכות כבר גרועה ביותר. במערכת עם ההגנה מקבלים איכות שקופה גם עבור $BER=10^{-3}$ וב- $BER=10^{-2}$ האיכות המחבלת טובה באופן בולט לעומת המערכת ללא הגנה. נסיון להגן גם על ה-Scale Factor (SF) שהוגדר בפרק 5 לא משפר בהרבה את התוצאות ולכן אנו מסתפקים בהגנה על ה-k-parameters בלבד.

עבור 16 Kbps ערכי ה-SNR המתקבלים הם כמוכך טובים יותר אך התוצאות הסוביקטיביות זהות לאלו שהתקבלו עבור 9.6 Kbps כלומר: במערכת ללא הגנה לא מרגישים בפגיעה רק עבור $BER=10^{-4}$, במערכת עם הגנה מרגישים בשיפור עבור כל ערכי ה-BER כשאיכות שקופה נשמרת גם עבור $BER=10^{-3}$.

BER	With Protection		No Protection	
	SNR [dB]	SNRSEG [dB]	SNR [dB]	SNRSEG [dB]
0	9.6	10.6	10.0	11.2
10^{-4}	9.6	10.6	9.7	11.1
10^{-3}	8.5	10.1	8.8	9.9
10^{-2}	2.7	5.9	1.1	3.1

טבלה 7.3 ביצועי Multi-Pulse בערוץ רועש בקצב 9.6 Kbps

Table 7.3 Multi-Pulse performance with noisy channel at 9.6 Kbps

BER	With Protection		No Protection	
	SNR [dB]	SNRSEG [dB]	SNR [dB]	SNRSEG [dB]
0	15.2	16.1	15.5	16.1
10^{-4}	14.5	15.8	15.1	16.0
10^{-3}	11.8	14.6	8.8	13.5
10^{-2}	1.3	5.4	0.4	3.1

טבלה 7.4 ביצועי Multi-Pulse בערוץ רועש בקצב 16 Kbps

Table 7.4 Multi-Pulse performance with noisy channel at 16 Kbps

PTC

ההגנה במערכת ה-PTC נעשית כפי שהיא נעשתה במערכת האיטרטיבית: 6 סיביות מגינות על 41 הסיביות של אינפורמציה ה-k-parameters. במערכת ללא הגנה ניתן לנצל את הסיביות העודפות לקידוד אינפורמציה ממשית ולכן נקבל במערכת ללא הגנה - 57 סיביות לקידוד מקדמי ההתמרה למסגרת בקצב שידור 9.6 Kbps ו-108 סיביות בקצב 16 Kbps, לעומת 54 ו-106 סיביות בהתאמה במערכת עם הגנה. בטבלאות 7.5 ו-7.6 מסוכמות התוצאות המתקבלות עם ובלי הגנה בקצבים 9.6 Kbps ו-16 Kbps בהתאמה. בקצב 9.6 Kbps ללא הגנה האיכות שקופה ב- $BER=10^{-4}$. עבור $BER=10^{-3}$ האיכות נפגמת ושומעים הפרעות באות. עבור $BER=10^{-2}$ האיכות גרועה ביותר. עם תוספת הגנה כמעט ולא מרגישים כלל בשגיאות גם עבור $BER=10^{-3}$ וב- $BER=10^{-2}$ ניתן להבין את הנאמר למרות שמרגישים בשגיאות. בקצב 16 Kbps ללא הגנה האיכות שקופה ב- $BER=10^{-4}$, מורגשת הרעה ב- $BER=10^{-3}$ וב- $BER=10^{-2}$ האיכות כבר מאד ירודה למרות שניתן להבין את הנאמר. במערכת עם הגנה האיכות שקופה גם עבור $BER=10^{-3}$. עבור $BER=10^{-2}$ מקבלים איכות הרבה יותר טובה לעומת זו המתקבלת ללא הגנה למרות שמרגישים בשגיאות.

BER	With Protection		No Protection	
	SNR [dB]	SNRSEG [dB]	SNR [dB]	SNRSEG [dB]
0	11.9	12.5	12.2	12.9
10^{-4}	11.9	12.5	12.2	12.9
10^{-3}	10.5	11.9	10.1	11.8
10^{-2}	5.0	8.4	0.03	3.7

טבלה 7.5 ביצועי PTC בערוץ רועש בקצב 9.6 Kbps

Table 7.5 PTC performance with noisy channel at 9.6 Kbps

BER	With Protection		No Protection	
	SNR [dB]	SNRSEG [dB]	SNR [dB]	SNRSEG [dB]
0	17.2	18.0	17.3	18.1
10^{-4}	16.1	17.7	17.3	18.0
10^{-3}	13.2	16.9	8.6	15.3
10^{-2}	5.9	10.2	0.7	5.7

טבלה 7.6 ביצועי PTC בערוץ רועש בקצב 16 Kbps

Table 7.6 PTC performance with noisy channel at 16 Kbps

7.6 ביצועים בהעברת אותות נתונים (VBD)

בנוסף לתפקידים המקורי - העברת אותות דיבור, הולך ונפוץ כיום השימוש במקודדי דיבור גם להעברת אותות MODEM, כלומר: מעבירים אותות נתונים (Data) בעלי אותות רוחב פס כמו אותות דיבור (Voice Band Data (VBD)) בעזרת מקודדי דיבור. דבר זה קורה בדרך כלל ברשתות תקשורת המעבירות הן אינפורמציה דיבור והן אינפורמציה Data.

ניסינו לכן את המערכות המוצעות גם בהעברת אותות נתונים. אות ה-MODEM בו השתמשנו היה בקצב של 2400 bps, גל נושא של 1800 Hz ושיטת אפנון QPSK, כלומר, כל זוג סיביות מקודד על-ידי סינוס באחת מ-4 פאזות אפשריות. כיון שמקודד הדיבור מותאם לאותות דיבור אין הבטחה שהוא יתפקד טוב גם עבור אותות VBD.

Multi-Pulse LPC

מסתבר שכדי לקבל את התוצאות הטובות ביותר יש להשתמש בחלון מלבני בזמן אנליזה ה-LPC. כמו כן אין צורך לשקלל (לצבוע) את אות השארית. הדבר האחרון ברור מכיון ששקלול השגיאה פגע למעשה ב-SNR אך התאים לתכונות האוזן. בשני הקצבים הנדונים התוצאות אינן משביעות רצון ($BER = 10^{-6}$) ייחשב כמשביע רצון).

בטבלה 7.7 מוצגות התוצאות המחקבלות:

קצב	BER ביציאה
9.6 Kbps	1.53×10^{-3}
16 Kbps	4.57×10^{-4}

טבלה 7.7 ביצועי Multi-Pulse LPC עבור VBD

Table 7.7 Multi-Pulse LPC performance for VBD

הערה: ה-BER המוצג בטבלה הוא ביציאת המקודד ללא שגיאות ערוץ.

התוצאות שהתקבלו עבור מערכת ה-PTC בהעברת אותות VBD מסוכמות בטבלה 7.8 .

קצב	BER ביציאה
9.6 Kbps	8.0×10^{-4}
16 Kbps	1.1×10^{-4}

טבלה 7.8 ביצועי PTC עבור VBD

Table 7.8 PTC performance for VBD

ביטול האינטרפולציה בשערוך הספקטרום תורם אף הוא לשיפור הביצועים אם כי לא בצורה משמעותית: ב-9.6 Kbps התקבל BER של 7.6×10^{-4} במקום 8.0×10^{-4} .

השפעה קריטית על הביצועים יש לגדלים γ_1 ו- γ_2 שהגדרנו בהגדרה הבסיסית של מערכת ה-PTC (פרק 6). במערכת המומלצת לדיבור $\gamma_1=0.0$ ו- $\gamma_2=1.0$. כלומר, אות השארית לא עובר צביעה והקצאת הסיביות נעשית לפי הספקטרום של $1/A(z)$. עבור אותות VBD התקבל שרצוי $\gamma_1=1.0$ ו- $\gamma_2=1.0$, כלומר, לבצע בעצם ATC - האות המקורני עובר טרנספורמציה. בתנאים אלה התקבל בקצב 9.6 Kbps $BER=7.25 \times 10^{-5}$ ובקצב 16 Kbps התקבל $BER=0$. מתוצאות אלה נובע שאם קיים אינדיקטור להמצאות אות דיבור או נתונים כדאי לשנות את γ_1 לערך 0.0 או 1.0 בהתאם לאופי האות: $\gamma_1=0.0$ לאות דיבור ו- $\gamma_1=1.0$ לאותות VBD.

7.7 השוואה ל- μ -law PCM

מדד מקובל להשוואת ביצועי מקודדים הוא השוואה לאיכות האות המתקבל על-ידי קידוד μ -law PCM במספר שונה של סיביות.

אופי הפגיעה באיכות הדיבור בשני המקרים הוא כמובן שונה וניתן לשמוע את ההבדל במבחני האזנה.

מבחינה סובייקטיבית מתקבל שעבור שני המקודדים, Multi-Pulse LPC ו-PTC, האיכות המתקבלת בקצב 9.6 Kbps ניתנת להשוואה ל-PCM ב-6 סיביות והאיכות המתקבלת ב-16 Kbps ניתנת להשוואה ל-PCM ב-7 סיביות.

7.8 השוואה בין המערכות המומלצות

התוצאות שהתקבלו בסעיפים הקודמים והתוצאות האובייקטיביות לאיכות האות המשווה מסוכמות בטבלה 7.9.

הערות לטבלה:

- הנתונים בטבלה הם עבור המערכות עם הפרמטרים המומלצים מסעיף 7.2.
- הערך בעמודת ה-Tandeming הוא רמת ה-Tandeming שמעבר אליה יורד ה-SNRSEG מתחת ל-5 dB עבור קצב 9.6 Kbps ו-10 dB עבור קצב 16 Kbps.
- העמודה של SNR עבור $BER=10^{-3}$ מתייחס למערכות עם הגנת שגיאות.
- מבחינת איכות הדבור המתקבלות (בדיקה סובייקטיבית) אזי ב-16 Kbps האיכות המתקבלת ב-PTC טובה מזו המתקבלת ב-MPLPC. ב-9.6 Kbps האיכות של PTC מעט נמוכה מזו של MPLPC בגלל אפקט של low-passing בו ניתן לחוש באות המשווה.

PCM	BER	SNRSEG[db]	SNRSEG [dB]	Tandeming	סילביות מקלט	סילביות מקלט	סילביות מקלט	SNRSEG [dB]	SNR [dB]	מקורד
μ -law	עבור	ברעש ערוץ	ברעש רקע		מקלט	מקלט	מקלט	[dB]	[dB]	
[bit]	VBD	BER= 10^{-3}	15 dB		פעולות לדגם [פעולות לדגם [פעולות לדגם [
6	1.53×10^{-3}	10.1	7.7	8	10	10	84	10.6	9.6	MPLPC
6	8.0×10^{-4}	11.9	9.5	4	42	42	58	12.5	11.9	PTC
7	4.57×10^{-4}	14.6	10.8	8	10	10	112	16.1	15.2	MPLPC
7	1.1×10^{-4}	16.9	11.3	4	42	42	58	18.0	17.2	PTC

טבלה 7.9 - השוואת המקורד האיטריטבי (MPLPC) והמקורד PTC בקצבים 9.6 Kbps ו-16 Kbps
 Table 7.9 Comparison of MPLPC and PTC coders at 9.6 Kbps & 16 Kbps

פרק 8. סיכום ומסקנות

במסגרת חבור זה הוצעה שיטה חדשה לייצוג אות השארית מחזורי לינארי לשימושים של קידוד אותות דיבור. השיטה מבוססת על הצגת אות השארית כקומבינציה לינארית של מספר קטן של וקטורים הלקוחים מתוך אוסף נתון. אוסף הוקטורים נמצא הן במקלט והן במשדר והאינפורמציה המשודרת על אות השארית הם אינדקסי הוקטורים שמרכיבים את הקומבינציה וערכי המקדמים הכופלים אותם. ההצגה הזאת מהווה הכללה של מספר מקרים פרטיים שהוצעו בספרות בשנים האחרונות.

מתוך השיטה החדשה נבעו מספר מקודדים אשר מהם התרכזנו בשניים: הראשון מקודד שבו אוסף הוקטורים הוא וקטורי יחידה - וקטורים שרק איבר יחיד מתוכם שונה מ-0. אוסף כזה של וקטורים מוליך לפתרון איטרטיבי פשוט למציאת קומבינציה הוקטורים הדרושה עבור אות השארית. בעית מציאת הקומבינציה היא בעיה קשה וגם פתרון איטרטיבי זה הוא פתרון תת-אופטימאלי. הצגת המקודד הנ"ל מובילה למקודד ה-Multipulse LPC שהוצע בשנים האחרונות.

למקודד השני הגענו בהליך חיפוש אוסף הוקטורים האופטימאלי הדרוש. למקודד זה קראנו Predictive Transform Coder (PTC), מכיון שהוא בעצם פועל על אות השארית בתחום התדר.

תחום קצבי השידור בו עסקנו היה 16 Kbps - 9.6 Kbps ושני המקודדים נתנו בו תוצאות יחסית טובות כשב-9.6 Kbps המקודד האיטרטיבי נותן איכות מעט טובה יותר (במקודד PTC בקצב זה מורגש אפקט של low-passing) וב-16 Kbps מקודד ה-PTC נותן תוצאות טובות יותר. במסגרת החבור מובאות השוואות אובייקטיביות וסובייקטיביות בין המקודדים ומובאות הערכות סיבוכיות לכל אחד מהם. כמו כן נערכו בדיקות לבחינת ביצועי המקודדים ב-Tandeming, רעש רקע, שגיאות ערוץ והעברת אותות VBD - Voice Band Data.

מקודד ה-PTC שהוצג בחבור נותן סיבוכיות נמוכה מזו של מקודד ה-Multipulse אולם, כאמור, איכותו בקצבים הנמוכים (9.6 Kbps) נופלת מזו של מקודד ה-Multipulse. שיפור איכותו של מקודד זה בקצבים הנמוכים ראוי למחקר נוסף.

כדי לשפר את האיכות ניתן להתמקד בשני כיוונים:

הראשון, לשדר ביתר יעילות את מקדמי מסנן ה-LPC כדי שיותר סיביות ישתחררו לטובת קידוד ההתמרה. טכניקות שונות הוצעו בשנים האחרונות הדורשות פחות סיביות לקידוד המקדמים לעומת השיטה הקלאסית בה השתמשנו בעבודה זו. לדוגמא [54].

כיוון שני יהיה לנסות לשנות את צורת הקצאת הסיביות הקלאסית: לבצע Preemphasis למעטפת לפיה מבצעים את ההקצאה או לשנות באופן מלאכותי אחר את קביעת הקצאת הסיביות כדי לגרום לכך שרכיבי תדר גבוהים יקבלו יותר משקל בהקצאת הסיביות.

כיוון נוסף למחקר יכול להיות חפוש אוספּי וקטורים - V שונים מאלה שהוצעו בעבודה זו שיובילו לאלגוריתמים פשוטים מחד ובעלי איכות גבוהה מאידך.

נספח א' - הוכחת טענה 4.1

הצגת הבעיה

נתונים: R מטריצה ממשית, סימטרית, P.D מממד $N \times N$.
Q מטריצה ממשית $N \times K$ (לא ריבועית) בעלת עמודות בלתי תלויות.

מהו Q כרזי ש-

$$\Delta E = \text{trace} [(Q^T R Q)^{-1} (Q^T R^2 Q)]$$

יהיה מקסימאלי?

פתרון

- נראה תחילה שעבור כל $\hat{Q} = QA$ כאשר A מטריצה לא סינגולרית נקבל אותו ΔE :

$$\begin{aligned}
(A.1) \quad & \text{trace} [(\hat{Q}^T R \hat{Q})^{-1} (\hat{Q}^T R^2 \hat{Q})] = \\
& = \text{trace} [(A^T Q^T R Q A)^{-1} (A^T Q^T R^2 Q A)] = \\
& = \text{trace} [A^{-1} (Q^T R Q)^{-1} (A^T)^{-1} A^T (Q^T R^2 Q) A] = \\
& = \text{trace} [A^{-1} (Q^T R Q)^{-1} (Q^T R^2 Q) A] = \\
& = \text{trace} [(Q^T R Q)^{-1} (Q^T R^2 Q)] = \Delta E
\end{aligned}$$

כאו נעזרנו בעובדה שה-trace אינו ריאנטי לפעולת דמיון.

- כעת נראה שניתן לעבור מן הבעיה המקורית לבעיה פשוטה יותר:

המטריצה $Q^T R Q$ היא מטריצה ממשית סימטרית P.D.,
המטריצה $Q^T R^2 Q$ היא מטריצה ממשית סימטרית P.D.,
לכן, קיימת מטריצה B לא סינגולרית (לא בהכרח אורתוגונלית) [10, pp. 231]
כך שמתקיים:

(A.2) $B^T(Q^T R Q)B = I$

(A.3) $B^T(Q^T R^2 Q)B = D$

כאשר D מטריצה אלכסונית ו-I היא מטריצת היחידה.
לפי (A.1) לא נקבל שינוי ב- ΔE אם נעבור ל-

(A.4) $\hat{Q} = QB$

נקבל:

(A.5) $(\hat{Q}^T R \hat{Q})^{-1} (\hat{Q}^T R^2 \hat{Q}) =$
 $= (B^T Q^T R Q B)^{-1} (B^T Q^T R^2 Q B) =$
 $= I^{-1} D = D$

כלומר, בעזרת (A.4) אנו עוברים לבעיה פשוטה יותר שבה עלינו לבצע trace על מטריצה אלכסונית:

(A.6) $\text{trace} ((Q^T R Q)^{-1} (Q^T R^2 Q)) =$
 $= \text{trace} ((\hat{Q}^T R \hat{Q})^{-1} (\hat{Q}^T R^2 \hat{Q})) =$
 $= \text{trace} (D)$

- הבעיה המתקבלת כעת היא:
מה יהיה \hat{Q} כך שיתקיים:

(i) $\hat{Q}^T R \hat{Q} = I$: מטריצת יחידה

(A.7) (ii) $\hat{Q}^T R^2 \hat{Q} = D$: מטריצה אלכסונית:

(iii) $\text{trace} [(\hat{Q}^T R \hat{Q})^{-1} (\hat{Q}^T R^2 \hat{Q})] \longrightarrow \max$

המטריצות R ו-R² הן ממשיות סימטריות ומתלכסנות ללכסון יוניטרי על-ידי הוקטורים העצמיים שלהן.

לכן, כדי לענות על אילוצים (i) ו-(ii) נצטרך לבחור את וקטורי Q̂ להיות קומבינציות אורתוגונליות מנורמלות של וקטורים עצמיים.

נזכיר כי אם ל-R ערכים עצמיים שונים אזי הוקטורים העצמיים השייכים אליהם אורתוגונליים. אם ל-R ערך עצמי כלשהו מרובה אזי הוקטורים העצמיים השייכים אליו בלתי-תלויים וניתן להגיע מהם לבסיס אורתוגונלי, מוקטורים עצמיים אורתוגונליים ניתן לעבור לוקטורים עצמיים אורתונורמאליים [36].

נסמן ב-v_i וקטור עצמי של R ונניח שהוקטורים העצמיים מנורמלים כך שהם אורתונורמאליים.

הכוונה בקומבינציות אורתוגונליות מנורמלות היא שנבחר כל וקטור ב-Q̂ להיות:

$$(A.8) \quad \hat{q}_i = \frac{1}{\beta_i} \sum_{j=1}^{m_i} \alpha_{i,j} v_{i,j} \quad i=1 \dots k$$

הסימון v_{i,j} פרושו הוקטור ה-j-י שמשתייך בקומבינציה ה-i-ית.

$$(A.9) \quad \sum_{i=1}^k m_i = N \quad \text{כאשר}$$

$$(A.10) \quad v_{i,j}^T v_{k,l} = 0, \quad i \neq k, \quad \forall_{j=1 \dots m_i}, \quad \forall_{l=1 \dots m_k}$$

$$(A.11) \quad \hat{q}_i^T \hat{q}_i = 1 \quad -1$$

במלים פשוטות, את N הוקטורים הנתונים לנו נחלק ל-k קבוצות, כל קבוצה תכיל וקטורים שונים (A.10), בכל קבוצה ניצור קומבינציה לינארית של הוקטורים וננרמל את הוקטור המתקבל (A.8) כך שיתקיים (A.11). כתוצאה מחלוקה זו כל ה-q̂_i המתקבלים יהיו אורתונורמאליים, ונקבל ליכסון של R ו-R² (ל-R ו-R² אותם וקטורים עצמיים).

נמצא כעת את הגודל המנרמל β_i ב-(A.8):

$$(A.12) \quad R\hat{q}_i = 1/\beta_i \sum_{j=1}^{m_i} \alpha_{i,j} Rv_{i,j}$$

$$= 1/\beta_i \sum_{j=1}^{m_i} \alpha_{i,j} \lambda_{i,j} v_{i,j}$$

$$(A.13) \quad \hat{q}_i^T R\hat{q}_i = (1/\beta_i \sum_{j=1}^{m_i} \alpha_{i,j} v_{i,j})^T 1/\beta_i \sum_{j=1}^{m_i} \alpha_{i,j} \lambda_{i,j} v_{i,j}$$

$$= 1/\beta_i^2 \sum_{j=1}^{m_i} \alpha_{i,j}^2 \lambda_{i,j} = 1$$

$$(A.14) \quad \beta_i = \left(\sum_{j=1}^{m_i} \alpha_{i,j}^2 \lambda_{i,j} \right)^{1/2} \quad \text{לכּוּ:}$$

כלומר, עבור הקומבינציה ה- i -ית הוקטור \hat{q}_i שנרכיב יהיה:

$$(A.15) \quad \hat{q}_i = \left(\sum_{j=1}^{m_i} \alpha_{i,j}^2 \lambda_{i,j} \right)^{-1/2} \sum_{j=1}^{m_i} \alpha_{i,j} v_{i,j}$$

כך יתקיימו האילוצים (i) ו-(ii).
 כעת עלינו לדאוג גם למילוי תנאי (iii):
 $\text{trace (D)} \longrightarrow \max$

אברי האלכסון של D יהיו מהצורה:

$$(A.16) \quad d_{ii} = \hat{q}_i^T R^2 \hat{q}_i$$

אם λ_i ערך עצמי של R המתאים לוקטור עצמי \underline{v}_i אזי λ_i^2 ערך עצמי של R^2 המתאים לוקטור עצמי \underline{v}_i נקבל לכן:

$$(A.17) \quad \hat{q}_i^T R^2 \hat{q}_i = \left(\sum_{j=1}^{m_i} \alpha_{i,j}^2 \lambda_{i,j} \right)^{-1} \sum_{j=1}^{m_i} \alpha_{i,j}^2 \lambda_{i,j}^2$$

מכיון ש- R חיובית מוגדרת, ערכיה עצמיים חיוביים ולכן:

$$(A.18) \quad \left(\sum_{j=1}^{m_i} \alpha_{i,j}^2 \lambda_{i,j} \right)^{-1} \sum_{j=1}^{m_i} \alpha_{i,j}^2 \lambda_{i,j}^2 \leq \lambda_i^{\max}$$

כאשר λ_i^{\max} הוא הערך העצמי הגדול ביותר בקבוצה ה- i -ית. כדי לקיים את השוויון ב-(A.18) נבחר את הקובינציה בכל קבוצה להיות מנוונת ולהיות בדיוק הוקטור העצמי השייך לערך העצמי הגדול ביותר באותה קבוצה:

$$(A.19) \quad \hat{q}_i = (\lambda_i^{\max})^{-1/2} \underline{v}_i^{\max}$$

כאשר \underline{v}_i^{\max} הוא הו"ע המתאים ל- λ_i^{\max} .

מכיון שעלינו לבצע מקסימיזציה על כל הקובינציות האפשריות לחלוקת N הוקטורים ל- k קבוצות נקבל ש- $\text{trace}(D)$ יקבל מקסימום כאשר \hat{Q} יכיל את הוקטורים העצמיים המתאימים לערכים העצמיים הגדולים ביותר ב- R כשהם מנורמלים לפיהם.

מסקנה:

\hat{Q} המבוקש יהיה מורכב מהוקטורים העצמיים של R השייכים לערכים העצמיים הגדולים ביותר ומנורמלים לפיהם.

(A.20) $\hat{q}_i = \lambda_i^{-1/2} \underline{v}_i$

כאשר λ_i הם הערכים העצמיים הגדולים ו- \underline{v}_i הם הוקטורים העצמיים השייכים אליהם.

מכיון שראינו כבר שלא נקבל שינוי ב- ΔE אם נעבור מ- Q אחד ל- \tilde{Q} אחר על ידי:

$$\tilde{Q} = QA$$

כאשר A אינה סינגולרית, אזי נוכל לעבור מ- \hat{Q} ל- \tilde{Q} שיכיל פשוט את הוקטורים העצמיים המתאימים לערכים עצמיים גדולים של R . בצורה כזאת נשאר עם אותו ΔE אבל עם Q יותר פשוט.

נספח ב' - חישוב מקדמי LPC וקוונטיזציה

ברוב חלקי העבודה חישוב מקדמי ה-LPC נעשה בשיטת האוטוקורלציה [5].
הסיבוכיות הדרושה לשם כך היא:

N פעולות - כפל בחלון,

$r_0 \dots r_p$. N(P+1) פעולות - חישוב מקדמי אוטוקורלציה.

P^2 פעולות - פתרון בעזרת Levinson - Durbin.

בסה"כ $O(N(P+2)+P^2)$ פעולות למסגרת עדכון LPC.

המקדמים שנשדר לא יהיו מקדמי מסנן ה-LPC אלא מקדמי החזרה

Reflection Coefficients (או PARCOR) שהם בעלי תכונות טובות לקידוד [7]:

- קל לשמור באמצעותם על יציבות מסנן הסינטזה ($1 > k_i$, $1 \leq i \leq p$ כאשר k_i הוא מקדם PARCOR מבטיח את יציבות המסנן).

- מקדמי ה-PARCOR הם בעלי סדר טבעי ביניהם דבר שמאפשר ללמוד את הסטטיסטיקה של התפלגות ערכיהם ומכאן ניתן לקבל סכמאות קידוד יעילות יותר [7].

צורת הקידוד היא כדלקמן:

- השתמשנו בסימולציות במסנן LPC מסדר 10.

- k_1, k_2 שני מקדמי החזרה הראשונים מקודדים בעזרת Log Area Ratio:

$$(B.1) \quad LAR_i = \ln \frac{1 + k_i}{1 - k_i}$$

- $k_3 - k_{10}$ מקודדים בצורה ישירה.

- סכמת הקוונטיזציה היא לפי הסכמה של LPC-10 [8]:

(1) הקצאת הסיביות נתונה בטבלה B.1:

טבלה B.1 - הקצאת סיביות

<u>מספר סיביות</u>	<u>מקדם</u>
5	k_1
5	k_2
5	k_3
5	k_4
4	k_5
4	k_6
4	k_7
4	k_8
3	k_9
<u>2</u>	k_{10}

סה"כ 41 סיביות

(2) k_1, k_2 מובאים ל-6 bit וסימן ומקודדים לסימן וגודל בעזרת טבלה B.2:

טבלה B.2 - קידוד k_1, k_2

<u>ערך מפוענח</u>	<u>ערך מקודד</u>	<u>ערך אמיתי</u>
2	0	0 - 5
9	1	6 - 12
16	2	13 - 19
23	3	20 - 26
30	4	27 - 33
36	5	34 - 38
41	6	39 - 43
46	7	44 - 48
50	8	49 - 52
54	9	53 - 55
57	10	56, 57
59	11	58, 59
60	12	60
61	13	61
62	14	62
63	15	63

(3) k_3 - k_{10} מובאים ל-14 סיביות וסימן, מופחת מהם bias לפי טבלה B.3 והם עוברים Scaling ל-6 bit וסימן לפי טבלה B.4. לאחר מכן הפרמטרים עוברים Scaling נוסף למספר הביטים שהוקצה להם לפי טבלה B.1. הפענוח נעשה על-ידי תהליך הפוך.

טבלה B.3 - bias

<u>bias</u>	<u>המקדם</u>
-1152	k_3
+2816	k_4
+1536	k_5
+3584	k_6
+1280	k_7
+2432	k_8
- 768	k_9
+1920	k_{10}

טבלה B.4 - Scaling

<u>Scaling</u>	<u>המקדם</u>
0.0056	k_3
0.0003	k_4
0.0068	k_5
0.0072	k_6
0.0074	k_7
0.0073	k_8
0.0084	k_9
0.0102	k_{10}

מימוש אלגוריתם I וסיבוכיות

נפרט את שלבי האלגוריתם השונים מבחינת צורת המימוש והסיבוכיות. המספר יתאים לשלב באלגוריתם.

1. חישוב h'_n ייעשה על-ידי העברת דגם יחידה דרך $\frac{1}{A(z/\gamma)}$.

לכך יידרשו:

- P כפלים למציאת מקדמים משוקללים (בהנחה שבזכרון נתונים ערכי: $(\gamma, \gamma^2, \dots, \gamma^P)$)

- LP פעולות (MAD) Multiply & Add לצורך ההעברה במסנן.
* בסה"כ נזדקק לשלב זה - $(L+1)P$ פעולות.

2. המטריצה R מחושבת באופן רקורסיבי:

$$(C.1) \quad r_{ij} = \begin{cases} h'_{N-i-1} h'_0 & \text{for } j = N-1, \quad 0 \leq i \leq N-1 \\ r_{i+1, j+1} + h'_{N-i} h'_{N-j} & \text{for } 0 \leq j < N-1, \quad 0 \leq i \leq j \end{cases}$$

$$(C.2) \quad r_{ji} = r_{ij}$$

למעשה, מכיון שהנחנו:

$$(C.3) \quad h'_n = 0 \quad \forall \quad n \geq L$$

נקבל:

$$(C.4) \quad r_{ij} = r_{|i-j|} \quad \forall \quad i \leq N-L \text{ or } j \leq N-L$$

כש- $r_{|i-j|}$ הוא מקדם אוטוקורלציה.

לדוגמא, עבור $N = 10$, $L = 4$ נקבל:

(C.5) $R =$

$$\begin{bmatrix}
 r_0 & r_1 & r_2 & r_3 & & & & & & & \\
 r_1 & r_0 & r_1 & r_2 & r_3 & & & & & & 0 \\
 r_2 & r_1 & r_0 & r_1 & r_2 & \cdot & & & & & \\
 r_3 & r_2 & r_1 & r_0 & r_1 & \cdot & \cdot & & & & \\
 & r_3 & r_2 & r_1 & r_0 & \cdot & \cdot & \cdot & & & \\
 & & \cdot & \cdot & \cdot & \cdot & \cdot & \cdot & & & \\
 & & & \cdot & \cdot & \cdot & r_0 & r_1 & r_2 & r_3 & \\
 & & & & \cdot & \cdot & r_1 & r_0 & r_1 & r_2 & r_3 \\
 & & & & & \cdot & r_2 & r_1 & r_77 & r_78 & r_79 \\
 & & & & & & r_3 & r_2 & r_87 & r_88 & r_89 \\
 & & & & & & & r_3 & r_97 & r_98 & r_99
 \end{bmatrix}$$

Covariance part

מספר החישובים הנדרש:

$$\begin{matrix}
 N - L \leq i \leq N - 1 & r_{i,N-1} & L & - \\
 & & L(L-1) & - \\
 \text{Covariance-} & \text{Multiply and Add (MADS)} & \frac{L(L-1)}{2} & - \\
 & & 2 &
 \end{matrix}$$

part של המטריצה ומקדמי האוטוקורלציה r_k , $0 \leq k \leq L - 1$

בסה"כ נזדקק ל- $\frac{L(L+1)}{2}$ פעולות בשלב זה.

3. חישוב הוקטור $\underline{\psi}$ ($\psi_i = 1/r_{ii}$, $0 \leq i \leq N-1$) מתבצע לפני התחלת האיטרציות כדי לחסוך פעולות חילוק בזמן האיטרציות עצמן. ב-DSP קיימים כיום פעולה חילוק היא בדרך-כלל יקרה ולכן נשתדל לחסוך בפעולות אלה.
- מספר פעולות דרוש:
- עבור $i \leq N-L$ חילוק יחיד $1/r_0$.
- עבור $i > N-L$ $L-1$ חילוקים נוספים.
- בסה"כ נזדקק ל- L פעולות חילוק.

4. חישוב e^0 נעשה באופן הבא:

- (i) חישוב ה-leftover - l_n מהמסגרת הקודמת על-ידי הזנת אפסים למסנן הסינטזה - NP MADS.
- (ii) מציאת $s'_n = s_n - l_n$ N חיטורים.
- (iii) העברת s'_n דרך $A(z)$ - NP MADS. בסה"כ $N(2P+1)$ פעולות.

אנו משתמשים באות שארית שנמצא בתהליך המתואר ולא באות שארית רגיל (המתקבל על-ידי העברת s_n דרך $A(z)$) מכיון שזהו אות השארית שיווצר במקלט.

5. חישוב $\hat{\alpha}$, α - 2LN MADS.

6. חישוב ΔE - (k איטרציות) x (N כפלים).

7. השוואות - (k איטרציות) x (N השוואות).

8. חישוב אמפליטודה - (k איטרציות) x (כפל יחיד).

9. חישוב \hat{S} בעזרת מסנן הסינטזה - NP פעולות.

10. עדכון α , וחשוב $\hat{\alpha}$:

$$(2L-1) \text{ כפלים (במקרה הגרוע) } - x_1 R v_1$$

$$(2L-1) \text{ סיכומים } - \alpha - x_1 R v_1 \times (k \text{ איטרציות})$$

$$(2L-1) \text{ כפלים } - \text{חשוב } \hat{\alpha}$$

בסך הכל נקבל למסגרת:

$$\text{פעולות: } O(P(L+1)) + \frac{L(L+1)}{2} + N(2P+1) + 2NL + k(2N+6L) + NP$$

+ פעולות חילוק: $O(L)$

הערות:

- חישוב הסיבוכיות נעשה ללא תוספת סיבוכיות חישוב מקדמי ה-LPC או בלצוע קוונטיזציה, בנספח ב' מובא הסבר על אופן חישוב המקדמים והקוונטיזציה.

- הכוונה בחישוב הסיבוכיות היא לתת סדר גודל לכמות החישובים הנדרשת ולא נלקחות בחשבון פעולות העברה בין המעבד והזכרון או פעולות דרושות לצורך חישובי אינדקסים.

במקרה שלפנינו יש לשים לב למכנה המורכב של המטריצה R והוקטור $\underline{\psi}$, דבר שיסבך את מניפולצית האינדקסים.

ניתן לחסוך בסיבוכיות זו אם נחזיק את המטריצה R והוקטור $\underline{\psi}$ באופן מלא.

מימוש אלגוריתם II וסיבוכיות

1. חישוב h'_n : P(L+1) פעולות.

2. חישוב \underline{S}

NP MADS לקבלת ה- \underline{L} leftover.

N חיסורים לקבלת $\underline{S}' = \underline{S} - \underline{L}$

2NP MADS להעברת \underline{S}' דרך - $\frac{A(z)}{A(z/\gamma)}$ לקבלת $\underline{\tilde{S}}$

סה"כ - N(3P+1) פעולות.

3. חישוב α - NL MADS, חישוב $\hat{\alpha} - N$ כפלים, סה"כ N(L+1) פעולות

4. חישוב \underline{r} ומחוכו $\underline{\psi}$:

L + L MADS כתיבות ביניים (חישוב באופן רקוסיבי)

L פעולות חילוק

סה"כ 2L פעולות + L פעולות חילוק.

5. חישוב $\underline{\Delta E}$ - (N כפלים) x (k איטרציות).

6. מציאת מקסימום ב- ΔE - (N השוואות) x (k איטרציות).

7. חישוב אמפליטודה - (כפל יחיד) x (k איטרציות).

8. חישוב \hat{S} בעזרת מסנן הסינטזה NP פעולות.

9. עדכון α :

$$\left. \begin{array}{ll} R_{y_1} & \text{לחישוב } L^2 \text{ MADS} \\ x_1 & \text{כפלים ב-} x_1 \\ & \text{סיכומים} \\ \hat{\alpha} & \text{כפלים לחישוב } \hat{\alpha} \end{array} \right\} \times (k \text{ איטרציות})$$

האלגוריתם המתקבל זהה למעשה לאלגוריתם I אלא שכאן לא מחושבת המטריצה R אלא הוקטור $\hat{\alpha}$ (Crosscorrelation) מחושב ישירות. כתוצאה מכך נחסך מקום מכיון שאין צורך להחזיק את אברי המטריצה, אולם, מפסידים בסיבוכיות חישוב מכיון שצריך לחשב איברים מהמטריצה בשלב העדכון של $\hat{\alpha}$.
בטה"כ נקבל סיבוכיות חישוב:

$$\begin{array}{l}
 0 (P(L+1) + N(4P+1) + N(L+1) + 2L + k(2N+6L+L^2)) \\
 0 (\quad L \quad)
 \end{array}
 \begin{array}{l}
 \text{פעולות למסגרת:} \\
 \text{פעולות חילוק למסגרת} +
 \end{array}$$

מימוש אלגוריתם III וסיבוכיות חישוב

1. חישוב h'_n : - $P(L+1)$ פעולות.
2. חישוב R : - $MADS \frac{L(L+1)}{2}$
3. חישוב $1/r_0$: חילוק אחד.
4. חישוב e^0 :
 - חישוב \underline{L} (leftover) NP MADS -
 - חישוב $\underline{S}' = \underline{S} - \underline{L}$ N חיסורים -
 - חישוב \underline{e}^0 : \underline{S}' מועבר דרך $A(z)$ NP MADS -
 בסה"כ $(2P+1)N$ פעולות.
5. חישוב α : $N(2L-1)$ MADS
6. מציאת מקסימום בערך מוחלט :
 N פעולות למציאת ערך מוחלט.
 N השוואות למציאת מקסימום.
 בסה"כ $(2N)$ פעולות $k \times k$ איטרציות.
7. חישוב אמפליטודה: כפל יחיד.
8. חישוב \hat{S} בעזרת מסנן הסינטזה: NP פעולות.
9. עדכון α :
 - L כפלים לחישוב $x_1 R v_1$ (סימטריה).
 - $2L-1$ חיסורים לעדכון α .
 בסך הכל: $(3L-1)$ פעולות $k \times k$ איטרציות.

בסך הכל נקבל למסגרת:

$$0 (P(L+1) + \frac{L(L+1)}{2} + (2P+1)N + N(2L-1) + k(2N+3L) + NP) \quad \text{פעולות:}$$

פעולת חילוק אחת.

רות:

בשלב זה אנו מתייחסים בחישוב הסיבוכיות רק לאלגוריתם מציאת הערוור, בגוף העבודה נתייחס גם לסיבוכיות הנוספת כתוצאה מחישוב מקדמי המסנן והקוונטיזציה.

יתכן שבמימושים מסוימים יהיה נוח להחזיק את וקטור מקדמי האוטוקורלציה כוקטור משוקף:

$r_{L-1} \dots r_2 r_1 r_0 r_1 r_2 \dots r_{L-2} r_{L-1}$
ואז באמצעות הזזות אינדקסים קל לחשב את המכפלות בהן מעורבת המטריצה R.

בחישוב $\underline{\alpha} = R\underline{x}$ יש יתירות בחישובים.

יהיו כפלים שיתבצעו פעמיים בגלל מבנה ה-Toeplitz של R, ניצול יתירות זאת כנראה לא יקטין סיבוכיות מכיון שאז ייפגע המבנה של Multiply & Accumulate שניתן להשיג על-ידי חישוב איבר ב- $\underline{\alpha}$.

חישוב הסיבוכיות שניתן נכון עבור $L \leq N/2$.

עבור $L > N/2$ תחקבל סיבוכיות שונה.

(1) חישוב Reflection Coefficients כל M דגמים: מקדמי האוטוקורלציה מחושבים על פני בלוק באורך m דגמים ($m \geq M$) הסיבוכיות הדרושה היא $O(m(P+2) + P^2)$ לחישוב סט מקדמים (נספח ב').

(2) מציאת אות השארית e מתוך S - אות הדיבור: כאן היינו צריכים לנהוג למעשה כפי שנהגנו באלגוריתם האיטרטיבי ולחשב את e על-ידי הפחתת ה-leftover מ- S וסינון הפוך עם זכרון מסנן מאופס. אולם, כדי לחשב את ה-leftover היה עלינו לבצע שחזור.

באלגוריתם האיטרטיבי פעולת השחזור פשוטה ולכן בצענו אותה. אולם, באלגוריתם ה-PTC ביצוע שחזור גם במסדר מעמיד בספק את כדאיות האלגוריתם. לכן e הוא פשוט ה-residual לפי הגדרה, כלומר, מעבירים את S דרך $A(z)$ ללא איפוס הזכרון. במקרה זה ההפסד באיכות אינו מורגש. נזדקק איפוא ל- $O(NP)$ פעולות בשלב זה.

(3) מציאת המעטפת הספקטרלית: כפי שראינו בסעיף 6.3.2.1 שלב זה יעשה על-ידי

$$\text{חישוב } \log_2 \left| \frac{1}{A(z)} \right| \text{ ב-} J \text{ נקודות וביצוע אינטרפולציה לינארית. ב-} \left| \frac{1}{A(z)} \right| \text{ אנו}$$

$$\text{מסמנים את הספקטרום של המסנן } \frac{1}{A(z)}.$$

המימוש יהיה כדלקמן:

(i) עבור k -פרמטרים למקדמי מסנן $a_i, i=1, \dots, k$ לפי (2.4.2), $O\left(\frac{P(P-1)}{2}\right)$ פעולות.

(ii) חשב את ה-DFT מאורך $2N$ של הסדרה a'_i ב- J נקודות המפוזרות באופן אחיד בתחום $[0, N-1]$.

$$(D.1) \quad a'_i = \begin{cases} a_i & i = 0 \dots P \\ 0 & P < i \leq 2N-1 \end{cases}$$

a_i הם מקדמי המסנן $A(z)$.
ה-DFT מחושב בצורה ישירה.
סיבוכיות: $O(2(P+1)J)$

(iii) מצא את ה-Magnitude ב-J הנקודות.
יש לבצע J פעמים פעולת $\text{Re}(A(j))^2 + \text{Im}(A(j))^2$
ב-J הנקודות בהם חושבה ההתמרה.
כאשר $A(j)$ הוא הדגם ה-j של התמרת a' .
סיבוכיות - $O(2J)$ פעולות.

(iv) כדי להגיע ל- $\log \left| \frac{1}{A(z)} \right|$ ב-J הנקודות יש לחשב \log על הגדלים שנתקבלו בסעיף הקודם לחלק ב-2 ולהפוך סימן. כל הפעולות הנ"ל יכולות להעשות ע"י - פניות לטבלה - $O(J)$ פעולות.

(v) אינטרפולציה: J-1 חיבורים לחישוב ההפרשים בין J הנקודות.
J-1 כפלים לחישוב צעד האינטרפולציה בכל אינטרוול.
(בהנחה שהגודל $(J-1)/N$ חושב מראש).
N חיבורים לחישוב נקודות המעטפת בין הנקודות המחושבות.
בסה"כ $O(2J-2+N)$

סך הכל השלבים לחישוב המעטפת: $O(2PJ + 7J + N + \frac{P(P-1)}{2})$

(4) הקצאת סיביות לפי המעטפת הספקטרלית מסעיף 3.
הקצאת הסיביות נעשית בעזרת התהליך שתואר בסעיף 6.3.2.1 כזכור, ההקצאה נעשית לפי:

$$(D.2) \quad b(k) = \lfloor \log_2 |X(k)| - D \rfloor^* \quad 0 \leq k \leq N-1$$

כאשר הוקטור $\log_2 |X(k)|$ $0 \leq k \leq N-1$ חושב בשלב הקודם.
D מחושב בשתי פאזות:

$$(D.3) \quad D_1 = 1/N \left[\sum_{k=0}^{N-1} \log_2 |X(k)| - B \right]$$

$$B = \sum_{k=0}^{N-1} b(k) = \text{const.}$$

כאשר -

נזדקק ל-N פעולות חיבור ופעולת כפל בהנחה ש-1/N חושב מראש. בסה"כ $O(N)$ פעולות לחישוב D_1 .

כעת מגדירים קבוצה S^+ שמכילה את אינדקסי המקדמים עבורם צריך הקצאה אם משתמשים ב- D_1 בשערוך ל-D.

$$(D.4) \quad S^+ = \{ k \mid (\log_2 |X(k)| - D_1) > 0, \quad 0 \leq k \leq N-1 \}$$

מציאת הקבוצה הזאת כרוכה ב-N השוואות - $O(N)$.
יהי N^+ מספר האיברים ב- S^+ אזי בפאזה השניה מחושב D_2 :

$$(D.5) \quad D_2 = D_1 + 1/N^+ \left[\sum_{k \in S^+} \lfloor \log_2 |X(k)| - D_1 \rfloor^* - B \right]$$

במקרה הגרוע נזדקק להקצאה לכל המקדמים $N^+ = N$ ונזדקק ל-N פעולות חיבור.

N פניות לסבלה לחישוב $\lfloor \cdot \rfloor^*$.

N סיכומים.

פעולת חילוק $(1/N^+)$.

בסה"כ - $O(3N)$ פעולות + פעולת חילוק לפאזה השניה.

D_2 מהווה כעת שערוך ל-D, נחשב כעת את $b(k)$ מתוך (6.3.11). נזדקק ל-N-1 חיסורים ו-N פניות לסבלה לחישוב $\lfloor \cdot \rfloor^*$, סה"כ $O(2N)$ פעולות. N חיבורים ידרשו לחישוב סה"כ הסיביות.

לבסוף נעבור פעם נוספת על הוקטור להוסיף סיביות חסרות או להוריד סיביות
עודפות - $O(N)$ בסה"כ נקבל:

פאזה ראשונה - $O(N)$

פאזה שניה - $O(4N)$ + פעולת חילוק.

חישוב סופי - $O(4N)$

סה"כ: $O(9N)$ + פעולת חילוק.

(5) ביצוע DCT - שימוש בשיטה שהוצעה ב-[42] תדרוש $N/2 \log_2 N + 1$ כפלים

ו- $3/2 N \log_2 N - N + 1$ חיבורים.

נניח שאיננו מנצלים פעולות Multiply & Add במחזור מכונה אחד ונקבל:

$2N \log_2 N - N + 2$ פעולות.

כלומר, $O(2N \log_2 N - N)$ פעולות לביצוע DCT.

(6) קוונטיזציה מקדמי ההתמרה:

עבור כל מקדם שמקבל הקצאה דרושה פעולת כפל כדי לנרמל אותו לפי $1/\hat{\sigma}$ כדי

שנוכל להשתמש בטבלאות קוונטיזציה אחידות. במקרה הגרוע נזדקק איפוא ל- N

כפלים (כאשר כל המקדמים מקבלים הקצאה, עבור קצבים גבוהים רוב המקדמים

מקבלים הקצאה) ו- N פניות לטבלאות קוונטיזציה.

$\hat{\sigma}$ עצמו מתקבל מתוך חישוב מקדמי ה-LPC:

אלגוריתם Levinson - Dorbin [5] נותן גם את אנרגיית אות השארית ומתוכו

משוערך ווריאנס הדגם - $\hat{\sigma}^2$.

$\hat{\sigma}$ מקודד ל-6 סיביות בעזרת טבלה.

בסה"כ נזדקק ל- $O(2N)$ פעולות + פעולת חילוק.

REFERENCES

- [1] J.L. Flanagan et. al., "Speech Coding", IEEE Trans. on Commun, vol COM-27, No. 4, pp. 710-737, April 1979.
- [2] N.S. Jayant and P. Noll, "Digital Coding of Wave Forms", Prentice Hall, Signal Processing Series, 1984.
- [3] B.S. Atal and S.L. Hanauer, "Speech analysis and synthesis by linear prediction of the speech wave", J. Acoust. Soc. Amer., vol. 50 no. 2, pp. 637-655, 1971.
- [4] J. Makhoul, "Linear Prediction: A Tutorial Review", Proc. of the IEEE vol. 63, no. 4, pp. 561-580, April 1975.
- [5] J.D. Markel and A.H. Gray Jr., "Linear Prediction of Speech", Springer-Verlag, Berlin - New York, 1976.
- [6] J.D. Markel and A.H. Gray Jr., "A Linear Prediction Vocoder Simulation Based upon the Autocorrelation Method", IEEE Trans. Acoust., Speech Signal Processing, vol. ASSP-22, pp. 124-134, 1974.
- [7] A.H. Gray Jr. and J.D. Markel, "Quantization and Bit Allocation in Speech Processing", IEEE Trans. Acoust., Speech, Signal Processing vol. ASSP-24, pp. 459-473, Dec. 1976.
- [8] T.E. Tremain, "The Government Standard Linear Predictive Coding Algorithm: LPC-10", Speech Technology, pp. 40-49, April 1982.
- [9] D.Y. Wong, "On Understanding the quality problems of LPC Speech" Proc. IEEE Int. Conf. ASSP 1980, pp. 725-728.
- [10] W. Ledermann and S. Vajda, "Handbook of Applicable Mathematics, Volume I: Algebra", John Wiley & Sons.

- © Technion - Israel Institute of Technology, Elyachar Central Library
- [11] B.S. Atal "Predictive Coding of Speech at Low Bit Rates", IEEE Trans Commun., vol. COM-30, pp. 600-614 April 1982.
 - [12] B.S. Atal and M.R. Schroeder, "Predictive Coding of Speech Signals and Subjective Error Criteria", IEEE Trans. on Acoust., Speech, Signal Processing, Vol. ASSP-27, No. 3, June 1979.
 - [13] B.S. Atal and J.R. Remde, "A new Model of LPC Excitation for Producing Natural - Sounding Speech at Low Bit Rates", Proc. Int. Conf. on ASSP Paris, France, 1982, pp. 614-617.
 - [14] S. Singhal and B.S. Atal, "Optimizing LPC Filter Parameters for Multi-Pulse Excitation", Proc. Int. Conf. on ASSP, Boston, U.S.A., 1983, pp. 781-784.
 - [15] S. Singhal and B.S. Atal, "Improving Performance of Multi-Pulse LPC Coders at Low Bit Rates", Proc. Int. Conf. on ASSP, 1984, pp. 1.3.1-1.3.4 .
 - [16] A. Parker, S.T. Alexander, H.J. Trussell, "Low Bit Rate Speech Enhancement Using a New Method of Multiple Impulse Excitation", Proc. Int. Conf. on ASSP, 1984, pp. 1.5.1-1.5.4 .
 - [17] S.T. Alexander, "A Simple Noniterative Speech Excitation Algorithm Using the LPC Residual", IEEE Trans. on Acoust., Speech, Signal Processing., vol. ASSP-33, No. 2, April 1985.
 - [18] M. Berouti et. al. "Efficient Computation and Encoding of the Multipulse Excitation for LPC", Proc. Int. Conf. ASSP, 1984, pp. 10.1.1-10.1.4 .
 - [19] P. Kroon and E.F. Deprettere, "Experimental Evaluation of Different Approaches to the Multi-Pulse Coder", Proc. Int. Conf. on ASSP, 1984, pp. 10.4.1-10.4.4 .

- [20] K. Ozawa, S. Ono and T. Araseki, "A Study on Pulse Search Algorithms for Multi-Pulse Excited Speech Coder Realization", IEEE Journal on Selected Areas in Commun., vol. SAC-4, No. 1, Jan. 1986, pp. 134-141.
- [21] A. Dembo and D. Malah, "A New Approach to Multi-Pulse LPC Coder Design", Proc. Int. Conf. on ASSP, 1985, pp. 949-952.
- [22] J.P. Lefevre and O. Passien, "Efficient Algorithms for Obtaining Multipulse Excitation for LPC coders", Proc. Int. Conf. on ASSP, 1985, pp. 957-960.
- [23] E.F. Deprettere and P. Kroon, "Regular Excitation Reduction for Effective and Efficient LP-Coding of Speech", Proc. Int. Conf. on ASSP, 1985, pp. 965-968.
- [24] Z.A. Putnins, "A Multi-Pulse LPC Synthesizer for Telecommunications Use", Proc. Int. Conf. on ASSP, 1985, pp. 981-991.
- [25] R. Sharma, "Architecture Design of a High - Quality Speech Synthesizer Based on the Multi-Pulse LPC Technique", IEEE Journal on Selected Areas in Commun., vol. SAC-3, No. 2, March 1985, pp. 377-383.
- [26] Y. Wake et. al., "A Multi-Pulse LPC Speech Coder Using Digital Signal Processors", Proc. Int. Conf. on ASSP, 1985, pp. 1429-1432.
- [27] M.R. Schroeder and B.S. Atal, "Code - Excited Linear Prediction (CELP): High-Quality Speech At Very Low Bit Rates", IEEE Proc. Int. Conf. on ASSP, 1985, pp. 937-940.
- [28] C.K. Un and D.T. Magill, "The Residual Excited Linear Predictive Vocoder with Transmission Rate Below 9.6 K bits/s", IEEE Trans. Commun., Vol. COM-23, pp. 1466-1474, Dec. 1975.
- [29] L.L. Burge and R. Yarlagadda, "An efficient Coding of the Prediction Residual", Proc. Int. Conf. on ASSP, 1979, pp. 538-541.

- [30] I.M. Trancoso and B.S. Atal, "Efficient procedures for finding optimum innovation in stochastic coders", IEEE Proc. Int. Conf. on ASSP, 1986.
- [31] J. Makhoul and M. Berouti, "High Frequency Regeneration in Speech Coding Systems", IEEE Proc. Int. Conf. on ASSP, 1979, pp. 428-431.
- [32] V.R. Viswanathan, A.L. Higgins and W.H. Russell, "Design of a Robust Baseband LPC Coder for Speech Transmission over 9.6 K bit/s Noisy Channels", IEEE Trans. on Commun., vol. COM-30, NO. 4, April 1982.
- [33] R.C. Rose and T.P. Barnwell III, "The Self Excited Vocoder - An Alternate Approach to Toll Quality At 4800 bps", IEEE Proc. Int. Conf. on ASSP, 1986, pp. 453-456.
- [34] P.M. Narendra and K. Fukunaya, "A Branch and Bound Algorithm for Feature Subset Selection", IEEE Trans. on Computers, vol. C-26, No. 9, September 1977, pp. 917-922.
- [35] A. Dembo, Private Communication.
- [36] P. Lancaster, "Theory of Matrices", Academic Press, 1969.
- [37] N. Ahmed, T. Natarajan and K.R. Rao, "Discrete Cosine Transform", IEEE Trans. on Computers, January 1974, pp. 90-93.
- [38] H.J. Narasimha and A.M. Peterson, "On the Computation of the Discrete Cosine Transform", IEEE Trans. on Communications, vol. COM-26, No. 6, June 1978, pp. 934-936.
- [39] W.H. Chen, H. Smith and S.C. Fraalick, "A Fast Computational Algorithm for the Discrete Cosine Transform", IEEE Trans. on Communications, Vol. COM-25, No. 9, September 1977, pp. 1004-1009.

- [40] Z. Wang, "Fast Algorithms for the Discrete W Transform and for the Discrete Fourier Transform", IEEE Trans. on ASSP Vol. ASSP-32, No. 4, August 1984, pp. 803-816.
- [41] N. Suehiro and M. Hatori, "Fast Algorithms for the DFT and Other Sinusoidal Transforms", IEEE Trans. on ASSP, vol. ASSP-34, No. 3, June 1986, pp. 642-644.
- [42] Z. Wang, "On Computing the Discrete Fourier and Cosine Transforms", IEEE Trans. on ASSP, Vol. ASSP-33, No. 4, October 1985, pp. 1341-1344.
- [43] "TMS32020 User's Guide", Texas Instruments.
- [44] J. Max, "Quantizing for Minimum Distortion", IRE Tran. on Information Theory, Vol. IT-6, pp. 7-12, Mar. 1960.
- [45] R. Zelinski and P. Noll, "Adaptive Transform Coding of Speech Signals", IEEE Trans. on ASSP, Vol. ASSP-25, No. 4, Aug. 1977, pp. 299-309.
- [46] R. Zelinski and P. Noll, "Approaches to Adaptive Transform Speech Coding at Low Bit Rates", IEEE Trans. on ASSP, Vol. ASSP-27, No. 1, Feb. 1979, pp. 89-95.
- [47] J.M. Triholet and R.E. Crochiere, "Frequency Domain Coding of Speech", IEEE Trans. on ASSP, Vol. ASSP-27, No. 5, October 1979, pp. 512-530.
- [48] R.V. Cox and R.E. Crochiere, "Real-Time Simulation of Adaptive Transform Coding", IEEE Trans. on ASSP, Vol. ASSP-29, No. 2, April 1981, pp. 147-154.
- [49] F.J. Macwilliams, N.J.A. Slone, "The Theory of Error-Correcting Codes", North-Holland Mathematical Library, 1981.

- © Technion - Israel Institute of Technology, Elyachar Central Library
- [50] N.J.A. Slone and D.S. Whitehead, "A New Family of Single - Error Correcting Codes", IEEE Trans. on Info. Theory Vol. IT-16, 1970, pp. 717-719.
 - [51] D. Malah, Private Communication.
 - [52] M. Hamidi and J. Pearl, "Comparison of the Cosine and Fourier Transforms of Markov-1 Signals", IEEE Trans. on Acoustics, Speech and Signal Processing Oct. 1976, pp. 428-429.
 - [53] Y. Yemini and J. Pearl, "Asymptotic Properties of Discrete Unitary Transforms", IEEE Trans. on PAMI, vol. PAMI-1, No. 4, October 1979.
 - [54] P.E. Papamichalis, "Markov - Huffman Coding of LPC Parameters", IEEE Trans. on ASSP, vol. ASSP-33, No. 2, April 1985.
 - [55] P.A. Devijver and J. Kittler, "Pattern Recognition - A Statistical Approach", Prentice-Hall International, 1982.

**SPEECH CODING BY VECTOR EXPANSION OF THE
LPC RESIDUAL SIGNAL**

RESEARCH THESIS

**SUBMITTED IN PARTIAL FULFILLMENT OF THE REQUIREMENTS
FOR THE DEGREE OF MASTER OF SCIENCE**

IN

ELECTRICAL ENGINEERING

BY

EREZ OFER

SUBMITTED TO THE SENATE OF THE TECHNION - ISRAEL INSTITUTE OF TECHNOLOGY

TISHRAY 5747

HAIFA

SEPTEMBER 1986

This research was carried out in the Signal Processing Laboratory of the Faculty of Electrical Engineering under the supervision of Prof. David Malah.

I wish to express my sincere gratitude to Prof. David Malah for his dedicated supervision and patience throughout this work.

I would like to thank TADIRAN - Communication division which supported this research.

I am also grateful to Dr. Amir Dembo for many fruitful suggestions and useful discussions.

To Mrs. Ziva Avni for the assistance with the computer work.

To Mr. Yoram Or-Chen for his assistance.

To all the Signal Processing Laboratory staff and my friends who helped me complete this work.

	<u>page</u>
Abstract	1
Symbol list	3
Chapter 1: Introduction	6
Chapter 2: Linear Prediction of Speech (LPC)	8
2.1 Introduction	8
2.2 LPC Model description	9
2.3 Calculation of LPC parameters	11
2.4 LPC parameters quantization	14
2.5 The LPC Residual Signal	16
2.6 LPC limitations	18
Chapter 3: Residual Coders	20
3.1 Introduction	20
3.2 APC - Adaptive Predictive Coder	22
3.3 The RELP Vocoder	26
3.4 Multi-Pulse LPC	28
3.5 Code Excited Linear Prediction (CELP)	30
Chapter 4: Residual Signal coding by Vector Expansion	31
4.1 Introduction	31
4.2 Residual coding by Vector Expansion	32
4.2.1 Error weighting	34
4.2.2 Finding the vector combination	37
4.3 Iterative algorithms for finding the vector combination	42
4.3.1 Amplitude Optimization	47
4.3.2 More suggestions from the literature	48
4.4 Non-Iterative algorithms for finding the vector combination	50
4.4.1 General Maximum Residual Magnitude	50
4.5 Finding an Optimal Vector set - V	54
4.6 Predictive Transform Coder (PTC)	60

Chapter 5: Iterative algorithms for coding the Residual Signal	63
5.1 Introduction	63
5.2 Reduction of the matrix R	63
5.3 Covariance analysis	66
5.3.1 Private case: The Multi-Pulse Algorithm	71
5.4 Autocorrelation Analysis	76
5.5 Recommendations for implementation	81
5.5.1 Recommended System	88
Chapter 6: Non - Iterative algorithms	89
6.1 Introduction	89
6.2 The GMRM Algorithm	89
6.3 Predictive Transform Coder (PTC)	91
6.3.1 DCT on Residual signal	93
6.3.2 Transformed signal quantization	96
6.3.2.1 Bit Allocation	97
6.3.2.2 Variance estimation of Transformation coefficients	99
6.3.3 Recommendations for PTC implementation	100
6.3.3.1 Determining γ_1 and γ_2	100
6.3.3.2 Side information quantization	102
6.3.3.3 Bit Allocation	102
6.3.4 PTC Complexity	109
6.3.5 Recommended PTC System	112
Chapter 7: System Performance and Comparison	113
7.1 Introduction	113
7.2 The Compared systems	113
7.3 Tandeming	116
7.4 Performance with background noise	118
7.5 Performance with a noisy channel	119
7.6 Performance with Voice Band Data	124
7.7 Comparison to μ -law PCM	126
7.8 Comparison between systems	126

Chapter 8: Summary and Conclusions	128
Appendix A: Argument 4.1	130
Appendix B: LPC Coefficient calculation and quantization	136
Appendix C: Complexity for Iterative algorithms	139
Appendix D: Complexity for PTC system	146
References	150

In this work we propose a new method for coding the residual signal in residual coders : The residual signal is represented by a linear combination of a small number of vectors taken from a given set. The vector set is known both at the transmitter and at the receiver . The parameters transmitted are the indices of the chosen vectors from the set and the coefficients needed to linearly recombine the vectors.

Existing digital speech coding techniques require binary data rates varying from 64 Kbps down to about 2.4 Kbps. At the upper end of the scale stand waveform coders which provide high speech quality and are robust to acoustic and transmission noise. The performance of the waveform coders typically falls rapidly when the data rate is reduced below 16 Kbps . At the lower end of the data rate scale stand LPC pitch-excited vocoders which are based on a model of the human speech production system . LPC vocoders have a synthetic quality and do not perform well under poor acoustic conditions or when a number of speakers are speaking together. Increasing the data rate of a LPC vocoder above the typical rate of 2.4 Kbps does not significantly improve the quality or acoustic robustness of the coder .

It is evident therefore that it is difficult to achieve good performance in the data rate range of 4.8 - 16 Kbps by using either waveform coders or LPC vocoders. Various techniques were attempted for speech coding in this range of data rates . A class of coders designed to operate in these rates are residual coders . These coders have in common the feature of coding both the LPC residual and the LPC filter coefficients. At the top, both in quality and bit rate , are the full-band coders in which each residual sample is quantized individually, The APC (Adaptive Predictive Coding) system is an example to such a coder. However, in order to achieve data rates of 9.6 Kbps and below, the residual coders can not afford quantizing each residual sample individually. One approach is Multi-pulse LPC in which the residual is represented by only few significant samples , which are found by an iterative procedure in a closed loop. CELP (Code Excited Linear Prediction) coders use blocks of white Gaussian noise to represent the residual signal.

With the new method proposed in this work the residual signal is coded as a linear combination of a small number of vectors. This method is a generalization of the above mentioned schemes - the Multipulse LPC with its different variations and CELP.

With this coding scheme two problems are encountered : Firstly, given a vector set how do we find the optimal linear combination for representing the residual signal ? Secondly , What is the optimal vector set ?

Solving the first problem is a difficult task because even with a small set of vectors , the number of combinations is large. Hence, suboptimal solutions are examined. One of these solutions, is a simple iterative one which leads to the conventional Multipulse LPC algorithm. The solution of the second problem leads to a non-iterative solution operating in the frequency domain , Denoted as PTC (Predictive Transform Coding) . The PTC system is of lower complexity then iterative coders used in the data rate range 9.6 - 16 Kbps and the speech quality achieved at 16 Kbps is even better . At 9.6 Kbps the quality is good but a 'low passing' effect is noticed .

In this work we present a formal mathematical description of the new vector expansion coding scheme . An analytical solution is given to the problem of finding the optimal vector combination , a suboptimal iterative solution is also presented, and the proposed PTC scheme is derived. Objective and Subjective performance tests are presented for the PTC coder as compared with the conventional iterative (Multipulse LPC) coder - in terms of speech quality , noise immunity , tandeming and Voice Band Data (VBD) signal transmission .